



This is a digital copy of a book that was preserved for generations on library shelves before it was carefully scanned by Google as part of a project to make the world's books discoverable online.

It has survived long enough for the copyright to expire and the book to enter the public domain. A public domain book is one that was never subject to copyright or whose legal copyright term has expired. Whether a book is in the public domain may vary country to country. Public domain books are our gateways to the past, representing a wealth of history, culture and knowledge that's often difficult to discover.

Marks, notations and other marginalia present in the original volume will appear in this file - a reminder of this book's long journey from the publisher to a library and finally to you.

Usage guidelines

Google is proud to partner with libraries to digitize public domain materials and make them widely accessible. Public domain books belong to the public and we are merely their custodians. Nevertheless, this work is expensive, so in order to keep providing this resource, we have taken steps to prevent abuse by commercial parties, including placing technical restrictions on automated querying.

We also ask that you:

- + *Make non-commercial use of the files* We designed Google Book Search for use by individuals, and we request that you use these files for personal, non-commercial purposes.
- + *Refrain from automated querying* Do not send automated queries of any sort to Google's system: If you are conducting research on machine translation, optical character recognition or other areas where access to a large amount of text is helpful, please contact us. We encourage the use of public domain materials for these purposes and may be able to help.
- + *Maintain attribution* The Google "watermark" you see on each file is essential for informing people about this project and helping them find additional materials through Google Book Search. Please do not remove it.
- + *Keep it legal* Whatever your use, remember that you are responsible for ensuring that what you are doing is legal. Do not assume that just because we believe a book is in the public domain for users in the United States, that the work is also in the public domain for users in other countries. Whether a book is still in copyright varies from country to country, and we can't offer guidance on whether any specific use of any specific book is allowed. Please do not assume that a book's appearance in Google Book Search means it can be used in any manner anywhere in the world. Copyright infringement liability can be quite severe.

About Google Book Search

Google's mission is to organize the world's information and to make it universally accessible and useful. Google Book Search helps readers discover the world's books while helping authors and publishers reach new audiences. You can search through the full text of this book on the web at <http://books.google.com/>

UC-NRLF



\$B 79 425



474

МНОГОФАЗНЫЕ ТОКИ.

Alternating Current Electricity

СОСТАВИЛИ

Роде и Бюске

Инженеры искусствъ и мануфактуръ.



Перевелъ съ французскаго

Н. Денисевичъ.

Съ 71 рисункомъ.



Издание Ф. В. Щепанскаго.

С.-ПЕТЕРБУРГЪ

Невскій проспектъ № 34.

1895.

Дозволено цензурою.
С.-Петербургъ, 6 Февраля 1895 года.

Тип. Н. Финдейзена, М. Морская 9.

TK 1161
1292

Замѣтка отъ издателей французскаго оригинала.

До сихъ поръ не было еще издано ни одного труда, который разсматривалъ бы во всемъ его цѣломъ этотъ совершенно новый вопросъ многофазныхъ токовъ. Ихъ значеніе, ихъ будущее въ примѣненіи къ передачѣ электрической энергіи на разстояніе, вотъ мотивы, которые вызвали вполне законченное сочиненіе Гг. Роде и Бюске.

Послѣ краткаго историческаго очерка авторы разсматриваютъ послѣдовательно генераторы, двигатели съ вращающимся полемъ, трансформаторы и канализацію. Описаніе установокъ во Франкфуртѣ на Майнѣ, въ Гейльбронѣ на Некарѣ и въ Будапестѣ удачно заканчиваетъ этотъ трудъ, необходимый для каждаго электротехника.



ЗАМЪЧЕННЫЯ ОПЕЧАТКИ.

Страница.	Строка.	Напечатано.	Слѣдуетъ.
19	послѣдняя	$S' = \frac{V}{2} - 2 S$	$S' = \frac{V}{1} - 2 S$
38	16	относительной потери v' въ вольтгахъ	относительной потери v въ вольтгахъ
43	15	Пусть V	Пусть V'
75	10	съ токами cc', dd'	съ токами cc', dd'
94	формула (17)	$b = q + \frac{C_1^2}{2} e \sqrt{ma} + \frac{q^2 - C_1}{C_2} e - \sqrt{ma}$	$b = q + \frac{C_1^2}{2} e \sqrt{ma} + \frac{q^2 - C_1}{C_2} e - \sqrt{ma}$
107	формула (31)	$\pi \beta_m \sin \left(\frac{\pi}{2} + a + \pi n t \right)$	$\rho \beta_m \sin \left(\frac{\pi}{2} + a + 2 \pi n t \right)$
146	1	трансформаторы	изолаторы
173	формула (6)	$j_2 - j_1 = i_3$	$j_2 - j_1 = i_2$

СОДЕРЖАНИЕ.

ПЕРВАЯ ЧАСТЬ.

Вычисленіе линіи передачи энергіи посредствомъ многофазныхъ токовъ.

Стр.

Глава I.—Историческій очеркъ 1

Глава II.—Общія основанія.

Полученіе вращающагося поля посредствомъ двухъ переменныхъ токовъ, отодвинутыхъ на одну четверть періода. Полученіе вращающагося поля посредствомъ трехъ переменныхъ токовъ, отодвинутыхъ на одну треть періода. Основанія многофазнаго синхроничнаго двигателя. Основанія многофазнаго асинхроничнаго двигателя. 8

Глава III.—Канализація.

Линія двухфазнаго тока. Вычисленіе линіи двухфазнаго тока. Прихѣтъ вычисленія. Вторичная канализація. Линія трехфазнаго тока. Различныя способы соединенія. Соединеніе треугольникомъ. Вычисленіе линіи при соединеніи треугольникомъ. Соединеніе звѣздочкой. Вычисленіе линіи при соединеніи звѣздочкой. Смѣшанное соединеніе. Вычисленіе линіи. Нѣкоторыя замѣчанія относительно различныхъ системъ передачи и распределенія электрической энергіи по отношенію къ канализаціи 14

ВТОРАЯ ЧАСТЬ.

Генераторы многофазныхъ токовъ.

Глава IV.—Полученіе многофазныхъ токовъ.

Различные генераторы. Динамо Броуна трехфазнаго тока. Обыкновенная динамо, установленная какъ генераторъ многофазнаго тока. Вычисленіе напряженія и силы, производимыхъ обыкновенной динамо, установленной какъ генераторъ двухфазнаго тока. Увеличеніе числа переменныхъ тока. Преобразование обыкновеннаго переменнаго тока въ двухфазный посредствомъ трансформатора съ очень слабою нагрузкою. Преобразование обыкновеннаго переменнаго тока въ двухфазный посредствомъ самоиндукціи. Способъ Шалленбергера. Преобразование обыкновеннаго переменнаго тока въ двухфазный посредствомъ конденсаторовъ 17

ТРЕТЬЯ ЧАСТЬ.

Теорія и вычисленіе двигателей съ вращающимся полемъ.

Глава V.—Двигатели синхроничные и асинхроничные.

Двигатели синхроничные съ вращающимся полемъ. Двигатель Тесла. Уменьшеніе угловой скорости посредствомъ увеличенія числа полюсовъ. Двигатель Газельвандера. Двигатель Шукерта. Асинхроничные двигатели

съ вращающимся полемъ и съ замкнутой арматурою. Двигатели Тесла. Двигатель Газельвальдера. Двигатель Allgemeine Electricitäts Gesellschaft. Реостаты съ жидкостью. Двигатели Сименса и Гальске . . .	Стр 70
--	-----------

Глава VI.—Вычисленіе асинхроничнаго двигателя.

Разсмотрѣніе магнитнаго поля, производимаго кольцомъ Грамма, питаемымъ въ двухъ діаметрально противоположныхъ точкахъ. Условіе, чтобы плотность поля въ междумagnetномъ пространствѣ измѣнялась какъ ординаты синусоиды. Вычисленіе асинхроничнаго двигателя съ двумя полюсами. Вычисленіе асинхроничнаго двигателя съ нѣсколькими парами полюсовъ. Случай арматуры съ обмоткой въ видѣ барабана. Примѣненіе вычисленій къ промышленному двигателю	91
--	----

ЧЕТВЕРТАЯ ЧАСТЬ.

Трансформаторы многофазныхъ токовъ.

Глава VII.—Теорія трансформаторовъ многофазныхъ токовъ.

Трансформаторы двухфазнаго тока. Трансформаторъ двухфазнаго тока Шукерта. Трансформаторы трехфазнаго тока	121
---	-----

Глава VIII.—Двойное преобразованіе.

Употребленіе трансформаторовъ, увеличивающихъ напряженіе. Употребленіе жидкаго изолятора. Преобразованіе многофазныхъ токовъ въ постоянные. Трансформаторъ многофазнаго тока въ постоянный Ламейера.	132
--	-----

ПЯТАЯ ЧАСТЬ.

Устройство канализацій и описаніе нѣкоторыхъ установокъ.

Глава IX.—Устройство канализацій.

Воздушныя линіи; изоляторы съ масломъ. Канализація при трехфазномъ токѣ для одновременнаго питанія двигателей и лампъ. Соединеніе треугольникомъ. Соединеніе звѣздочкой. Дѣйствіе трехфазной линіи на сосѣднія телефонныя линіи	144
---	-----

Глава X.—Описаніе нѣкоторыхъ установокъ.

Передача энергіи отъ Лауфена до выставки во Франкфуртѣ на Майнѣ въ 1892 г. Проектъ распредѣленія электрической энергіи въ г. Будапестъ. Передача и распредѣленіе электрической энергіи въ Гейльбронѣ на Некарѣ	159
--	-----

Глава XI.—Счетчикъ электрической энергіи для трехфазнаго тока д-ра Арона	171
---	-----

Приложеніе. Центральная электрическая станція въ Будапестъ . . .	175
---	-----

ПЕРВАЯ ЧАСТЬ.

Вычисленіе линіи передачи энергіи посредствомъ многофазныхъ токовъ.

ГЛАВА I.

Историческій очеркъ.

Въ электродвигателяхъ постоянного тока, точно также какъ и въ двигателяхъ переменнаго тока, механическая пара, производящая вращеніе оси двигателя, образуется отъ взаимодѣйствія неподвижнаго магнитнаго поля и подвижныхъ обмотокъ, по которымъ пробѣгаетъ внѣшній токъ, непосредственно доставляемый машинѣ.

Въ послѣднее время изысканія электротехниковъ направлены къ изслѣдованію третьяго рода электродвигателей не съ неподвижнымъ, а съ вращающимся магнитнымъ полемъ, которое въ своемъ круговращательномъ движеніи увлекаетъ за собою подвижной органъ машины.

Вращающееся магнитное поле можетъ сообщать движеніе электрической цѣпи точно также, какъ и металлической пластинкѣ. Это происходитъ вслѣдствіе явленій электромагнитной индукціи, которыя имѣютъ мѣсто въ этихъ различныхъ проводникахъ, находящихся въ присутствіи вращающагося магнитнаго поля.

Уже въ 1824 году Гамбей наблюдалъ, что колебанія магнитной полосы быстро прекращаются, если подъ нею укрѣплена неподвижная металлическая пластинка. Если эта пластинка подвижна, какъ въ опытѣ съ дискомъ Араго, и если магнитную стрѣлку замѣнить сильнымъ вращающимся магнитомъ, то этотъ послѣдній сообщитъ вращательное движеніе и диску, какъ будто-бы между этими двумя предметами происходило нѣчто въ родѣ электромагнитнаго тренія.

Замѣтимъ, однако, что такого рода двигатели не могутъ имѣть никакого практическаго примѣненія, такъ какъ магниту, который въ данномъ случаѣ увлекаетъ за собою дискъ, должно быть сообщено механическимъ путемъ движеніе на мѣстѣ самаго опыта. Слѣдовательно, такіе двигатели нисколько не разрѣшаютъ задачи передачи силы на разстояніе.

Эта задача состоитъ въ томъ, чтобы произвести вращающееся магнитное поле на разстояніи; она была разрѣшена впервые Феррарисомъ въ 1888 году.

Этотъ ученый электротехникъ показалъ возможность полученія вращающагося магнитнаго поля безъ помощи магнита, а исключительно взаимодействіемъ двухъ катушекъ, расположенныхъ подъ прямымъ угломъ, по которымъ пропускаются переменные токи, представляющіе между собою нѣкоторую разницу въ фазахъ. Для осуществленія этого, двѣ катушки были введены, одна въ первичную цѣпь трансформатора, другая же во вторичную цѣпь, включенную послѣдовательно съ большимъ сопротивленіемъ безъ самондукціи.

Такое расположеніе даетъ возможность увеличивать разность фазъ первичныхъ и вторичныхъ токовъ до тѣхъ поръ, пока получится два тока съ разностью фазъ въ одну четверть періода. Магнитныя поля этихъ двухъ токовъ образуютъ одно равнодѣйствующее магнитное поле, вращающееся равномернымъ движеніемъ и имѣющее довольно постоянное напряженіе.

Мѣдный цилиндръ, помѣщенный внутри такого поля, увлекается имъ, какъ дискъ Араго, въ ту же сторону, въ которую происходитъ вращеніе магнитнаго поля.

Употребленіе двухъ отодвинутыхъ токовъ требуетъ двухъ проводниковъ на каждую катушку, т. е. всего четырехъ проволокъ или же минимумъ трехъ, если взять одну проволоку за общій обратный проводникъ токовъ.

Около того же времени, какъ и Феррарисъ, Тесла работалъ надъ системой передачи силы на разстояніе, основанной на аналогичномъ принципѣ, а именно: токи, отодвинутые на 90 градусовъ, производились въ двухъ катушкахъ подъ прямымъ угломъ динамо переменнаго тока и собранные отдѣльно эти токи передавались посредствомъ четырехъ проволокъ такому же числу обмотокъ на кольцеобразномъ индукторѣ двигателя. Индукціонная подвижная часть послѣдняго состояла изъ простой желѣзной арматуры безъ обмотокъ или же съ большимъ или меньшимъ числомъ этихъ послѣднихъ, замкнутыхъ на себя.

Первый изъ этихъ двухъ типовъ представляетъ собою наиболѣе простой двигатель, который можно только придумать. Въ такомъ синхроничномъ двигателѣ арматура вращается согласно съ магнитнымъ полемъ, т. е. съ тою же скоростью, какъ это послѣднее, на подобіе арматуры, увлекаемой магнитомъ. Электродвигатели же втораго типа дѣйствуютъ въ силу индукціонныхъ токовъ, возбуждаемыхъ вращающимся магнитнымъ полемъ въ обмоткахъ арматуры.

Впослѣдствіи Тесла искалъ возможности довести число проволокъ до двухъ, какъ это дѣлается въ обыкновенныхъ передачахъ. Въ такомъ случаѣ генераторъ производитъ только одинъ токъ, который, при приближеніи къ двигателю, развѣтвляется на двѣ цѣпи, имѣющія различныя самоиндукцію и сопротивленіе, что и вызываетъ искомую разницу въ фазахъ токовъ. Въ такихъ двигателяхъ обмотки арматуры замыкаются на себя въ моментъ пусканія двигателя въ ходъ. Затѣмъ, когда двигатель приобрѣлъ уже надлежащую скорость, эти обмотки могутъ

быть введены въ главную цѣпь, чѣмъ усиливается и поддерживается первоначальное дѣйствіе этой послѣдней, какъ это дѣлается также въ обыкновенныхъ двигателяхъ, работающих перемѣннымъ токомъ.

Примѣненіемъ совершенно различнаго принципа удалось тому же Тесла получить, пользуясь однимъ только токкомъ, тѣ же результаты, которые даютъ многофазные токи. Въ этомъ случаѣ арматура двигателя помѣщается между двумя системами электромагнитовъ, расположенныхъ такимъ образомъ, чтобы намагничиваніе одной группы запаздывало по отношенію къ намагничиванію другой группы, результатомъ чего является нѣчто подобное вращающемуся намагничиванію, которое въ концѣ концовъ дѣйствуетъ также, какъ и токи, отодвинутые на одну четверть фазы, и побуждаетъ арматуру двигателя къ перемѣщенію.

Работы Гутена и Леблана надъ примѣненіемъ конденсаторовъ къ перемѣннымъ токамъ привели этихъ электротехниковъ къ устройству машины, основанной на совершенно особомъ принципѣ. Катушки, по которымъ пропускаются токи, отодвинутые на одну четверть фазы, расположены такимъ образомъ, что каждая группа изъ четырехъ катушекъ составляетъ полный магнитный циклъ. Каждая изъ этихъ группъ производитъ вращающееся магнитное поле, которое перемѣщается на уголъ, обхватываемый четырьмя катушками, въ теченіи одной фазы токовъ возбуждителей.

Эти катушки соотвѣтственно распредѣлены между двумя цѣпями, составляющими отвѣтвленія кабелей передачи, питаемыхъ обыкновенной динамо перемѣннаго тока; разность фазъ между токами двухъ отвѣтвленій получается посредствомъ конденсаторовъ, введенныхъ въ одно изъ отвѣтвленій.

Въ 1889 году Брайлей устроилъ динамо, могущую служить безразлично для производства постоянныхъ токовъ или перемѣнныхъ, отодвинутыхъ на одну четверть періода. Этотъ результатъ достигнутъ раздѣленіемъ обмотки

кольца Грамма на четыре секціи, которыя упираются въ четыре угольника обыкновеннаго коллектора, расположенные на двухъ взаимно-перпендикулярныхъ діаметрахъ. На двухъ парахъ металлическихъ колець, соединенныхъ соотвѣтственно съ каждымъ изъ этихъ угольниковъ, можно собрать два переменные тока, подобные тѣмъ, которые производятъ двѣ группы противоположныхъ катушекъ, т. е. съ разностью фазъ въ одну четверть періода. Наоборотъ, можно получить постоянный токъ, если его собрать на коллекторѣ динамо.

Двигатель Брэдлея основанъ на томъ же принципѣ, какъ и его динамо. Кольцо, заключенное въ бронзовый барабанъ, покрытый обмоткой проволоки изъ мягкаго желѣза, получаетъ при посредствѣ четырехъ колець два отодвинутые тока и, вслѣдствіе дѣйствія токовъ Фуко и намагничиванія, происходящихъ въ барабанѣ служащемъ индукторомъ, приходитъ въ движеніе обратное движенію полюсовъ вращающагося поля.

Двигатель Шукерта снабженъ также индукціонной частью раздѣленной на секціи и соединенной, какъ было указано выше, четырьмя изолированными кольцами, прикрепленными къ оси. Этотъ якорь представляетъ собою простое сплюснутое кольцо, которое вращается между двумя парами электромагнитовъ, соединенныхъ одноименными полюсами. Въ началѣ движенія вращающійся магнитный потокъ развиваетъ въ электромагнитахъ сильную индукцію, которая облегчаетъ пусканіе въ ходъ двигателя. Сила этой индукціи уменьшается, когда скорость якоря, движущагося въ направленіи обратномъ движенію вращающагося поля, достигаетъ синхронизма и такимъ образомъ вмѣстѣ съ этимъ абсолютная скорость поля приближается къ нулю. Тогда возбуждаютъ электромагниты индуктора, чтобы увеличить вращающую пару, сохранивъ въ то же время синхронизмъ движенія кольца и вращающагося поля.

Динамо Элигу Томсона производитъ двухфазные токи въ двухъ прямоугольныхъ обмоткахъ своей арматуры, вра-

щающейся между двумя полюсами; эти токи собираются, какъ и въ машинѣ Брадлея, посредствомъ четырехъ щетокъ, соприкасающихся съ двумя парами колецъ, соединенныхъ съ концами обмотокъ индукціонной части динамо.

Всѣ способы, придуманные для уменьшенія числа проводниковъ передачи, какъ напримѣръ употребленіе конденсаторовъ, представляютъ лишь одни затрудненія при практическомъ ихъ примѣненіи. Вслѣдствіе этого электротехники были принуждены искать разрѣшенія задачи передачи силы на разстояніе въ новой комбинаціи токовъ, а именно въ примѣненіи такъ называемыхъ трехфазныхъ токовъ. Первые опыты въ этомъ направленіи относятся къ 1888 году и принадлежатъ Брадлею. Около того же времени Газельвандеръ взялъ привилегію на этотъ предметъ точно также, какъ и Всеобщая Компанія Электричества въ Берлинѣ, а въ слѣдъ затѣмъ Венстромъ въ Англіи и въ 1890 году Добровольскій въ Берлинѣ.

Типомъ трехфазныхъ электродвигателей можетъ служить двигатель Добровольскаго. Этотъ двигатель имѣетъ индукторомъ кольцо Грамма, снабженное зубцами, между которыми сдѣланы обмотки, порождающія вращающееся поле; арматуру составляетъ цилиндръ изъ массивнаго желѣза, по периферіи котораго вправлены мѣдныя проволоки. Динамо, точно также какъ и двигатели, снабжены тремя парами катушекъ, по обмоткамъ которыхъ проходятъ токи съ разностью фазъ въ 120 градусовъ. Такая система токовъ обладаетъ замѣчательнымъ свойствомъ, а именно: каждый изъ токовъ въ каждый моментъ равенъ суммѣ двухъ другихъ и имѣетъ противоположный этой суммѣ знакъ. Вслѣдствіе этого, представляется возможнымъ совершенно уничтожить обратный проводъ для каждого изъ токовъ и такимъ образомъ довести число кабелей передачи до трехъ.

Изъ этого проистекаетъ также и то, что различные обмотки въ машинахъ пріемникахъ и производителей тока

могутъ быть соединены въ одну общую точку своими концами, не находящимися въ связи съ проводниками передачи.

Добровольскій придумалъ еще другую систему, позволяющую увеличить число токовъ возбудителей съ цѣлью полученія болѣе постояннаго поля, не увеличивая въ тоже время числа проводовъ. Для этого онъ вводитъ между катушками, принадлежащими къ двумъ цѣпямъ, отодвинутымъ на извѣстный уголъ, третью систему катушекъ, питаемыхъ токомъ, происходящимъ отъ соединенія двухъ первыхъ токовъ. Отодвинутіе между послѣдовательными катушками, такимъ образомъ расположенными, уменьшается на половину, тогда какъ число катушекъ производителей вращающагося поля увеличивается вдвое.

Можно примѣнить этотъ же принципъ раздвоенія фазъ также и къ трансформаторамъ и получить, напримѣръ съ помощью трехъ первичныхъ токовъ, шесть токовъ, отодвинутыхъ на 30 градусовъ.

Когда требуется передача силы для приведенія въ дѣйствіе двигателей, то система трехъ проволокъ вполне отвѣчаетъ всѣмъ требованіямъ эксплуатаціи; но когда требуется распредѣлять токъ для освѣщенія, то необходимо употребить еще и четвертую проволоку для возстановленія равновѣсія между тремя цѣпями, неодинаково нагруженными.

Броунъ примѣнилъ первый систему передачи силы посредствомъ трехфазныхъ токовъ, установивъ такую передачу въ 500 лошадиныхъ силъ между Бюлахомъ и Эрликономъ на разстояніи 24 километровъ.

Эта система получила новое подтвержденіе своей практичности при опытахъ надъ передачей силы отъ Лауфена до мѣста выставки во Франкфуртѣ на Майнѣ, гдѣ была установлена передача 190 лошадиныхъ силъ на разстояніе 175 километровъ съ промышленнымъ полезнымъ дѣйствіемъ на мѣстѣ потребленія въ 73%.

Напряженіе тока передачи было опредѣлено въ 15.000 вольтовъ. Употреблявшіеся при этихъ опытахъ двигатели работали при слабомъ напряженіи, которое увеличивалось по выходѣ изъ станціи отправленія посредствомъ первичнаго трансформатора до напряженія необходимаго, чтобы пройти большое разстояніе. На конечной станціи это напряженіе уменьшалось посредствомъ вторичнаго трансформатора до предѣла, потребнаго для пользованія имъ.

Если прибавить, что машины трехфазнаго тока отличаются весьма простою конструкціей, не имѣютъ коллектора и часто даже щетокъ, напряженіе ихъ слабо, что онѣ совершенно безопасны и легко изолируются, а также, что трехфазные двигатели могутъ быть пущены въ ходъ безъ всякаго затрудненія и способны безъ остановокъ переносить большую разницу въ нагрузкѣ, то станетъ понятнымъ, что такая система одновременно соединяетъ въ себѣ преимущества передачи силы посредствомъ переменныхъ токовъ и преимущества пользованія двигателями, работающими постояннымъ токомъ.

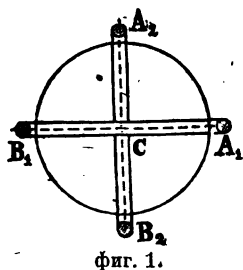
Мы поставили себѣ цѣлью специально изслѣдовать въ этомъ трудѣ условія передачи электрической энергіи посредствомъ многофазныхъ токовъ, краткій историческій очеркъ которыхъ мы только что представили.

ГЛАВА II.

Общія основанія.

Двухфазные токи.—Разсмотримъ двѣ обмотки $A_1 B_1$, $A_2 B_2$ на цилиндрѣ C , расположенныя по направленію двухъ взаимно-перпендикулярныхъ діаметровъ; пропустимъ чрезъ $A_1 B_1$ переменный токъ вида:

$$(1) \quad i_1 = I \sin 2\pi \frac{t}{T} = I \sin mt.$$



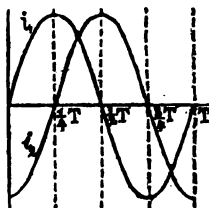
фиг. 1.

и чрезъ $A_2 B_2$ токъ такой-же средней силы какъ и первый, но съ запазданиемъ на одну четверть фазы или что то же, отодвинутый на одну четверть фазы относительно первого; этотъ второй токъ будетъ имѣть выраженіемъ:

$$(2) \quad i_2 = I \sin \left(2\pi \frac{t}{T} - \frac{\pi}{2} \right) = -I \cos mt.$$

Каждая изъ обмотокъ дастъ магнитное поле перпендикулярное къ своей плоскости, напряженіе и направленіе котораго будутъ измѣняться пропорціонально силѣ и сообразно направленію тока.

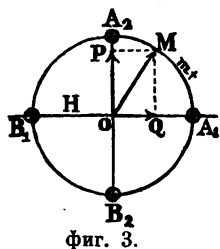
Назовемъ чрезъ H наибольшую величину поля одной изъ обмотокъ; величины h_1 и h_2 полей въ какой нибудь моментъ времени t будутъ, предполагая постояннымъ сопротивленіе магнитной цѣпи:



фиг. 2.

$$(3) \quad h_1 = H \sin mt.$$

$$(4) \quad h_2 = -H \cos mt = H \sin \left(2\pi \frac{t}{T} - \frac{\pi}{2} \right)$$



фиг. 3.

Нанесемъ углы на кругѣ $A_1 A_2 B_1 B_2$, радиусъ котораго равенъ H .

Два магнитныя поля будутъ для $A_1 B_1$: OP , для $A_2 B_2$: OQ .

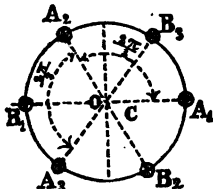
Эти два поля имѣютъ равнодѣйствующую:

$$(5) \quad OM = \sqrt{H^2 \sin^2 mt + H^2 \cos^2 mt} = H.$$

Равнодѣйствующее магнитное поле имѣетъ, следовательно, величину постоянную и равную наибольшей величинѣ одного изъ составляющихъ полей. Оно вращается вокругъ точки О по направленію A_1A_2 съ постоянною скоростью, такъ какъ равнодѣйствующая проходитъ чрезъ точку М, и дѣлаетъ полный оборотъ въ теченіи одного періода.

Трехфазные токи. Разсмотримъ теперь три обмотки A_1B_1 , A_2B_2 , A_3B_3 на цилиндрѣ, расположенныя по тремъ меридіональнымъ плоскостямъ, образующимъ между собою углы въ 120 градусовъ или $\frac{2\pi}{3}$.

Пропустимъ чрезъ эти обмотки три тока i_1, i_2, i_3 , отодвинутые на $\frac{2\pi}{3}$ одинъ относительно другого.



фиг. 4.

Отсюда:

$$(6) \quad A_1B_1 \quad i_1 = I \sin mt.$$

$$(7) \quad A_2B_2 \quad i_2 = I \sin \left(mt - \frac{2\pi}{3} \right)$$

$$(8) \quad A_3B_3 \quad i_3 = I \sin \left(mt - \frac{4\pi}{3} \right)$$

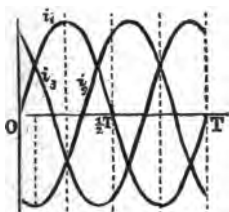
$$i_1 + i_2 + i_3 = I \left[\sin mt + \sin \left(mt - \frac{2\pi}{3} \right) \right.$$

$$\left. + \sin \left(mt - \frac{4\pi}{3} \right) \right] = 0.$$

Алгебраическая сумма синусовъ трехъ угловъ неизмѣнно равна нулю.

Магнитныя поля трехъ обмотокъ перпендикулярны соотвѣствующимъ плоскостямъ обмотокъ и если предполо-

жить сопротивление магнитной цепи постояннымъ, то три составляющія поля будутъ имѣть выраженіемъ:



фиг. 5.

$$(9) \quad h_1 = H \sin mt$$

$$(10) \quad h_2 = H \sin \left(mt - \frac{2\pi}{3} \right)$$

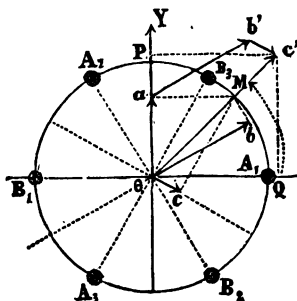
$$(11) \quad h_3 = H \sin \left(mt - \frac{4\pi}{3} \right)$$

H наибольшая величина поля, произведеннаго одной изъ обмотокъ.

Будемъ считать, какъ и раньше, время t по окружности $A_1 B_1 B_2$ и пусть будетъ M точка, соответствующая времени t .

Три составляющія суть: Oa , Ob , Oc ; ихъ равнодѣйствующая есть прямая Oc' , которая дополняетъ многоугольникъ векторовъ $Oab'c'$ этихъ трехъ составляющихъ.

Чтобы вычислить Oc' , проектируемъ многоугольникъ $Oab'c'$ на двѣ взаимноперпендикулярныя оси OA_1 и OY . Имѣемъ:



фиг. 6.

$$(12) \quad Oc' = \sqrt{OP^2 + OQ^2}.$$

Такъ какъ алгебраическая сумма трехъ составляющихъ постоянно равна нулю, то одна изъ нихъ, на примѣръ Ob , имѣетъ противоположный знакъ двумъ другимъ и равна абсолютной своей величиною ихъ суммѣ. Следовательно, имѣемъ, Oa , Ob , Oc абсолютныя величины:

$$(13) \quad Oa - Ob + Oc = 0$$

или

$$Oa - ab' + b'c' = 0$$

$$(14) \quad OP = Oa + (ab' - b'c') \sin \frac{\pi}{6}$$

$$= H \sin mt (1 + 1/2)$$

$$OQ = (ab' + b'c') \cos \frac{\pi}{6}$$

$$(15) \quad = (2 ab' - Oa) \cos \frac{\pi}{6}$$

$$= (2 H \cos \left(mt - \frac{\pi}{6} \right) - H \sin mt) \cos \frac{\pi}{6} =$$

$$= \left(1 + \frac{1}{2} \right) H \cos mt.$$

Откуда:

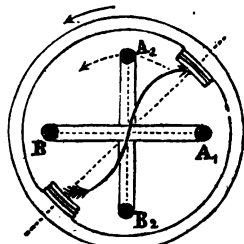
$$(16) \quad oc' = \left(1 + \frac{1}{2} \right) H \sqrt{\sin^2 mt + \cos^2 mt} = \left(1 + \frac{1}{2} \right) H.$$

Равнодействующее магнитное поле имѣетъ, следовательно, величину постоянную и равную наибольшей величинѣ каждаго изъ составляющихъ полей, повторенной полтора раза. Кромѣ того, такъ какъ двѣ дополнительные составляющія ОР и ОQ находятся въ отношеніи $\sin mt$ къ $\cos mt$, то равнодействующая Oc' проходитъ чрезъ точку М; слѣдовательно, поле вращается вокругъ точки О отъ A_1 къ A_2 съ постоянною скоростью и дѣлаетъ полный оборотъ въ теченіи періода.

Двигатели многофазные или съ вращающимся полемъ.

Если вокругъ системы катушекъ, подобной уже описанной нами и питаемой двумя или тремя отодвину-

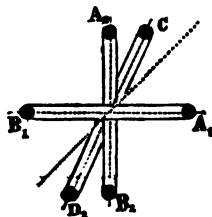
тыми токами, мы расположимъ кольцо S изъ мягкаго желѣза, съ двумя выступами и съ замкнутой обмоткой, укрѣпленное на двухъ стержняхъ помѣщенныхъ въ пересѣченіи плоскостей обмотокъ, то вращающееся магнитное поле увлечетъ за собою эту желѣзную арматуру по направлению, указанному на рис. 7.



фиг. 7.

Если сопротивление не слишкомъ велико, то кольцо въ своемъ движеніи будетъ слѣдовать за полемъ съ тою же скоростью, какъ и это послѣднее. Въ этомъ случаѣ будемъ имѣть синхронный двигатель, приходящій въ дѣйствіе автоматически. Указанный принципъ былъ примѣненъ послѣдовательно въ двигателяхъ Брадлея, Шукерта и др.

Если же вмѣсто кольца S изъ мягкаго желѣза расположимъ вокругъ системы катушекъ металлическое кольцо или обмотку CD, замкнутую на себя и снабженную стержнями, оси которыхъ совпадаютъ съ пересѣченіемъ двухъ индуктирующихъ катушекъ A_1B_1 , A_2B_2 , то линіи силъ вращающагося поля, пересѣкая обмотку CD, возбуждаютъ въ ней индукціонный токъ, воздѣйствіе котораго на поле заставитъ подвижную катушку или арматуру придти въ движеніе.



фиг. 8.

Напряженіе, а слѣдовательно и токъ, возбужденный въ арматурѣ, будутъ пропорціональны числу пересѣченныхъ линій силъ, а также, вслѣдствіе этого, и *относительной скорости* вращающагося поля и арматуры; та же пропорціональность будетъ и относительно механической пары двигателя, если не принимать во вниманіе воздѣйствія индукціоннаго органа двигателя на поле.

Пара эта будетъ имѣть свой максимумъ, когда арматура двигателя будетъ находиться въ покоѣ. Если внѣшнее механическое сопротивление, которое долженъ преодо-

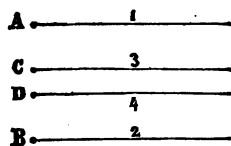
лѣтъ двигатель, не слишкомъ велико, то онъ приходитъ въ дѣйствіе самъ и его скорость будетъ увеличиваться до тѣхъ поръ, пока средняя двигающая пара не будетъ равна парѣ сопротивленія.

Въ силу этого, очевидно, арматура должна вращаться медленнѣе поля, такъ какъ, для того чтобы въ индукціонномъ органѣ двигателя существовалъ токъ, необходимо пересѣченіе имъ линій силъ, т. е., чтобы было *возрастающее запаздываніе* арматуры относительно движенія поля. Такого рода двигатель имѣетъ большое сходство съ двигателемъ, работающимъ постояннымъ токомъ, такъ какъ первый подобно послѣднему самъ приходитъ въ дѣйствіе, будучи уже нагруженнымъ, и его скорость измѣняется вмѣстѣ съ количествомъ работы, которую онъ долженъ произвести. Это измѣненіе скорости можетъ быть, однако, сдѣлано очень незначительнымъ, какъ и для двигателя, работающаго постояннымъ токомъ. Таковъ основной принципъ двигателей Доливо-Добровольскаго.

ГЛАВА III.

Канализація.

1. *Линія двухфазнаго тока.* Двухфазный токъ есть ничто иное, какъ два переменные тока съ разностью фазъ въ $\frac{1}{4}$ періода; онъ можетъ быть произведенъ двумя ди-



фиг. 9.

намо переменнаго однофазнаго тока, оси которыхъ соединены муфтой подъ угломъ, соответствующимъ $\frac{1}{4}$ періода. Эти два тока могутъ быть проведены по двумъ отдѣльнымъ линіямъ 1—3, 2—4.

Въ нашихъ вычисленіяхъ мы предположимъ, что линія не имѣетъ ни самоиндукціи, ни емкости. Въ

разсматриваемомъ случаѣ вычисленіе то же, что и для двухъ обыкновенныхъ линій съ однофазнымъ токомъ.

Пусть будетъ R общее сопротивление четырехъ проволокъ; потенциалы A и B разнятся на одну четверть фазы, также какъ и потенциалы C и D .

Пусть будетъ E и I эффективныя напряженіе и сила каждаго изъ токовъ, которые мы предположимъ пока равными.

Если мы назовемъ чрезъ $\frac{K}{100}$ потерю въ проводникахъ, то будемъ имѣть для каждой линіи:

$$(17) \quad 2 R I^2 = \frac{K}{100} E I$$

$$(18) \quad R = \frac{K E I}{100 2 I^2} = \frac{K E}{100 2 I}$$

S , l и ρ поперечное сѣченіе, длина и удѣльное сопротивление одного изъ проводниковъ, слѣдовательно:

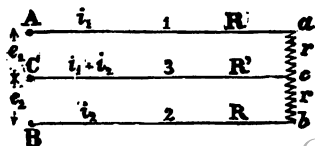
$$R = \frac{\rho l}{S} = \frac{K E I}{100 2 I^2}$$

$$S = \frac{2 \rho l I^2}{\frac{K}{100} E I}$$

Общій объемъ металла:

$$V = 4 S l = \frac{8 \rho l^2 I^2}{\frac{K}{100} E I}$$

Для того чтобы упростить линію и сократить число изоляторовъ, двѣ обратныя проволоки 3 и 4 замѣняютъ одной общей для 1 и 2. Предположимъ двѣ линіи Aa , Cc ,



фиг. 10

Вв, Сс, замкнутыя равными сопротивленіями r безъ самоиндукціи.

Имѣемъ, согласно опредѣленію двухфазныхъ токовъ:

$$(19) \begin{cases} e_1 = E \sqrt{2} \sin mt \\ e_2 = E \sqrt{2} \sin \left(mt - \frac{\pi}{2} \right) = -E \sqrt{2} \cos mt \end{cases}$$

Е эффективное напряженіе каждаго тока. Такимъ образомъ:

$$(20) \begin{cases} e_1 = (R + r) i_1 + R' (i_1 + i_2) \\ e_2 = (R + r) i_2 + R' (i_1 + i_2) \end{cases}$$

$$(21) \begin{cases} E \sqrt{2} \sin mt = (R + r) i_1 + R' (i_1 + i_2) \\ -E \sqrt{2} \cos mt = (R + r) i_2 + R' (i_1 + i_2) \end{cases}$$

Откуда:

$$(22) i_1 - i_2 = \frac{E \sqrt{2} (\sin mt + \cos mt)}{R + r} = \frac{2 E \sin \left(mt + \frac{\pi}{4} \right)}{R + r}$$

$$(23) i_1 + i_2 = \frac{E \sqrt{2} (\sin mt - \cos mt)}{R + r + 2 R'} = \frac{2 E \sin \left(mt - \frac{\pi}{4} \right)}{R + r + 2 R'}$$

Получаемъ изъ 22 и 23:

$$(24) \begin{aligned} i_1 &= E \left(\frac{\sin \left(mt + \frac{\pi}{4} \right)}{R + r} + \frac{\sin \left(mt - \frac{\pi}{4} \right)}{R + r + 2 R'} \right) \\ &= E \left(\frac{\cos \left(mt - \frac{\pi}{4} \right)}{R + r} + \frac{\sin \left(mt - \frac{\pi}{4} \right)}{R + r + 2 R'} \right) \end{aligned}$$

$$(25) \quad i_2 = E \left(\frac{\sin \left(mt - \frac{\pi}{4} \right)}{R + r + 2R'} - \frac{\sin \left(mt + \frac{\pi}{4} \right)}{R + r} \right) \\ = E \left(\frac{\sin \left(mt - \frac{\pi}{4} \right)}{R + r + 2R'} - \frac{\cos \left(mt - \frac{\pi}{4} \right)}{R + r} \right)$$

Допустимъ, что:

$$(26) \quad \frac{R + r + 2R'}{R + r} = 1 + \frac{2R'}{R + r} = \operatorname{tg} 2\pi\varphi$$

Получаемъ посредствомъ извѣстнаго преобразованія:

$$(27) \quad i_1 = E \frac{\sqrt{1 + \left(\frac{R + r + 2R'}{R + r} \right)^2} \sin \left(mt - \frac{\pi}{4} + 2\pi\varphi \right)}{R + r + 2R'}$$

$$(28) \quad i_2 = E \frac{\sqrt{1 + \left(\frac{R + r + 2R'}{R + r} \right)^2} \sin \left(mt - \frac{\pi}{4} - 2\pi\varphi \right)}{R + r + 2R'}$$

Эти два послѣднія равенства показываютъ, что фазы токовъ i_1 , i_2 и напряженій e_1 , e_2 не одинаковы; i_1 находитъ впереди e_1 на $\left(2\pi\varphi - \frac{\pi}{4} \right)$ фазы, а i_2 запаздываетъ относительно e_2 на $\left(2\pi\varphi + \frac{\pi}{4} \right)$ фазы.

Разность фазъ i_1 и i_2 равна:

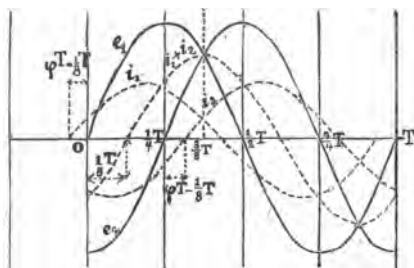
$$2 \times 2\pi\varphi$$

Слѣдовательно, напряженія e_1 , e_2 разнятся на $1/4$ періода, токи же i_1 , i_2 разнятся болѣе чѣмъ на $1/4$ періода, такъ какъ:

$$\operatorname{tg} 2\pi\varphi = \frac{R + r + 2R'}{R + r} = 1 + \frac{2R'}{R + r} > 1$$

$$2\pi\varphi > \frac{\pi}{4} \quad 2 \times 2\pi\varphi > \frac{\pi}{2}$$

На фиг. 11 изображены напряжения и токи въ соответствующих имъ фазахъ.



фиг. 11.

Уравнение (23) показываетъ, что токъ, который проходитъ по промежуточной проволокъ (3) запаздываетъ относительно e_1 на $1/8$ периода и находится впереди e_2 на $1/8$ периода; онъ запаздываетъ относительно i_1 на φT и находится впереди i_2 также на φT .

Средняя эффективная тока есть:

$$(29) \quad \frac{E\sqrt{2}}{R + r + 2R'}$$

Это токъ, который произведетъ въ цѣпи съ сопротивленіемъ $R + r + 2R'$ электровозбудительная сила, равная эффективному напряженію между А и С, умноженному на $\sqrt{2}$.

Мы увидимъ дальше, что на практикѣ отодвинутіе токовъ i_1 и i_2 относительно напряженій e_1 , e_2 можетъ быть не принято во вниманіе; такъ въ примѣрѣ, приводимомъ нами ниже, относительно линіи съ потерей въ 15%, абсолютная величина этого отодвинутія равна 3°,5. Мы пренебрежемъ этимъ отодвинутіемъ и допустимъ въ нашихъ вычисленіяхъ, что фазы токовъ i_1 , i_2 совпадаютъ съ фазами e_1 , e_2 .

Мы допустимъ безъ замѣтной ошибки, что:

$$\sqrt{1 + \left(\frac{R + r + 2R'}{R + r} \right)^2} = \sqrt{2}$$

Средняя эффективная i_1 и i_2 будутъ слѣдовательно:

$$I = \frac{E}{R + r + 2 R'}$$

Распределение металла, дающее минимальную потерю мощности въ проводникахъ данного вѣса:

Потеря мощности, относящаяся къ одному изъ токовъ линіи, наприѣръ i_1 , есть:

$$\begin{aligned} (30) \quad W &= \frac{1}{T} \int_0^T (R i_1^2 dt + R' (i_1 + i_2) i_1 dt) \\ &= R I^2 + R' I \sqrt{2} I \cos [(i_1 + i_2) i_1] \\ &= R I^2 + R' I^2 \sqrt{2} \cos \frac{\pi}{4} \\ &= (R + R') I^2 \end{aligned}$$

Общая потеря мощности на линіи будетъ:

$$W = 2 (R + R') I^2$$

Или

$$W = 2 R I^2 + 2 R' I^2$$

Пусть будетъ:

ρ удѣльное сопротивленіе металла;

l длина каждой проволоки;

S поперечное сѣченіе проволокъ 1 и 2;

S' сѣченіе проволоки 3;

V общій объемъ металла.

$$R = \frac{\rho l}{S}$$

$$R' = \frac{\rho l}{S'}$$

$$V = 2 S l + S' l$$

$$S' = \frac{V}{l} - 2 S$$

Слѣдовательно:

$$(31) \quad W = 2 I^2 \rho l \left(\frac{1}{S} + \frac{1}{\frac{V}{l} - 2S} \right)$$

Условіе минимума W есть:

$$\text{или} \quad -\frac{1}{S^2} + \frac{2}{\left(\frac{V}{l} - 2S\right)^2} = 0$$

$$(32) \quad 2S^2 - \frac{4VS}{l} + \left(\frac{V}{l}\right)^2 = 0$$

Корень, который, очевидно, можно допустить:

$$(33) \quad S = \frac{V}{l} \left(1 - \frac{\sqrt{2}}{2} \right) = 0,295 \frac{V}{l}$$

Слѣдовательно:

$$(34) \quad S' = \frac{V}{l} - 2S = \frac{V}{l} (\sqrt{2} - 1) = 0,41 \frac{V}{l}$$

Поперечныя сѣченія проволоки 1, 2, 3 находятся приблизительно въ отношеніи:

$$1 : 1 : 1,4$$

$$(35) \quad \frac{S'}{S} = \frac{4}{3}$$

$$(36) \quad \frac{R'}{R} = \frac{3}{4}$$

Отсюда выводится потеря въ ваттахъ:

$$(37) \quad W = 2 I^2 \rho l \left(\frac{1}{0,295 \frac{V}{l}} + \frac{1}{0,41 \frac{V}{l}} \right) = 11,66 \rho \frac{l^2}{V} I^2$$

Въ случаѣ однофазнаго тока такой же мощности потеря при одинаковомъ объемѣ металла была бы:

$$(38) \quad W' = 16 \frac{\rho l^2}{V} I^2.$$

Если же допустить равную потерю, то объемъ V' металла опредѣлится изъ уравненія:

$$(39) \quad \begin{aligned} 16 \rho \frac{l^2}{V'} I^2 &= 11,66 \rho \frac{l^2}{V} I^2 \\ \frac{V'}{V} &= \frac{16}{11,66} = 1,37 \\ \frac{V}{V'} &= \frac{11,66}{16} = 0,73. \end{aligned}$$

Канализація при двухфазныхъ токахъ тремя проводами при равной потерѣ и одинаковомъ напряженіи даетъ, слѣдовательно, экономію въ 27% сравнительно съ линіей однофазной.

Съ другой стороны, если въ двухфазной системѣ имѣть между двумя крайними проволоками то же напряженіе, какъ и въ однофазной системѣ, то напряженіе между крайней проволокой и средней должно быть:

$$\frac{E}{\sqrt{2}}$$

и тогда объемъ V'' опредѣлится изъ уравненія:

$$\frac{V''}{V'} = \frac{V \times (\sqrt{2})^2}{V'}$$

$$V'' = V' \times 0,73 \times 2 = V' \times 1,46.$$

Слѣдовательно, двухфазные токи мало годны для передачъ на большое разстояніе.

Уравненія (33), (34) и (37) даютъ непосредственно поперечныя сѣченія проволокъ и общій объемъ металла для

извѣстной потери W въ уаттахъ. Напримѣръ: пусть требуется передать мощность въ 100.000 уаттовъ при 2000 вольтхъ на разстояніе 5 километровъ; согласны на потерю 15%.

$$2 EI = 2 \times 25^a \times 2000^o = 100.000 \text{ уаттовъ}$$

$$I \sqrt{2} = 35^a, 25$$

$$W = 0,15 \times 100.000^w = 15.000^w.$$

Изъ уравненія (37) при $\rho = 18^w$ имѣемъ:

$$V = \frac{11,66 \times 18^w \times 5^2 \times 25^2}{15.000^w} = 218 \text{ куб. дециметр.}$$

Такъ какъ за соотвѣтствующія единицы взяты километръ и квадратный миллиметръ, то объемъ V выразится въ кубическихъ дециметрахъ.

$$\text{Вѣсъ мѣди равенъ } 9^{kgs} \times 218 = 1962^{kgs}.$$

Изъ уравненій (33) и (34) получаемъ:

$$S = 0,3 \frac{V}{l} = 0,3 \times \frac{218}{5} 13^{mm^2}, 08$$

$$S' = 0,4 \frac{V}{l} = 0,4 \times \frac{218}{5} 17^{mm^2}, 44$$

Линія будетъ состоятъ, слѣдовательно, изъ двухъ проволокъ въ 4,1 миллиметра каждая и одной проволоки въ 4,7 миллиметра въ діаметрѣ.

Въ данномъ случаѣ будемъ имѣть, слѣдовательно:

$$R = 6^w, 88$$

$$R' = 4^w, 84$$

Кромѣ того:

$$2 r I^2 = 100.000^w - 15.000^w = 85.000^w$$

Слѣдовательно:

$$r = \frac{85.000^w}{2I^2} = 68 \text{ омамъ.}$$

Итакъ:

$$\operatorname{tg} 2 \pi \varphi = I + \frac{2 R'}{R + r} = 1,129$$

$$2 \pi \varphi = 48^{\circ}30'$$

$$2 \pi \varphi - \frac{\pi}{4} = 3^{\circ}30'$$

$$\cos 3^{\circ}30' = 0,998$$

Въ приведенномъ примѣрѣ токи i_1, i_2 отодвинуты, слѣдовательно, относительно e_1, e_2 на $3^{\circ},5$, уголь, которыми на практикѣ можно пренебречь. Болѣе:

$$\sqrt{1 + \left(\frac{R + r + 2 R'}{R + r} \right)^2} = 1,50$$

Допущенное нами предположеніе, что средніе эффективные токи $(i_1 + i_2)$ и i_1 или i_2 находятся въ отношеніи $\sqrt{2} : 1$, выражаетъ, такимъ образомъ, дѣйствительное отношеніе только приблизительно. Это отношеніе въ данномъ примѣрѣ есть:

$$\sqrt{2} : \frac{1,5}{\sqrt{2}} = 1,33$$

То есть, что токъ въ проволокѣ 3 слабѣе, чѣмъ мы это допустили и равенъ: $I' = I \times 1,33$, вмѣсто: $I \times 1,41$.

Такъ какъ:

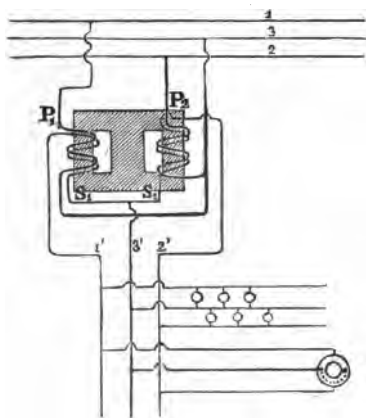
$$\frac{I'^2}{2 I^2} = 0,88$$

то потеря въ уаттахъ въ проволокѣ 3 будетъ, слѣдовательно, въ дѣйствительности на 12% меньше вычислен-

ной и общая потеря будетъ на 6% меньше, чѣмъ мы это допустили, вслѣдствіе чего мы можемъ уменьшить еще на 12% поперечное сѣченіе проволоки 3.

Напомнимъ, что по отношенію къ изолированію наибольшее значеніе имѣетъ напряженіе въ крайнихъ проводахъ, въ нашемъ примѣрѣ это напряженіе достигаетъ $2000 \times \sqrt{2} = 2800$ вольтовъ.

Вторичная канализация.



фиг. 12.

Въ два ряда первичныхъ катушекъ P_1, P_2 трансформатора пропускается токъ по отвѣтвленіямъ изъ трехъ проволокъ. Два тока низкаго напряженія, производимые вторичными катушками S_1, S_2 , распределяются посредствомъ вторичной канализаціи между тремя проволоками 1', 2', 3' или четырьмя проволоками. Двигатели питаются посредствомъ отвѣтвленій изъ трехъ проволокъ.

Лампочки должны быть помѣщены между 1'3' и 2'3' такимъ образомъ, чтобы на каждой изъ двухъ линій 1'3' и 2'3' было приблизительно одинаковое число дѣйствующихъ лампочекъ.

Вторичная канализація въ три проволоки 1', 2', 3' можетъ быть вычислена подобно тому, какъ это было указано выше.

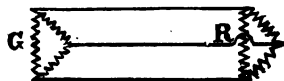
Когда двухфазные токи питають двигатели съ непрерывною обмоткою, получающею токъ, какъ напримѣръ, кольцо или барабанъ, примѣненный въ двигателѣ Шукерта, въ такихъ случаяхъ два вторичные тока трансформатора должны быть произведены двумя отдѣльными катушками и должны быть проведены отъ трансформатора къ

двигателю съ помощью двухъ отдѣльныхъ линій, т. е. посредствомъ четырехъ проволокъ. Въ этомъ случаѣ вторичная канализація можетъ быть вычислена, какъ двойная вторичная канализація съ однофазнымъ токомъ.

Линія трехфазнаго тока.

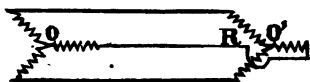
Въ системѣ трехфазныхъ токовъ цѣпи, производящія токъ, также какъ и цѣпи приѣмники, могутъ имѣть два различныхъ соединенія.

На фиг. 13 изображено *соединеніе треугольникомъ*. Три проводника цѣпи производящей G , также какъ и цѣпи приѣмника R , составляютъ одну замкнутую цѣпь; каждая вершина треугольника соединена съ проволокой линіи.



фиг. 13.

Фиг. 14 изображаетъ схему *соединенія звѣздочкой*. Три проводника цѣпи производящей, также какъ и цѣпи-приѣмника, имѣютъ общіе концы O, O' , какъ въ индукціонной части динамо Томсона Хустона, другой же конецъ каждого проводника соединенъ съ проволокой линіи.



фиг. 14.

Наконецъ, можно различно комбинировать между собою эти системы: такъ генераторъ можетъ имѣть соединеніе звѣздочкой, а приѣмникъ соединеніе треугольникомъ или одновременно и треугольникомъ и звѣздочкой.

Мы рассмотримъ последовательно эти различные случаи.

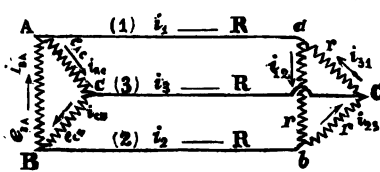
1. Соединеніе треугольникомъ.

Пусть будетъ ABC цѣпь генератора, индукціонная часть динамо или вторичная обмотка трансформатора и abc цѣпь приѣмника.

R общее сопротивление проволок линий.

r общее сопротивление проводников цепи приемника.

Эти сопротивления предполагаются без самоиндукции.



фиг. 15.

e_{BA}, e_{CB}, e_{AC} разности потенциалов между точками В и А, С и В, А и С в момент времени t . Токи в данный момент в различных цепях изображены на фиг.

15; стрелки указывают их положительное направление.

Мы предположим, что у зажимов трех проводников АВ, ВС, СА произведено три разности синусоидальных потенциалов, отодвинутых попарно на $1/3$ периода, так что:

$$(1) \begin{cases} e_{BA} = E \sqrt{2} \sin mt \\ e_{CB} = E \sqrt{2} \sin \left(mt - \frac{2\pi}{3} \right) \\ e_{AC} = E \sqrt{2} \sin \left(mt - \frac{4\pi}{3} \right) \end{cases}$$

E эффективное напряжение между концами каждого элемента генератора.

Имеем также:

$$(2) \quad e_{BA} + e_{CB} + e_{AC} = 0$$

Очевидно:

$$(3) \begin{cases} i_1 = -i_{AC} + i_{BA} = i_{1,2} - i_{3,1} \\ i_2 = -i_{BA} + i_{CB} = i_{2,3} - i_{1,2} \\ i_3 = -i_{CB} + i_{AC} = i_{3,1} - i_{2,3} \\ i_1 + i_2 + i_3 = 0 \end{cases}$$

Если мы допустим, что токи i_{BA}, i_{CB}, i_{AC} синусоидальны и отодвинуты попарно на $1/3$ периода, то будем иметь:

$$(4) \quad i_{BA} + i_{CB} + i_{AC} = 0$$

Кромѣ того:

$$(5) \quad \begin{cases} e_{BA} = R(i_1 - i_2) + ri_{1,2} \\ e_{CB} = R(i_2 - i_3) + ri_{2,3} \\ e_{AC} = R(i_3 - i_1) + ri_{3,1} \end{cases}$$

Сложимъ эти три уравненія; въ силу (2) получимъ:

$$(6) \quad 0 = r(i_{1,2} + i_{2,3} + i_{3,1}) \quad i_{1,2} + i_{2,3} + i_{3,1} = 0$$

Изъ уравненій (3) и (4)

$$(7) \quad \begin{cases} i_1 + i_2 = i_{2,3} - i_{3,1} = i_{1,2} + 2i_{2,3} \\ i_2 + i_3 = i_{3,1} - i_{1,2} = i_{2,3} + 2i_{3,1} \\ i_3 + i_1 = i_{1,2} - i_{2,3} = i_{3,1} + 2i_{1,2} \\ i_1 - i_2 = 3i_{1,2} = 3i_{BA} \\ i_2 - i_3 = 3i_{2,3} = 3i_{CB} \\ i_3 - i_1 = 3i_{3,1} = 3i_{AC} \end{cases}$$

Слѣдовательно:

$$(8) \quad \begin{cases} i_{1,2} = i_{BA} \\ i_{2,3} = i_{CB} \\ i_{3,1} = i_{AC} \end{cases}$$

$$(9) \quad \begin{cases} i_1 = 2i_{1,2} + i_{2,3} \\ i_2 = 2i_{2,3} + i_{3,1} \\ i_3 = 2i_{3,1} + i_{1,2} \end{cases}$$

Изъ уравненій (1), (3), (5), (7) и (8) выводимъ:

$$(10) \quad \begin{cases} i_{1,2} = i_{BA} = \frac{E \sqrt{2} \sin mt}{3R + r} \\ i_{2,3} = i_{CB} = \frac{E \sqrt{2} \sin \left(mt - \frac{2\pi}{3} \right)}{3R + r} \\ i_{3,1} = i_{AC} = \frac{E \sqrt{2} \sin \left(mt - \frac{4\pi}{3} \right)}{3R + r} \end{cases}$$

$$(11) \left\{ \begin{aligned} i_1 &= \frac{E \sqrt{2}}{3R+r} \left[\sin mt - \sin \left(mt - \frac{4\pi}{3} \right) \right] \\ &= \frac{E \sqrt{3} \sqrt{2}}{3R+r} \sin \left(mt - \frac{\pi}{6} \right) \\ i_2 &= \frac{E \sqrt{2}}{3R+r} \left[\sin \left(mt - \frac{2\pi}{3} \right) - \sin mt \right] \\ &= \frac{E \sqrt{3} \sqrt{2}}{3R+r} \sin \left(mt - \frac{2\pi}{3} - \frac{\pi}{6} \right) \\ i_3 &= \frac{E \sqrt{2}}{3R+r} \left[\sin \left(mt - \frac{4\pi}{3} \right) - \sin \left(mt - \frac{2\pi}{3} \right) \right] \\ &= \frac{E \sqrt{3} \sqrt{2}}{3R+r} \sin \left(mt - \frac{4\pi}{3} - \frac{\pi}{6} \right) \end{aligned} \right.$$

Уравненія (10) показываютъ:

1° Три тока, производящіе работу, $i_{1,2}, i_{2,3}, i_{3,1}$ имѣютъ ту же фазу, какъ и напряженія e_{BA}, e_{CB}, e_{AC} ; они представляютъ попарно разность фазъ $\frac{2\pi}{3}$ или 120 градусо́въ.

2° Общій максимумъ этихъ токовъ:

$$i_{\max} = \frac{E \sqrt{2}}{3R+r}$$

и ихъ средняя эффективная:

$$(12) i_{ef} = \frac{E}{3R+r}$$

Это токъ, который произведетъ постоянная электро-возбудительная сила E , дѣйствующая въ цѣпи съ сопротивленіемъ равнымъ сопротивленію одного изъ проводниковъ цѣпи пріемника плюсъ тройное сопротивленіе одной изъ проволокъ линіи.

Уравненія (11) показываютъ:

1° Три синусоидальные тока линіи i_1, i_2, i_3 представляютъ попарно разность фазъ $\frac{2\pi}{3}$ или 120 градусовъ.

2° i_1 опаздываетъ по отношенію къ $i_{1,2}$ на $\frac{\pi}{6}$ или 30°.

То же самое по отношенію i_2 къ $i_{2,3}$ и i_3 къ $i_{3,1}$.
3° Максимумъ и средняя эффективная токовъ линіи i_1, i_2, i_3 относятся къ соответствующимъ величинамъ токовъ, производящихъ работу, $i_{1,2}, i_{2,3}, i_{3,1}$, какъ $\frac{\sqrt{3}}{1} = 1,73$

Средняя эффективная каждого тока линіи равна току, который произведетъ электровозбудительная сила $E\sqrt{3}$, дѣйствующая въ цѣпи съ сопротивленіемъ равнымъ сопротивленію r одного изъ проводниковъ цѣпи приемника плюсъ тройное сопротивление R одной изъ проволокъ линіи.

Пусть будетъ J эта средняя эффективная i_1, i_2, i_3 .

$$(13) J = i \sqrt{3}$$

4° Можно представить одинъ изъ токовъ, производящихъ работу, напр. $i_{3,1}$ въ видѣ:

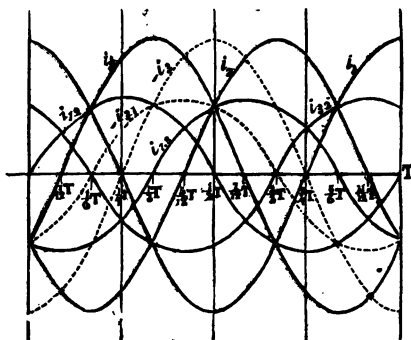
$$i_{3,1} = -\frac{E\sqrt{2}}{3R+r} \sin\left(mt - \frac{4\pi}{3} + \pi\right) =$$

$$(14) -\frac{E\sqrt{2}}{3R+r} \sin\left(mt - \frac{\pi}{3}\right)$$

Можно, слѣдовательно, разсматривать равенства (10) и (11), какъ представляющія шесть токовъ съ разностью попарно въ 30°, какъ это указано на диаграммѣ (фиг. 16).

Напряженія e_{BA}, e_{CB}, e_{AC} , представлены сообразно масштабу тѣми же кривыми, какъ и $i_{1,2}, i_{2,3}, i_{3,1}$. Шестъ

кривыхъ, о которыхъ идетъ рѣчь, суть: $i_{1,2}$, i_1 , $-i_{3,1}$, $-i_3$, $i_{2,3}$, i_2 . Этими шестью токами воспользовались, чтобы

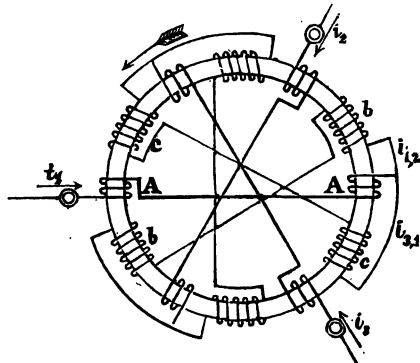


фиг. 16.

сдѣлать болѣе постоянными силу и скорость вращающагося поля.

На фиг. 17 изображена схема, принятая Доливо-Добровольскимъ: кольцеобразный индукторъ снабженъ 12 обмотками, питаемыми шестью токами съ разностью въ 30° или въ $1/12$ фазы.

Каждый токъ линіи, i_1 на примѣръ, проходитъ по обмоткѣ AA , потомъ раздѣляется на $i_{1,2}$, $i_{3,1}$, пробѣгая обмотки bb , cc , расположенныя съ одной и съ другой стороны AA . Такъ какъ отношеніе средней токовъ линіи i_1 , i_2 , i_3 , къ средней токовъ $i_{1,2}$, $i_{2,3}$, $i_{3,1}$ равно отношенію $\sqrt{3}$ къ 1, то число оборотовъ обмотокъ A будетъ



фиг. 17.

$\sqrt{3} = 1,73$ раза меньше числа оборотовъ обмотокъ b и c . Двѣнадцать обмотокъ производятъ въ кольцѣ два магнитные разноименные полюса, діаметрально противоположные и вращающіеся по направленію стрѣлки.

Вычисленіе линіи. — Мы уже видѣли, что токи въ проводникахъ цѣпи генератора совпадаютъ фазами съ соответствующими напряжениями.

Средняя эффективная каждого изъ этихъ токовъ есть (ур. 12):

$$i_e = \frac{E}{3 R + r}$$

Слѣдовательно, мощность въ цѣпи ABC:

$$(15) \quad P = 3 (E \times i_e) = \frac{3 E^2}{3 R + r} = EI$$

Предположивъ:

$$3 i_e = I$$

I есть весь распредѣляемый токъ.

Слѣдовательно, мощность, расходуемая въ цѣпи работы:

$$(16) \quad w = 3 (i_e^2 r) = I^2 \times \frac{r}{3} = 3 \frac{E^2}{3 R + r} \times \frac{r}{3 R + r}$$

Потеря мощности на линіи:

$$(17) \quad W = 3 (J^2 R) = 9 i_e^2 R = I^2 R = \frac{3 E^2}{3 R + r} \times \frac{3 R}{3 R + r}$$

Уравненія (15), (16), (17) могутъ служить для проверки и показываютъ, что дѣйствительно:

$$P = w + W$$

Полезное дѣйствіе линіи будетъ слѣдовательно:

$$(18) \quad \frac{w}{P} = \frac{r}{3 R + r}$$

Эффективное напряженіе у зажимовъ каждого элемента цѣпи пріемника будетъ:

$$(19) \quad \varepsilon = \frac{w}{I} = E \times \frac{r}{3 R + r} = i_e r = \frac{I}{3} r$$

Потеря напряженія на линіи:

$$(20) \quad r = \frac{W}{I} = E \times \frac{3 R}{3 R + r} = i_e \times 3 R = IR$$

Пусть будетъ:

$$P = EI = E \times 3 i_e$$

мощность у полюсовъ динамо или трансформатора отправления и К процентная потеря на линіи. Имѣемъ:

$$W = K P = I^2 R$$

Откуда:

$$r = KE$$

$$(21) \quad R = \frac{W}{I^2} = \frac{K P}{I^2} = \frac{K E}{I}$$

Пусть будетъ S l и ρ поперечное сѣченіе, длина и удѣльное сопротивленіе одной изъ проволокъ; имѣемъ:

$$R = \rho \frac{l}{S}$$

Откуда:

$$(22) \quad S = \frac{\rho l I^2}{W} = \frac{\rho l I^2}{K P} = \frac{\rho l I}{K E} = \frac{\rho l P}{K E^2}$$

Пусть будетъ V весь объемъ металла, употребленнаго на линіи, имѣемъ:

$$(23) \quad V = 3 S l = \frac{3 \rho l^2 I^2}{W} = \frac{3 \rho l^2 I^2}{K P} = \frac{3 \rho l^2 I}{K E}$$

или

$$(24) \quad W = \frac{\rho l I^2}{S} = \frac{3 \rho l^2 I^2}{V}$$

Представимъ теперь мощность P въ видѣ переменнаго однофазнаго тока того же напряженія; будемъ имѣть еще:

$$P = EI$$

Распредѣлимъ объемъ металла V между двумя проволоками линіи одинаковой длины l ; пусть будетъ R' сопротивление одной изъ этихъ проволокъ. Будемъ имѣть очевидно:

$$(25) \quad R' = \frac{\rho l}{1,5 S} = \frac{2\rho l^2}{V}$$

и потеря W' мощности на линіи будетъ:

$$(26) \quad W' = 2 R' I^2 = \frac{4\rho l^2 I^2}{V}$$

Такимъ образомъ:

$$\frac{W'}{W} = \frac{4}{3} = 1,33 \text{ или } \frac{W}{W'} = \frac{3}{4} = 0,75$$

Слѣдовательно, для даннаго объема металла потеря на линіи, въ случаѣ трехфазнаго тока, на 25% меньше, чѣмъ при однофазномъ токѣ; среднее напряженіе между двумя какими нибудь проволоками линіи предполагается одинаковымъ для обоихъ случаевъ.

Формула (22) даетъ непосредственно поперечное сѣченіе одной изъ проволокъ и (21) ея сопротивление.

Равенство (26) показываетъ, что если сдѣлать $W' = W$, то нуженъ будетъ объемъ металла:

$$V' = \frac{4}{3} V$$

Слѣдовательно, экономія въ металлѣ, производимая трехфазнымъ токомъ по отношенію къ однофазному, равна 25%.

2. Соединение звѣздочкой.

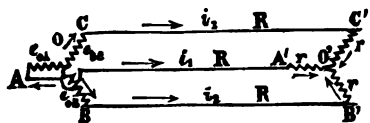
Пусть будетъ E средняя эффе́ктивная напряженіи между точкою O и концами A, B, C цѣпи генератора, имѣемъ:

$$e_{OA} = E \sqrt{2} \sin mt$$

$$(1) \quad e_{OB} = E \sqrt{2} \sin \left(mt - \frac{2\pi}{3} \right)$$

$$e_{OC} = E \sqrt{2} \sin \left(mt - \frac{4\pi}{3} \right)$$

Линія питаетъ три цѣпи приѣмника, имѣющія одинаковое сопротивление r и общую точку O' . Обозначимъ, какъ и раньше, чрезъ R сопротивление каждой проволоки линіи. Въ данномъ случаѣ мгновенный токъ въ каждой проволоцѣ линіи равенъ току въ соответствующихъ



фиг. 18.

проводникахъ генератора и приѣмника.

Будемъ имѣть, очевидно, считая положительнымъ направлениемъ напряженій и токовъ направле́ніе, указываемое стрѣлками:

$$2 \begin{cases} e_{OA} - e_{OB} = Ri_1 + ri_1 - ri_2 - Ri_2 = (R + r)(i_1 - i_2) \\ e_{OB} - e_{OC} = (R + r)(i_2 - i_3) \\ e_{OC} - e_{OA} = (R + r)(i_3 - i_1) \end{cases}$$

Такъ какъ три цѣпи имѣютъ точки O, O' общими, то будемъ имѣть:

$$(3) \quad i_1 + i_2 + i_3 = 0.$$

Это послѣднее условіе показываетъ, что каждый токъ постоянно равенъ алгебраической суммѣ двухъ другихъ токовъ и имѣетъ знакъ противоположный ей.

Изъ равенствъ (1), (2) и (3) получаемъ:

$$(4) \quad e_{OA} + e_{OB} + e_{OC} = 0.$$

$$(5) \quad \begin{cases} e_{OA} = (R + r) i_1 \\ e_{OB} = (R + r) i_2 \\ e_{OC} = (R + r) i_3 \end{cases}$$

Откуда:

$$(6) \quad \begin{cases} i_1 = \frac{E \sqrt{2}}{R + r} \sin mt \\ i_2 = \frac{E \sqrt{2}}{R + r} \sin \left(mt - \frac{2\pi}{3} \right) \\ i_3 = \frac{E \sqrt{2}}{R + r} \sin \left(mt - \frac{4\pi}{3} \right) \end{cases}$$

Уравненія (6) показываютъ:

1°. Токи i_1 , i_2 , i_3 представляютъ попарно разность фазъ въ $1/3$ періода или 120° и ихъ фазы совпадаютъ съ соответствующими фазами напряженій въ проводникахъ генератора.

2°. Средняя эффективная J каждого изъ этихъ токовъ равна:

$$(7) \quad J = \frac{E}{R + r}$$

Это, слѣдовательно, токъ, который произведетъ постоянная электровозбудительная сила E или переменная, имѣющая средней эффективной E , дѣйствующая въ цѣпи съ общимъ сопротивленіемъ $R + r$. Потеря напряженія въ одной какой нибудь проволоки линіи въ каждый моментъ равна $R i$; i есть мгновенный токъ. Данная линія дѣйствуетъ, какъ три отдѣльныхъ линій, проводящихъ каждая однофазный токъ со среднею эффективною J и составленныхъ каждая изъ одной проволоки съ сопротивленіемъ R и обратнымъ проводомъ съ сопротивленіемъ равнымъ нулю.

3° Разность потенциаловъ между центрами О и О' всегда равна нулю (ур. 5).

Въ результатѣ, соединеніе звѣздочкой представляетъ собою трехфазную линію, равнозначущую тремъ обыкновеннымъ линіямъ, проводящимъ три однофазные тока, отодвинутые попарно на $\frac{1}{3}$ періода, при чемъ три обратныхъ проволоки, имѣющія потенциалы съ разностью фазъ попарно также въ $\frac{1}{3}$ періода, замѣнены одною проволокою. Если, какъ мы предположили, три отдѣльныя линіи нагружены одинаково, то въ такомъ случаѣ по обратному общему проводнику не будетъ совершенно проходить тока, а слѣдовательно этотъ проводникъ можетъ быть уничтоженъ.

Разность потенциаловъ у зажимовъ двухъ какихъ нибудь концовъ, напримѣръ А, В, цѣпи генератора будетъ имѣть своимъ выраженіемъ:

$$\begin{aligned} e_{OA} - e_{OB} &= E\sqrt{2} \left[\sin mt - \sin \left(mt - \frac{2\pi}{3} \right) \right] \\ &= E\sqrt{3}\sqrt{2} \sin \left(mt + \frac{\pi}{6} \right) \end{aligned}$$

Средняя эффе́ктивная равна $E\sqrt{3}$; она составляетъ 1,73 напряженія Е каждой изъ вѣтвей звѣздочки.

Вычисленіе линіи.—Пусть будетъ:

$$P = 3 EJ = EI = 3 \frac{E^2}{R+r}$$

мощность въ началѣ линіи; мы видѣли, что токи имѣють тѣ же фазы, какъ и ихъ соотвѣтствующія напряженія.

Мощность, расходуемая въ цѣпи пріемника:

$$(8) \quad w = 3 J^2 r = 3 \frac{E^2}{(R+r)^2} r = \frac{1}{3} I^2 r$$

Мощность, расходуемая на линіи:

$$(9) \quad W = 3 J^2 R = \frac{1}{3} I^2 R = 3 \frac{E^2}{(K+r)^2} \times R.$$

Потеря напряженія на линіи:

$$(10) \quad v = JR = \frac{1}{3} RI$$

Если обозначимъ чрезъ S , l , ρ поперечное сѣченіе, длину и удѣльное сопротивление каждой проволоки линіи, то будемъ имѣть при извѣстныхъ величинахъ W и v :

$$(11) \quad R = \frac{3W}{I^2} = \frac{3v}{I} = \rho \frac{l}{S}$$

$$S = \frac{1}{3} \rho \frac{lI^2}{W} = \frac{1}{3} \rho \frac{lI}{v}$$

Если предположимъ, что:

$$v = KE \quad W = KP$$

то будемъ имѣть:

$$(12) \quad S = \frac{1}{3} \rho \frac{lI^2}{KP} = \frac{1}{3} \frac{\rho lI}{KE} = \frac{1}{3} \frac{\rho lP}{KE^2}$$

Пусть будетъ V весь объемъ металла линіи, тогда:

$$(13) \quad W = \rho \frac{l^2 I^2}{V}$$

$$(14) \quad v = \rho \frac{l^2 I}{V}$$

Если сравнимъ уравненіе (13) съ уравненіемъ (24) на стр. 32, то увидимъ, что при одинаковыхъ величинахъ E , I и V (или S) потеря, въ случаѣ соединенія звѣздочкой, составляетъ только $1/3$ потери происходящей при соединеніи треугольникомъ; слѣдовательно, экономія мѣди при соединеніи звѣздочкой сравнительно съ соединеніемъ треугольникомъ равна $2/3$ или 66%.

Уравненіе (26) показываетъ, что экономія при соединеніи звѣздочкой сравнительно съ однофазной линіей составляетъ $3/4$ или 75%.

Въ предшествующемъ предполагалось, что никакія соображенія не препятствуютъ увеличенію напряженія между

проводами линии въ отношеніи 1,73 : 1; каковой случай представляется, напимѣръ, при вторичной канализаціи для питанія лампъ.

Если же, наоборотъ, имѣемъ первичную линію высокаго напряженія, то условія изоляціи требуютъ, чтобы въ различныхъ разсмотренныхъ случаяхъ среднее напряженіе между проводами линіи было одинаково.

Въ случаѣ соединенія звѣздочкой, каждая цѣпь ОА и т. п. должна производить, слѣдовательно, напряженіе E' такое, чтобы:

$$(15) \quad E' \sqrt{3} = E \quad E' = \frac{E}{1,73}$$

Вслѣдствіе чего, для той же первоначальной мощности

$$(16) \quad J' = J \sqrt{3} \quad I' = I \sqrt{3}$$

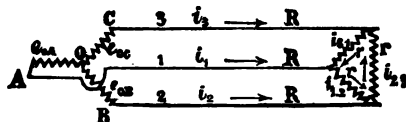
и для той же потери W въ уаттахъ и относительной потери v въ вольтахъ

$$(17) \quad v' = KE' = K \frac{E}{\sqrt{3}}$$

Имѣемъ слѣдовательно:

$$(18) \quad \begin{cases} S' = \frac{1}{3} \rho \frac{I'^2}{W} = \frac{1}{3} \rho \frac{I'}{KE} \\ S' = \frac{\rho l I}{KE} = \frac{\rho l I}{v'} = \frac{\rho l P}{KE^2} \end{cases}$$

Это уравненіе тождественно съ формулой (22) стр. 32, Поперечное сѣченіе проводовъ первичной линіи будетъ, слѣдовательно, одинаково въ соединеніи звѣздочкой и въ соединеніи треугольникомъ.



фиг. 19.

Смѣшанное соединеніе.
Предположимъ, что цѣпь

генератора имѣть соединеніе звѣздочкой, а цѣпь приѣмника соединеніе треугольникомъ.

Пусть будетъ, какъ и раньше:

$$(1) \begin{cases} e_{OA} = E \sqrt{2} \sin mt \\ e_{OB} = E \sqrt{2} \sin \left(mt - \frac{2\pi}{3} \right) \\ e_{OC} = E \sqrt{2} \sin \left(mt - \frac{4\pi}{3} \right) \\ e_{OA} + e_{OB} + e_{OC} = 0. \end{cases}$$

$$(2) \begin{cases} e_{OA} - e_{OB} = R(i_1 - i_2) + r i_{1,2} \\ e_{OB} - e_{OC} = R(i_2 - i_3) + r i_{2,3} \\ e_{OC} - e_{OA} = R(i_3 - i_1) + r i_{3,1} \end{cases}$$

Откуда:

$$(3) \quad i_{1,2} + i_{2,3} + i_{3,1} = 0.$$

Имѣемъ очевидно:

$$(4) \begin{cases} i_1 = i_{1,2} - i_{3,1} \\ i_2 = i_{2,3} - i_{1,2} \\ i_3 = i_{3,1} - i_{2,3} \end{cases}$$

$$(5) \quad i_1 + i_2 + i_3 = 0.$$

Изъ (3) и (4) получаемъ:

$$(6) \begin{cases} i_1 - i_2 = 3 i_{1,2} \\ i_2 - i_3 = 3 i_{2,3} \\ i_3 - i_1 = 3 i_{3,1} \end{cases}$$

Изъ (2), (6) и (1) имѣемъ:

$$(7) \begin{cases} i_{1,2} = \frac{E \sqrt{2}}{3R + r} \left[\sin mt - \sin \left(mt - \frac{2\pi}{3} \right) \right] \\ \quad = \frac{E \sqrt{3} \sqrt{2}}{3R + r} \sin \left(mt + \frac{\pi}{6} \right) \\ i_{2,3} = \frac{E \sqrt{2}}{3R + r} \left[\sin \left(mt - \frac{2\pi}{3} \right) - \sin \left(mt - \frac{4\pi}{3} \right) \right] \end{cases}$$

$$(7) \left\{ \begin{aligned} &= \frac{E \sqrt{3} \sqrt{2}}{3 R + r} \sin \left(mt - \frac{2 \pi}{3} + \frac{\pi}{6} \right) \\ i_{3,1} &= \frac{E \sqrt{2}}{3 R + r} \left[\sin \left(mt - \frac{4 \pi}{3} \right) - \sin mt \right] \\ &= \frac{E \sqrt{3} \sqrt{2}}{3 R + r} \sin \left(mt - \frac{4 \pi}{3} + \frac{\pi}{6} \right) \end{aligned} \right.$$

(4) и (7) даютъ:

$$(8) \left\{ \begin{aligned} i_1 &= \frac{3 E \sqrt{2}}{3 R + r} \sin mt = \frac{3 e_{о\lambda}}{3 R + r} \\ i_2 &= \frac{3 E \sqrt{2}}{3 R + r} \sin \left(mt - \frac{2 \pi}{3} \right) = \frac{3 e_{ов}}{3 R + r} \\ i_3 &= \frac{3 E \sqrt{2}}{3 R + r} \sin \left(mt - \frac{4 \pi}{3} \right) = \frac{3 e_{ос}}{3 R + r} \end{aligned} \right.$$

Токи линіи i_1, i_2, i_3 имѣютъ, слѣдовательно, среднюю эффективную:

$$(9) \quad i_e = \frac{3 E}{3 R + r}$$

Средняя эффективная токовъ работы:

$$(10) \quad J = \frac{E}{3 R + r} \sqrt{3}.$$

Откуда:

$$(11) \quad i_e = J \sqrt{3} = J \times 1,73$$

Изъ приведенныхъ вычислений слѣдуетъ:

1. Токи линіи i_1, i_2, i_3 имѣютъ одинаковую фазу съ соответствующими имъ напряжениями.

2. Средняя эффективная каждого изъ этихъ токовъ составляетъ 1,73 средней эффективной каждого тока работы.

3. Каждый отдѣльный токъ работы совпадаетъ своею фазою съ разностью потенциаловъ у зажимовъ двухъ проволокъ линіи, которыя онъ пересѣкаетъ (ур. 7).

Вычисленіе линіи.—Пусть будетъ:

$$I = 3 J$$

весь токъ цѣпи пріемника. Мощность въ концѣ линіи будетъ:

$$(12) \quad \begin{cases} P = 3 E J \sqrt{3} = 3 J E \sqrt{3} = I E \sqrt{3} \\ = \frac{3 E \sqrt{3}}{3 R + r} \times E \sqrt{3} = \frac{9 E^2}{3 R + r} \end{cases}$$

Мощность, расходуемая въ цѣпи пріемника:

$$(13) \quad w = 3 J^2 r = \frac{9 E^2}{3 R + r} \times \frac{r}{3 R + r}$$

Потеря въ уаттахъ на линіи выразится:

$$(14) \quad W = 3 R (J \sqrt{3})^2 = 9 R J^2 = R I^2 = \frac{9 E^2}{3 R + r} \times \frac{3 R}{3 R + r}$$

Положимъ:

$$W = K P = K I E \sqrt{3}.$$

Будемъ имѣть:

$$(15) \quad R = \frac{W}{I^2} = \frac{K I E \sqrt{3}}{I^2} = \frac{K E \sqrt{3}}{I}$$

$E \sqrt{3}$ есть средняя эффективная напряженія между двумя проволоками линіи отправленія.

Можно прійти къ тому же результату другимъ способомъ. Въ самомъ дѣлѣ, изъ уравненій (1), (2) и (6) получаемъ напряженіе ri въ данный моментъ у зажимовъ какого-либо элемента цѣпи пріемника. Такъ напримѣръ:

$$(16) \quad ri_{1,2} = E \sqrt{3} \sqrt{2} \sin \left(mt + \frac{\pi}{6} \right) - 3 R i_{1,2}$$

$i_{1,2}$ имѣть ту же фазу, какъ и напряженіе между двумя проволоками 1 и 2. Средняя потеря напряженія на линіи будетъ, слѣдовательно:

$$(17) \quad v = 3RJ = RI = 3R \frac{E\sqrt{3}}{3R + r}$$

И такъ потеря напряженія на линіи равна произведенію сопротивленія R проволоки линіи на весь токъ работы I .

Имѣемъ, слѣдовательно:

$$(18) \quad R = \frac{v}{I}$$

Изъ равенствъ (15) и (18):

$$v = KE\sqrt{3}$$

Поперечное сѣченіе проволоки будетъ:

$$(19) \quad S = \frac{\rho l}{R} = \frac{\rho l I^2}{W} = \frac{\rho l l}{v} = \frac{1}{3} \frac{\rho l P}{KE^2} \text{ и } v = \frac{\rho l I}{S}$$

I это весь токъ работы, но не токъ линіи, который имѣетъ выраженіемъ $I\sqrt{3}$.

Если E будетъ обозначать напряженіе между двумя проволоками линіи, то формула (19) обратится въ:

$$S' = \frac{\rho l P}{KE^2}$$

Въ случаѣ тока однофазнаго, допустивъ то же напряженіе $E\sqrt{3}$ и тотъ же вѣсъ металла, будемъ имѣть потерю напряженія:

$$v' = \frac{4}{3} \frac{\rho l I}{S} = \frac{4}{3} v$$

или для той же потери v :

$$S' \frac{2 \rho l I}{v} = 2 S$$

Объемы металла будутъ, слѣдовательно, въ отношеніи:

$$\frac{v}{v'} = \frac{3 S l}{2 \times 2 S l} = \frac{3}{4} = 0,75$$

Итакъ трехфазная линія при одинаковомъ напряженіи и при одинаковой потерѣ даетъ 25% экономіи въ металлѣ сравнительно съ линіей однофазной.

Нѣкоторыя замѣчанія относительно различныхъ системъ передачи и распределенія электрической энергии по отношенію къ канализации.

Мы допустили во всемъ предшествовавшемъ, что проводники и цѣпи пріемника были лишены самоиндукціи и электроемкости.

Предположимъ теперь, что цѣпи не имѣютъ электроемкости, но что пріемники, особенно пріемники электродвигателей, даютъ мѣсто явленіямъ самоиндукціи. Въ такомъ случаѣ результаты, полученные нами выше, должны быть въ нѣкоторой степени измѣнены.

Разсмотримъ пріемникъ съ сопротивленіемъ r и коэффициентомъ самоиндукціи L , питаемый однофазнымъ токомъ съ числомъ перемѣнъ n , среднее напряженіе котораго равно E . Будемъ имѣть:

$$I = \frac{E}{\sqrt{r^2 + (2 \pi n L)^2}} = \frac{E}{r \sqrt{1 + \left(\frac{2 \pi n L}{r} \right)^2}}$$

Вмѣстѣ съ тѣмъ фаза тока будетъ запаздывать относительно фазы напряженія на уголъ φ , опредѣляемый отношеніемъ:

$$\operatorname{tg} \varphi = \frac{2 \pi n L}{r}$$

такимъ образомъ, мощность, дѣйствительно поглощенная пріемникомъ, будетъ:

$$(1) \quad P = E I \cos \varphi$$

Произведение $EI = P'$ средних эффективных напряженія и силы тока есть то, что называют кажущуюся поглощаемую мощностью или кажущимися уаттами, если только E и I выражены соответственно въ вольтахъ и амперахъ:

Пусть будетъ I' токъ, который произведетъ E при сопротивленіи безъ самоиндукціи и при условіи, что:

$$(2) \quad EI' = P = EI \cos \varphi = P' \cos \varphi$$

Отсюда выводимъ:

$$I' = I \cos \varphi \quad I = \frac{I'}{\cos \varphi}$$

$$\cos \varphi = \frac{P}{P'}$$

Приводимъ нѣкоторые результаты, полученные при употребленіи однофазнаго двигателя въ 30 лошадиныхъ силъ:

Число оборотовъ въ минуту	730
Эффективная работоспособность двигателя въ лоша- дяхъ	30,7
Кажущаяся поглощенной мощность въ вольтъ-ам- перахъ	29,800
Дѣйствительно поглощенная мощность, измѣрен- ная уаттотромъ	27,700

Отношеніе дѣйствительной мощности къ кажущейся будетъ:

$$\frac{P}{P'} = \cos \varphi = 0,92.$$

Мы примемъ въ послѣдующемъ, что въ среднемъ $\cos \varphi = 0,90$, которому соответствуетъ $\varphi = 26^\circ$; возьмемъ за сопротивление $\rho = 18$ омамъ, сопротивление одного километра проволоки въ 1^{mm} поперечнаго сѣченія, и выразимъ l въ километрахъ.

Установка звѣздочкой. Токи J и I должны быть замѣнены токами:

$$J' = \frac{J}{0,90} \quad I' = \frac{I}{0,90}$$

Если E среднее напряженіе каждой вѣтви цѣпи генератора, то поперечное сѣченіе проволоки линіи будетъ:

$$(11) \text{ bis} \quad S = \frac{1}{3} \times \frac{18 l I'^2}{W} = \frac{1}{3} \times \frac{18 l I^2}{(0,90) W}$$

$$\frac{1}{3} \times \frac{18 l I}{0,90 v} = 6,67 \frac{l P}{KE^2}$$

Если же E выражаетъ наоборотъ напряженіе между двумя проволоками линіи, то необходимо замѣнить въ предшествующей формулѣ E чрезъ $\frac{E}{\sqrt{3}}$ и I чрезъ $I \sqrt{3}$; тогда будемъ имѣть:

$$(19) \text{ bis} \quad S' = \frac{20 l P}{KE^2}$$

Въ случаѣ постояннаго тока имѣли бы:

$$S_1 = \frac{2 p l P}{KE^2} = \frac{36 l P}{KE^2}$$

Пусть V' и V_1 обозначаютъ объемы мѣди трехфазной линіи и линіи постояннаго тока, имѣемъ:

$$(a) \quad \frac{V'}{V_1} = \frac{3 S' l}{2 S_1 l} = \frac{60}{72} = 0,833.$$

Это отношеніе показываетъ, что для вычисленія трехфазной линіи можно вычислить сначала линію постояннаго тока той же длины, проводящую токъ EI при потерѣ W въ уаттахъ или v въ вольтахъ, затѣмъ уменьшить общій вѣсъ мѣди на 16% и остальной металлъ равномерно распределить между тремя проволоками.

Установка треугольникомъ. Токи, составляющіе цѣпь пріемника, запаздываютъ на уголъ φ , также какъ и каждый изъ токовъ линіи, который постоянно равенъ алгебраической разности двухъ токовъ работы, упирающихся въ него. Поперечное сѣченіе проволоки линіи опредѣлится, слѣдовательно, формулою:

$$S = \frac{18 l}{W} \left(\frac{I}{0,90} \right)^2 = \frac{20 l I}{v} = \frac{20 l P}{KE^2}$$

гдѣ I выражаетъ постоянный токъ, имѣющій величину равную $\frac{P}{E}$.



ВТОРАЯ ЧАСТЬ.

Генераторы многофазных токовъ.

ГЛАВА IV.

Полученіе многофазныхъ токовъ.

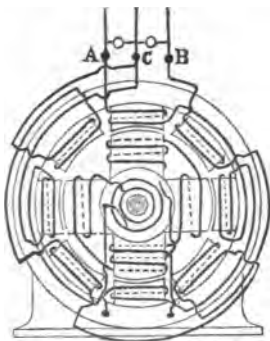
Установимъ два одинаковые однофазные альтернатора такъ, чтобы оси ихъ составляли продолженіе одна другой и соединимъ ихъ муфтою такимъ образомъ, чтобы одинъ изъ альтернаторовъ представлялъ по отношенію къ другому запазданіе въ фазѣ на $\frac{1}{4}$ періода. Такая система двухъ динамо составитъ генераторъ двухфазнаго тока.

Хотя подобное приспособленіе немного сложно и стоитъ дорого, но оно представляетъ то преимущество, что позволяетъ легко регулировать напряженіе каждаго изъ двухъ токовъ, какъ на станціи отпращиванія, такъ и въ любой точкѣ на линіи. Это регулированіе можно производить также, какъ и въ случаѣ двухъ альтернаторовъ соединенныхъ параллельно, посредствомъ двухъ реостатовъ, ручныхъ или автоматическихъ, дѣйствующихъ на оба тока индукторовъ. Такимъ образомъ, можно уравновѣсить неравенство напряженій, могущихъ произойти отъ неодинаковой нагрузки двухъ линій, вслѣдствіе воздѣйствій armатуры и сопротивленія линій.

Такое регулированіе достигаетъ вполнѣ своей цѣли въ установкахъ электрическаго освѣщенія; но чтобы можно

было то же сказать, когда требуется передача электрической энергии, то необходимо, чтобы два соединенные альтернатора имѣли самую слабую самоиндукцію. Въ противномъ случаѣ значительная разница въ нагрузкѣ двухъ линий можетъ на столько измѣнить разность фазъ двухъ альтернаторовъ, что эта послѣдняя уклонится въ ту или другую сторону отъ своей нормальной величины $\frac{1}{4}$ періода и этимъ нарушить образованіе двухфазнаго тока.

Возможно упростить подобную установку и сдѣлать ее болѣе компактной, сохранивъ въ то же время преимущество регулированія каждаго тока отдѣльно. Для этого устанавливаютъ обѣ катушки на одномъ остоу и оба индуктора на одной и той же оси или обратно. Соединивши посредствомъ муфты ось такой машины съ машиной возбудителемъ, мы получимъ полный генераторъ двухфазнаго тока.



фиг. 20.

На фиг. 20 изображена схема альтернатора, производящаго два тока, отодвинутые на $\frac{1}{4}$ періода. Этотъ альтернаторъ имѣетъ только одинъ индукторъ. Каждому индуктирующему полюсу соответствуютъ двѣ индукціонныя катушки. Рисунокъ показываетъ, что обѣ индукціонныя цѣпи соединены вмѣстѣ въ точкѣ С средней проволоки линіи.

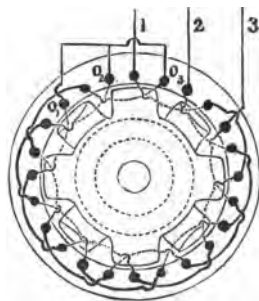
Аналогичнымъ образомъ можно построить трехфазный альтернаторъ, но тогда каждому индуктирующему полюсу должны соответствовать три индукціонныя катушки. Если, слѣдовательно, n есть число индуктирующихъ полюсовъ, то катушка должна имѣть $3n$ катушекъ. Пусть будетъ 1, 2, 3, 4, 5, 6, 7 $3n - 2$, $3n - 1$, $3n$ послѣдовательныя индукціонныя катушки, обмотанныя всѣ одинаково. Если хотять получить 3 тока, разнящіеся попар-

но на $\frac{1}{3}$ періода, то группируют катушки, согласно ниже приводимой табличкѣ:

1-я цѣпь	1—4—7 . .	$3n-2$
2-я »	3—6 . .	$(3n-3)-3n$
3-я »	5—8 . .	$(3n-1)-2$

Для того чтобы получить открытое соединеніе, т. е. соединеніе звѣздочкой въ томъ случаѣ, когда динамо даетъ непосредственно напряженіе тока линіи, то соединяють начала трехъ цѣпей съ проволоками линіи, а концы этихъ цѣпей въ одну точку. Эта общая точка сообщается съ землею или же соединяется съ четвертой проволокой.

Арматура трехфазнаго генератора Броуна неподвижна. Сердечникомъ ей служитъ кольцо изъ листоваго желѣза; въ этомъ кольцѣ сдѣланы отверстія очень близкія къ внутренней поверхности; въ отверстія вкладываются мѣдныя полосы, оправленные въ азбестъ и связанныя, какъ это указано на рис. 21. Эти полосы соединены вмѣстѣ однимъ изъ концовъ, какъ въ динамо Томсона-Хустона.



фиг. 21.

Каждому индуктирующему полюсу соотвѣтствуютъ три полосы armатуры. Индукторъ, вращающійся внутри armатуры, отличается интересною конструкціей. Цилиндрическій желѣзный сердечникъ, расположенный концентрически относительно оси динамо, снабженъ только одною обмоткою. Къ этому сердечнику съ обѣихъ сторонъ привинчено по диску изъ литой стали, изъ которыхъ каждый имѣетъ на своей окружности зубцы, представляющіе собою выпуклости по направленію радіусовъ. Эти диски помѣщаются такъ, что система зубцовъ одного диска входитъ какъ разъ въ выемки другаго диска. При пропусканіи тока по обмоткѣ, окружающей сердечникъ,

эти зубцы обращаются въ полюсныя оконечности попеременно противоположнаго знака. Такое устройство, напоминающее индукторъ альтернатора Мордси, значительно уменьшаетъ требуемое машиной возбужденіе.

Динамо Броуна предназначена для производства токовъ большой силы и слабаго напряженія, которые преобразуются передъ отправкою на линію въ токи высокаго напряженія посредствомъ трансформатора, находящагося здѣсь-же возлѣ генератора.

Произведенныя надъ этою динамо испытанія показали, что нахожденіе внутри самага сердечника индукціонныхъ полосъ значительнаго поперечнаго сѣченія устраняетъ появленіе въ этихъ проводникахъ вихровыхъ токовъ.

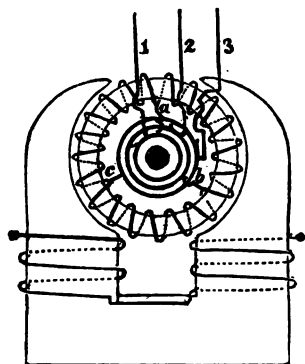
Приводимъ ниже нѣсколько числовыхъ данныхъ, относящихся къ генератору Броуна, построенному въ мастерскихъ Эрликона для передачи электрической энергіи отъ Лауфена до Франкфуртской выставки:

Мощность, поглощенная динамо	300 лощ. силъ.
Число оборотовъ въ минуту	150 » »
Число индуктирующихъ полюсовъ	32 » »
Число перемѣнъ тока.	40 » »
Число индукціонныхъ полосъ на каждую цѣпь	32 » »
Все число полосъ	96 » »
Діаметръ индукціонныхъ полосъ	29 миллим.
Эффективная сила каждой цѣпи	1400 амперовъ.
Эффективное напряженіе каждой цѣпи.	50 вольтовъ.

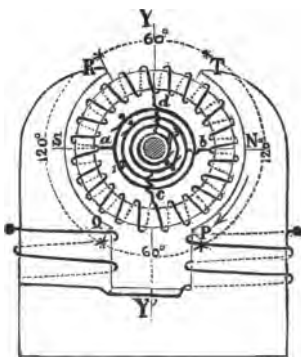
Посредствомъ незначительныхъ измѣненій въ обыкновенной динамо постояннаго тока, можно также получить отодвинутые токи. Разсмотримъ, на примѣръ, динамо Грамма съ двумя полюсами; прикрѣпимъ на продолженіи оси машины три металлическихъ изолированныхъ кольца и соединимъ ихъ посредствомъ проволокъ съ тремя точками *a*, *b*, *c* обмотки, находящимися на разстояніи 120 градусовъ другъ отъ друга. Мы получимъ, такимъ образомъ,

три напряженія, представляющія попарно разность фазъ въ $\frac{1}{3}$ періода. Индукторъ можетъ быть возбуждаемъ отдѣльною машиною или же постояннымъ токомъ, собираемымъ на обыкновенномъ коллекторѣ динамо.

Разсмотримъ еще динамо постоянного тока, и соединимъ двѣ пары колець, прикрѣпленныхъ къ оси машины съ четырьмя точками *a, b, c, d* обмотки арматуры, напримѣръ машины Грамма, расположенными на концахъ взаимно перпендикулярныхъ діаметровъ. Пара колець 1, 2 соединена съ двумя діаметрально противоположными точками *a, b*; другая пара колець соединена съ точками *c, d*. Токи собираются посредствомъ четырехъ щетокъ, соприкасающихся съ кольцами.



фиг. 22.



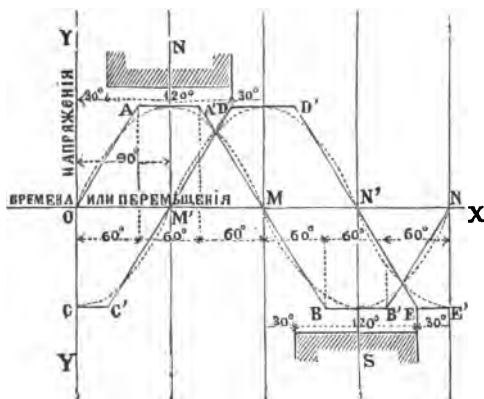
фиг. 23.

Возбуждая индукторъ отдѣльною машиною или же постояннымъ токомъ, собираемымъ на обыкновенномъ коллекторѣ динамо, мы получимъ, очевидно, на двухъ парахъ колець два напряженія, представляющія отодвинутіе фазъ на $\frac{1}{4}$ періода.

Чтобы дать себѣ отчетъ въ дѣйствиі подобной машины, мы допустили, какъ это указано на схемѣ рис. 22 и 23, что уголъ, обнимаемый каждой полюсной частью, равенъ 120 градусамъ. Вообразимъ, что арматура и индуктирующіе полюсы развернуты и рассмотримъ одну половину

b с a арматуры. Въ такомъ случаѣ воображаемое движеніе кольца будетъ прямолинейнымъ и равномернымъ.

Предположимъ сначала, что линіи силъ направлены лучами и равномерно распредѣлены между полюсными частями и кольцомъ и что въ междуполюсномъ пространствѣ чрезъ это послѣднее не проходитъ линій силъ. При такомъ предположеніи и при разомкнутой цѣпи діаграммою напряженія между двумя точками a и b для одного оборота арматуры будетъ, очевидно, ломанная линія $OAA'MBV'N$. Прямая YOY' представляетъ ось обмотки a b въ моментъ, когда эта ось совпадаетъ съ нейтраль-



фиг. 24.

ною линіей. Обмотка вращается по направленію стрѣлки; напряженіе между a и b увеличивается равномерно, слѣдуя по прямой OA ; точка A соотвѣтствуетъ моменту, когда точка b становится передъ краемъ P . Затѣмъ точка b проходитъ съ P къ Q и напряженіе дѣлается постояннымъ; его діаграмма AA' и есть именно та діаграмма, которую дала-бы динамо, дѣйствующая, какъ генераторъ постоянного тока. Далѣе, напряженіе уменьшается по линіи $A'M$ и обращается въ нуль, когда діаметръ ab совпадетъ съ NS . Въ продолженіи слѣдующаго полуоборота напряженіе между a и b мѣняетъ знакъ и тогда діаграммой

напряженія будетъ линія MBV'N. Другая половина *adb* арматуры даетъ, очевидно, ту же діаграмму OAA'MBV'N. Можно видѣть также, что напряженіе между точками *c* и *d* для одного оборота будетъ имѣть діаграмму CC'M'DD'N'EE'.

Въ дѣйствительности въ промежуткѣ между полюсами плотность линій силъ, пронизывающихъ арматуру, не будетъ равна нулю; въ разомкнутой цѣпи эта плотность увеличивается, начиная отъ нейтральной линіи до середины полюсныхъ частей машины; дѣйствительными діаграммами для разомкнутой цѣпи будутъ кривыя, аналогичныя означеннымъ на рисункѣ пунктиромъ и разнящіяся очень мало, въ разсматриваемомъ примѣрѣ, отъ синусоидъ.

Мы видимъ, что ордината максимумъ этихъ діаграммъ представляетъ собою электровозбудительную силу E_m , которую произвела бы динамо, дѣйствующая какъ генераторъ постояннаго тока; эффективное напряженіе каждой цѣпи двухфазнаго генератора будетъ, слѣдовательно:

$$(1) \quad E = \frac{E_m}{\sqrt{2}} = 0,7 E_m$$

Это напряженіе на 30% меньше напряженія постояннаго тока, который даетъ динамо на щеткахъ своего обыкновеннаго коллектора.

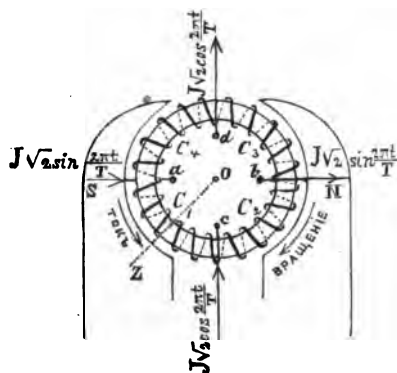
Замкнемъ теперь двѣ пары щетокъ 1, 2, 3, 4 двумя цѣпями съ равными сопротивленіями *r*. Пусть будетъ *J* средняя эффективная каждаго тока; силы токовъ въ моментъ *t*, беря за начало времени моментъ, когда $i_1 = 0$, будутъ имѣть выраженіями:

$$(2) \quad i_1 = J \sqrt{2} \sin \frac{2\pi t}{T}$$

$$(3) \quad i_2 = -J \sqrt{2} \cos \frac{2\pi t}{T}$$

Замѣтимъ еще, что за начало времени взять именно тотъ моментъ, когда діаметръ *ab* совпадаетъ съ осью по-

люсовъ, такъ какъ при такомъ положеніи напряженіе между точками a и b равно нулю. Нужно сказать, что



фиг. 25.

направленіе оси полюсовъ можетъ, вслѣдствіе воздѣйствія armатуры на поле, уклоняться отъ направленія прямой NS, соединяющей середины полюсовъ.

Пусть будетъ C_1, C_2, C_3, C_4 токи, проходящіе въ моментъ t по четыремъ секціямъ ad, db, bc, ca armатуры, причемъ направленіе токовъ будемъ считать положительнымъ, когда они

проходятъ секціи по направленію стрѣлки и отрицательнымъ въ обратную сторону.

Будемъ имѣть, очевидно:

$$(4) \quad C_1 - C_4 = C_2 - C_3 = J \sqrt{2} \sin \frac{2\pi t}{T}$$

$$(5) \quad C_4 - C_3 = C_1 - C_2 = -J \sqrt{2} \cos \frac{2\pi t}{T}$$

Откуда:

$$(6) \quad C_1 - C_3 = J \sqrt{2} \left(\sin \frac{2\pi t}{T} - \cos \frac{2\pi t}{T} \right)$$

$$(7) \quad C_2 - C_4 = J \sqrt{2} \left(\sin \frac{2\pi t}{T} + \cos \frac{2\pi t}{T} \right)$$

Будемъ имѣть на основаніи симметріи:

$$(8) \quad C_3 = -C_1$$

$$(9) \quad C_4 = -C_2$$

Слѣдовательно:

$$(10) \quad C_1 - C_3 = 2C_1 = J \sqrt{2} \left(\sin \frac{2\pi t}{T} - \cos \frac{2\pi t}{T} \right)$$

$$(11) \quad C_2 - C_4 = 2 C_2 = J \sqrt{2} \left(\sin \frac{2 \pi t}{T} + \cos \frac{2 \pi t}{T} \right)$$

или:

$$(12) \quad C_1 = \frac{J \sqrt{2}}{2} \sqrt{2} \sin \left(\frac{2 \pi t}{T} - \frac{\pi}{4} \right) = J \sin \left(\frac{2 \pi t}{T} - \frac{\pi}{4} \right)$$

$$(13) \quad C_2 = J \sin \left(\frac{2 \pi t}{T} + \frac{\pi}{4} \right)$$

Эффективная сила тока въ обмоткѣ равна:

$$\frac{J}{\sqrt{2}}$$

Пусть будетъ I нормальная величина всего постоянного тока, который могла бы дать динамо; по обмоткѣ пройдетъ токъ $\frac{I}{2}$; если, хотятъ, чтобы потеря въ уаттахъ въ проволокахъ арматуры, а также, слѣдовательно, производимое нагрѣваніе были одинаковыми какъ при постоянномъ токѣ, такъ и при двухфазномъ, то необходимо имѣть:

$$\frac{J}{\sqrt{2}} = \frac{I}{2}$$

или:

$$(14) \quad J = \frac{I}{\sqrt{2}} = 0,7 I$$

Слѣдовательно, если имѣемъ динамо постоянного тока, дающую E_m вольтовъ и I амперовъ, *арматура которой имѣетъ лишь слабую самоиндукцію, могущую быть уравновѣщенной возбужденіемъ*, то такая динамо можетъ дать два тока, отодвинутые на $\frac{1}{4}$ періода и имѣющіе каждый напряженіе:

$$E = 0,7 E_m$$

и силу:

$$J = 0,7 I.$$

Иначе говоря, чтобы сдѣлать, въ случаѣ аналогичномъ выбранному нами примѣру, расчетъ генератора, способнаго дать два тока, отодвинутыхъ на $\frac{1}{4}$ періода, напряженія E и силы J , можно взамѣнъ вычислить динамо постояннаго тока напряженія $E \sqrt{2}$ и силы $J \sqrt{2}$.

Если токъ для возбужденія собирается на обыкновенномъ коллекторѣ динамо, то онъ будетъ имѣть напряженіе $E \sqrt{2} = 1,41 E$.

Кромѣ того, если цѣпи работы представляютъ собою простыя сопротивленія безъ самоиндукціи, то мощность динамо будетъ одинакова для обоихъ случаевъ, такъ какъ имѣемъ:

$$2 E J = 2 \frac{E_m}{\sqrt{2}} \times \frac{I}{\sqrt{2}} = E_m I$$

Когда динамо работаетъ, то воздѣйствіе арматуры отодвигаетъ поле по направленію вращенія; ось этого поля, также какъ и нейтральная линія оказываются перемѣщенными по тому же направленію, вслѣдствіе чего діаграммы (рис. 24) должны быть отодвинуты вправо на соответствующую величину.

Уравненіе (12) показываетъ, что абсолютная величина тока въ какой-либо секціи будетъ наибольшей, когда ось OZ разсматриваемой секціи совпадаетъ съ линіей полюсовъ NS . (Воздѣйствіе арматуры отодвинетъ линію NS по направленію вращенія); этотъ максимумъ тока равенъ средней эффективной каждому изъ двухъ токовъ.

Динамо постояннаго тока мало пригодны для полученія высокихъ напряженій. Электровозбудительная сила двухфазнаго тока значительно меньше электровозбудительной силы постояннаго тока, который можетъ дать та же

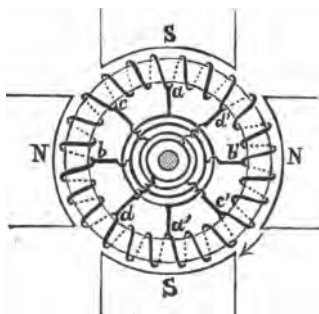
динамо; такого рода машина не может производить непосредственно токовъ высокаго напряженія.

Вслѣдствіе этого возлѣ такого генератора помѣщаютъ трансформаторъ для подъема напряженія; первичная обмотка трансформатора, получающая отъ динамо два тока, состоитъ изъ двухъ совершенно отдѣльныхъ катушекъ, изъ которыхъ каждая соединена посредствомъ двухъ проволокъ съ одною парю щетокъ.

Необходимо, слѣдовательно, четыре проволоки для соединенія генератора съ трансформаторомъ. Что же касается вторичныхъ катушекъ (высокаго напряженія), то онѣ могутъ имѣть одинъ конецъ общимъ и, такимъ образомъ, линія будетъ состоять только изъ трехъ проводовъ.

Мы взяли для примѣра двухъполюсную динамо; въ этомъ случаѣ число періодовъ въ секунду равно числу оборотовъ armатуры въ продолженіи того же времени; число перемѣнъ тока незначительно, что вызываетъ увеличеніе размѣровъ трансформаторовъ, а слѣдовательно увеличиваетъ и ихъ стоимость. Во избѣжаніе этого строятъ динамо съ большимъ числомъ полюсовъ: съ 4, 6, 8, $2n$ полюсами.

Въ динамо съ четырьмя полюсами, на примѣръ, соединяютъ съ одной парю колець точки aa' и bb' обмотки, расположенныя на концахъ взаимно перпендикулярныхъ діаметровъ, а другую пару колець съ четырьмя точками cc' , dd' , находящимися на концахъ другихъ двухъ діаметровъ, которые составляютъ съ первыми уголъ въ 45 градусовъ. Если динамо самовозбуждающаяся, то въ ней долженъ быть оставленъ ея коллекторъ и его обыкновенныя соединенія съ armатурой.



фиг. 26.

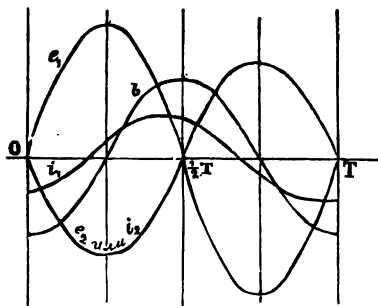
Желаніе воспользоваться для передачи электрической энергіи существующими установками освѣщенія посред-

ствомъ однофазнаго тока, а также крайняя простота смѣшанныхъ установокъ для освѣщенія и для передачи энергии посредствомъ однофазныхъ токовъ, были причиною, заставившею искать возможности преобразовывать обыкновенные переменные токи въ двухфазные.

Такое преобразование переменнаго тока въ двухфазный можетъ быть получено (Феррарисъ, Тесла) соединеніемъ одной изъ индуктирующихъ цѣпей двигателя со вторичною цѣпью трансформатора съ очень слабою нагрузкою, причемъ эта вторичная цѣпь трансформатора должна быть соединена поослѣдовательно со второю индуктирующею цѣпью.

Извѣстно, въ самомъ дѣлѣ, что въ трансформаторѣ при полной нагрузкѣ, если вторичная цѣпь замкнута сопротивленіемъ безъ индукціи, то первичный токъ имѣетъ почти ту же фазу, какъ и первичное напряженіе и находится отодвинутымъ по отношенію ко вторичному току на 180° .

При самой незначительной нагрузкѣ вторичной цѣпи, если только магнитная цѣпь трансформатора не имѣетъ гистерезиса и въ ней не образуется токовъ Фуко, первичный токъ будетъ запаздывать, по отношенію къ первичному напряженію, на величину близкую къ $\frac{1}{4}$ періода.



фиг. 27.

На рис. 27 e_1 означаетъ напряженіе у зажимовъ первичной цѣпи, b магнитную индукцію, i_1 первичный токъ при незначительной нагрузкѣ вторичнаго; e_2 или i_2 вторичные напряженіе или токъ.

Если, такимъ образомъ, соединимъ послѣдовательно одну изъ индуктирую-

щихъ цѣпей двигателя съ первичной цѣпью такого трансформатора, причемъ другая индуктирующая цѣпь будетъ

питаться вторичнымъ токомъ, то можно получить два тока, представляющіе разность фазъ близкую къ $\frac{1}{4}$ періода, но при условіи, чтобы работоспособность трансформатора была значительно больше его нагрузки и чтобы самоиндукціи двухъ индуктирующихъ цѣпей двигателя имѣли соотвѣтствующія величины.

Въ дѣйствительности гистерезисъ и токи Фуко, образующіеся въ сердечникѣ трансформатора, уменьшаютъ запазданіе фазы первичнаго тока относительно первичнаго напряженія. Этотъ уголъ отодвинутія имѣетъ только около 40° въ разомкнутой цѣпи. Кромѣ того, колебанія проницаемости сердечника и плотности магнитной индукціи измѣняютъ при слабой нагрузкѣ форму кривой первичнаго тока. Если, слѣдовательно, хотятъ получить между двумя токами разность фазъ въ 90° , то цѣпь, соединенная послѣдовательно съ первичнымъ токомъ трансформатора, должна имѣть большую самоиндукцію, а цѣпь, питаемая вторичнымъ токомъ, — очень слабую самоиндукцію.

Употребленіе трансформатора, дѣйствующаго при слабой нагрузкѣ, увеличиваетъ значительно стоимость установки и кромѣ того на много уменьшаетъ отдачу двигателя.

Другой способъ, предложенный Тесла, состоитъ въ томъ чтобы одной изъ индуктирующихъ цѣпей дать на сколько только возможно меньшую самоиндукцію, а другой цѣпи очень большую самоиндукцію; затѣмъ, эти двѣ цѣпи соединяются параллельно съ однофазною цѣпью.

Пусть будетъ R_1 , L_1 сопротивление и коэффициентъ самоиндукціи первой цѣпи и $2\pi\varphi_1$ уголъ отодвинутія тока I_1 (средняя эффективная) относительно напряженія E у зажимовъ двигателя; R_2 , L_2 , I_2 , $2\pi\varphi_2$ соотвѣтствующія количества для второй цѣпи и n число перемѣнъ тока. Имѣемъ:

$$tg\ 2\pi\varphi_1 = 2\pi n \frac{L_1}{R_1}$$

$$t g 2 \pi \varphi_2 = 2 \pi n \frac{L_2}{R_2}$$

Разность фазъ между двумя токами равна:

$$2 \pi \psi = 2 \pi \varphi_2 - 2 \pi \varphi_1$$

Возможный максимумъ $2 \pi \varphi_2$ будетъ $\frac{\pi}{2}$; для того что-

бы $2 \pi \psi$ приблизилось къ $\frac{\pi}{2}$, необходимо имѣть:

$$2 \pi \varphi_2 = \frac{\pi}{2} \text{ или } \frac{L_2}{R_2} = \infty$$

$$2 \pi \varphi_1 = 0 \text{ или } \frac{L_1}{R_1} = 0$$

т. е., чтобы на практикѣ цѣпь (1) имѣла самый незначительный коэффициентъ самоиндукціи и очень большое сопротивленіе. Эта цѣпь будетъ состоять, слѣдовательно, изъ небольшого числа обмотокъ значительнаго сопротивленія (Тесла предложилъ употреблять для этого мельхіоровыя проволоки).

Цѣпь (2), наоборотъ, должна имѣть очень большой коэффициентъ самоиндукціи и весьма незначительное сопротивленіе; она будетъ состоять изъ большого числа обмотокъ толстой проволоки.

Практически уголъ $2 \pi \psi$ будетъ, слѣдовательно, всегда меньше 90° и тѣмъ болѣе, что уголъ $2 \pi \varphi_2$ долженъ быть значительно меньше $\frac{\pi}{2}$, если хотять, чтобы цѣпь (2) дѣйствительно усиливала работоспособность двигателя при числѣ уаттовъ у зажимовъ этой цѣпи равномъ:

$$EI_2 \cos 2 \pi \varphi_2$$

Очевидно, что введеніе большого сопротивленія въ одну изъ цѣпей оказываетъ вредное вліяніе на полезное дѣйствіе первой цѣпи. Аналогичное замѣчаніе можетъ быть сдѣлано также относительно значительнаго отодвинутія то-

ка во второй цѣпи. Отдача такого двигателя будетъ, слѣдовательно посредственной.

Этотъ способъ полученія двухфазныхъ токовъ имѣетъ еще одно важное неудобство, а именно: усиленіе тока на линіи, вслѣдствіе значительнаго отодвинутія тока во второй цѣпи.

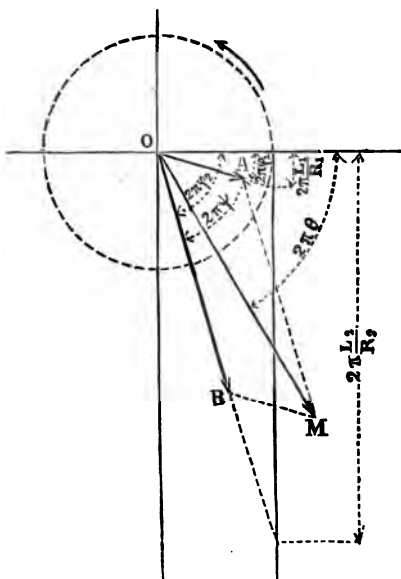
На діаграммѣ (рис. 28) ОА означаетъ максимумъ $I_1 \sqrt{2}$ тока въ первой цѣпи; $OB = I_2 \sqrt{2}$ максимумъ второго тока; ОМ максимумъ равнодѣйствующаго тока; уголъ запозданія этого тока относительно напряженія у зажимовъ двигателя равенъ $2\pi\theta$ и, вслѣдствіе этого, отдача двигателя равна:

$$E \times \frac{OM}{\sqrt{2}} \cos 2\pi\theta$$

Уголъ, представляющій разность фазъ двухъ токовъ въ двигателѣ, равенъ $2\pi\psi$.

Шалленбергеръ предложилъ третій способъ полученія вращающагося магнитнаго поля съ помощью обыкновеннаго перемѣннаго тока. Для этой цѣли онъ пропускаетъ перемѣнный токъ по неподвижной катушкѣ АА' и располагаетъ вторую неподвижную катушку ВВ', меньшихъ размѣровъ и замкнутую на себя, такимъ образомъ, чтобы плоскость этой второй катушки составляла съ плоскостью первой уголъ въ 45° .

Обозначимъ чрезъ М коэффициентъ взаимной индукціи двухъ катушекъ и чрезъ i мгновенный токъ въ первой

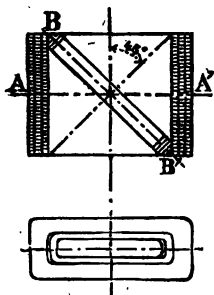


фиг. 28.

катушкѣ, тогда индукціонная электровозбудительная сила во второй катушкѣ будетъ:

$$e' = - M \frac{di}{dt}$$

Это уравненіе показываетъ, что индукціонная электровозбудительная сила въ BB' запаздываетъ на $1/4$ періода относительно индуктирующаго тока i . Вслѣдствіе самоиндукціи токъ i' катушки BB' также запаздываетъ относительно электровозбудительной силы e' на уголъ, заключающійся между 0 и 90° .



фиг. 29.

Разность фазъ i и i' заключается, слѣдовательно, между 90 и 180° . Эти два тока производятъ вращающееся магнитное поле.

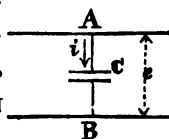
Шалленбергеръ примѣнилъ приведенный принципъ къ своему счетчику для переменнаго тока. Съ этою цѣлью онъ помѣщаетъ внутри двухъ катушекъ желѣзный дискъ (желѣзо служитъ для увеличенія напряженія поля), прикрепленный къ оси, расположенной по направленію пересѣченія среднихъ плоскостей катушекъ AA' , BB' . Эта ось приходитъ во вращеніе, которое регулируется колесомъ съ лопаточками, вращающимися въ воздухѣ. Число оборотовъ диска отмѣчается на циферблатѣ.

Такого рода двигатель состоитъ, слѣдовательно, изъ неподвижной индуктирующей цѣпи, неподвижнаго индукціоннаго органа и подвижной индукціонной цѣпи.

Мы упомянули о трехъ изложенныхъ способахъ въ виду только ихъ историческаго интереса. Теперь опишемъ четвертый способъ, позволяющій раздѣлять обыкновенный переменный токъ на два тока съ различными фазами, что достигается употребленіемъ конденсаторовъ, приборовъ,

служившихъ основаніемъ Гутену и Леблану въ ихъ системѣ передачи электрической энергіи посредствомъ переменныхъ токовъ.

Разсмотримъ конденсаторъ, имѣющій емкость C и проводимость K . Этотъ конденсаторъ соединенъ непосредственно съ двумя проводниками A , B , между которыми существуетъ переменное напряженіе вида:



фиг. 30.

$$(1) \quad e = E_m \sin \frac{2\pi t}{T} = E_m \sin mt$$

Пусть будетъ i токъ въ отвѣтвленіи конденсатора въ моментъ t ; будемъ имѣть очевидно:

$$(2) \quad idt = K edt + C de$$

или:

$$(3) \quad i = ke + C \frac{de}{dt} = K E_m \sin mt + C E_m m \cos mt$$

Положимъ:

$$(4) \quad \frac{C m}{K} = t g m \varphi$$

Будемъ имѣть:

$$(5) \quad i = E_m \sqrt{K^2 + C^2 m^2} \sin (mt + m\varphi)$$

Пусть будетъ E эффективное напряженіе, равное $\frac{E_m}{\sqrt{2}}$

Средняя мощность, теряемая въ конденсаторѣ будетъ:

$$w = KE^2$$

Потеря въ уаттахъ для данного конденсатора пропорциональна, слѣдовательно, его проводимости съ одной стороны и квадрату напряженія у его зажимовъ—съ другой стороны. Необходимо, очевидно, довести количество KE^2 до минимума и это не только во избѣжаніе потери энергіи, но еще и потому, что эта энергія, проявляясь въ ви-

дѣ теплоты, можетъ разрушить конденсаторъ. Если напряженіе дано, то единственнымъ множителемъ, на который можно дѣйствовать, остается проводимость конденсатора. Нужно, слѣдовательно, чтобы проводимость употребляемаго въ такихъ случаяхъ конденсатора была практически равна нулю.

Въ виду этого мы допустимъ въ слѣдующихъ разсужденіяхъ, что

$$(6) \quad K = 0$$

Тогда изъ уравненія (4) получимъ:

$$m\varphi = \frac{\pi}{2}$$

и (5) обратится въ:

$$(7) \quad i = C m E \sqrt{2} \sin \left(m t + \frac{\pi}{2} \right) = C m E \sqrt{2} \cos m t$$

Фаза тока i находится, слѣдовательно, впереди на $1/4$ періода относительно напряженія e у зажимовъ конденсатора.

Средняя эффективная тока въ отвѣтвленіи конденсатора будетъ:

$$(8) \quad I = C m E = C \times 2\pi n E = \frac{E}{\left(\frac{1}{C \times 2\pi n} \right)}$$

n обозначаетъ число перемѣнъ тока.

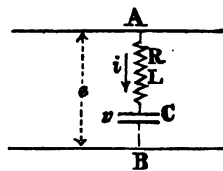
Слѣдовательно, что касается силы тока въ ответвленіи, то конденсаторъ равносильнъ цѣпи, проводимость которой равна $C \times 2\pi n$ или сопротивление которой равно

$$\frac{1}{C \times 2\pi n}$$

Если C выражено въ фарадахъ и E въ вольтахъ, то I будетъ означать амперы.

Разсмотримъ теперь цѣпь, имѣющую сопротивление R и коэффициентъ самоиндукціи L . Предположимъ, что эта

цѣпь соединена послѣдовательно съ конденсаторомъ емкости C , установленнымъ между проводниками A и B , у зажимовъ которыхъ существуетъ переменное напряжение e , средняя эффективная котораго равна E . Пусть будетъ v напряжение въ моментъ времени t между арматурами конденсатора, i токъ въ цѣпи AC и n число перемѣнъ тока въ проводникахъ A, B .



фиг. 31.

Возьмемъ за начало времени моментъ, когда токъ i равенъ нулю; назовемъ чрезъ I среднюю эффективную этого тока, будемъ имѣть:

$$(1) \quad e = Ri + L \frac{di}{dt} + v$$

$$(2) \quad dv = \frac{idt}{C}$$

Откуда:

$$(3) \quad v = \frac{1}{C} \int idt$$

Или, положивъ:

$$(4) \quad i = (I \sqrt{2}) \sin mt$$

$$v = - \frac{I \sqrt{2}}{mC} \cos mt$$

Вслѣдствіе чего уравненіе (1) обратится въ:

$$(5) \quad e = R(I \sqrt{2}) \sin mt + \left(mL - \frac{1}{mC} \right) I \sqrt{2} \cos mt$$

Если положимъ:

$$(6) \quad \frac{mL - \frac{1}{mC}}{R} = \operatorname{tg} m\varphi$$

то будемъ имѣть:

$$(7) \quad e = (I \sqrt{2}) \sqrt{\left(mL - \frac{1}{mC}\right)^2 + R^2} \sin(mt + m\varphi)$$

и

$$(8) \quad E = I \sqrt{\left(mL - \frac{1}{mC}\right)^2 + R^2} \\ = \frac{I}{mC} \sqrt{(m^2 CL - 1)^2 + m^2 C^2 R^2}$$

Уголъ $m\varphi$ представляетъ разность фазъ напряженія e и тока i . Эффективная сила этого тока равна:

$$(9) \quad I = \frac{E}{\sqrt{\left(mL - \frac{1}{mC}\right)^2 + R^2}}$$

Если V средняя эффективная v , то будемъ имѣть:

$$(10) \quad V = \frac{I}{mC}$$

Уравненіе (8) обратится въ:

$$(11) \quad E = V \sqrt{(m^2 CL - 1)^2 + m^2 C^2 R^2}$$

Вслѣдствіе чего эффективное напряженіе конденсатора будетъ:

$$(12) \quad V = \frac{E}{\sqrt{(m^2 CL - 1)^2 + m^2 C^2 R^2}}$$

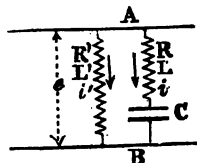
Уравненія (4) и (7) показываютъ, что фаза тока i въ отвѣтвленіи конденсатора запаздываетъ или находится впереди относительно напряженія e , смотря по тому, бу-

детъ ли выраженіе $\frac{mL - \frac{1}{mC}}{R}$ положительнымъ или отрицательнымъ.

Абсолютная величина возможного максимума этого угла равна $\frac{\pi}{2}$.

Если мы установимъ между проволоками А, В вторую цѣпь, сопротивление которой R' и коэффициентъ самоиндукціи L' , и эта цѣпь будетъ представлять собою вторую индуктирующую обмотку двигателя, то фаза тока i' въ этомъ проводникѣ будетъ запаздывать относительно фазы e на уголъ $m\varphi'$, опредѣляемый уравненіемъ:

$$\operatorname{tg} m\varphi' = \frac{mL'}{R'}$$



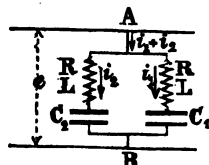
фиг. 32.

и уголъ отодвинутія двухъ токовъ i и i' будетъ:

$$m\varphi + m\varphi'.$$

Такъ какъ углы $m\varphi$ и $m\varphi'$ могутъ измѣняться каждый отъ 0 до $\frac{\pi}{2}$, то, выбравъ надлежащія величины для коэффициентовъ R , L , C , R' , L' , можно сдѣлать сумму этихъ угловъ равной $\frac{\pi}{2}$.

Можно также взять двѣ совершенно одинаковыя цѣпи и ввести въ нихъ два конденсатора, емкости которыхъ C_1 и C_2 , вычислены такимъ образомъ, что фаза одного изъ токовъ i_1 находится впереди на $\frac{\pi}{4}$, а фаза другого тока i_2 запаздываетъ на $\frac{\pi}{4}$ относительно напряженія e .



фиг. 33.

Отодвинутія e относительно i_1 и i_2 опредѣлятся, слѣдовательно, отношеніями:

$$(13) \quad \frac{mL - \frac{1}{mC_1}}{R} = -1$$

$$(14) \quad \frac{mL - \frac{1}{mC_2}}{R} = 1$$

Откуда получаемъ:

$$(15) \quad C_1 = \frac{1}{m(mL + R)}$$

$$(16) \quad C_2 = \frac{1}{m(mL - R)}$$

Такъ какъ C_2 должно быть положительнымъ, то
 $mL > R$.

Уравненіе (9) совместно съ уравненіями (13) и (14) показываетъ, что эффективная сила тока въ двухъ цѣпяхъ одинакова и равна:

$$(17) \quad I = \frac{E}{R\sqrt{2}}$$

Будемъ теперь считать начало времени съ момента, когда $e = 0$. Токи i_1 и i_2 выразятся равенствами:

$$(18) \quad \begin{cases} i_1 = \frac{E}{R} \sin \left(mt + \frac{\pi}{4} \right) \\ i_2 = \frac{E}{R} \sin \left(mt - \frac{\pi}{4} \right) \end{cases}$$

Мощность каждаго тока будетъ:

$$(19) \quad \frac{W}{2} = E \times \frac{E}{R\sqrt{2}} \times \cos \frac{\pi}{4} = \frac{E^2}{2R} = EI \frac{\sqrt{2}}{2}$$

Весь токъ въ отвѣтвленіи будетъ:

$$(20) \quad i_1 + i_2 = \frac{E}{R} \sqrt{2} \sin mt$$

Его фаза совпадаетъ съ фазою напряженія e , средняя эффективная тока равна:

$$(21) \quad J = \frac{E}{R} = I\sqrt{2}$$

Вся мощность, доставляемая къ зажимамъ двигателя, будетъ:

$$(22) \quad W = \frac{E^2}{R} = EJ$$

это уравненіе даетъ также сопротивленіе каждой индуктирующей цѣпи.

Такъ какъ весь токъ въ отвѣтвленіи АВ не имѣетъ отодвинутія относительно напряженія, то токъ линіи будетъ тотъ же самый, какъ и въ двигательъ съ постояннымъ токомъ, что составляетъ преимущество приведеннаго способа, важное при канализаціи.

При этомъ способѣ два отдѣльные тока въ индуктирующихъ обмоткахъ будутъ больше постоянныхъ токовъ того же напряженія и той же мощности въ отношеніи

$\sqrt{2} : 1$.

Пусть будетъ, на примѣръ, двухфазный двигатель, питаемый однофазнымъ токомъ въ 100 вольтовъ и требующій 10 килоуаттовъ при полной нагрузкѣ. Токъ въ отвѣтвленіи, идущемъ къ двигателю, будетъ имѣть 100 амперовъ и токъ въ каждой изъ обмотокъ около 70 амперовъ.

Возвратимся къ уравненіямъ (13) и (14). R опредѣляется изъ уравненія (22); L есть функція нагрузки двигателя; оно уменьшается по мѣрѣ того, какъ работоспособность двигателя увеличивается.

Вычисляютъ C_1 и C_2 для величины L, соотвѣтствующихъ, на примѣръ, полной нагрузкѣ, тогда разность фазъ токовъ i_1 и i_2 будетъ измѣняться вмѣстѣ съ нагрузкою двигателя.



ТРЕТЬЯ ЧАСТЬ.

Теорія и вычисленіе двигателей съ вращающимся полемъ.

ГЛАВА V.

Двигатели синхроничные и асинхроничные *).

Мы указали въ первой части этого сочиненія на раздѣленіе многофазныхъ двигателей на двѣ категоріи:

1. Многофазные двигатели синхроничные;
2. Многофазные двигатели асинхроничные.

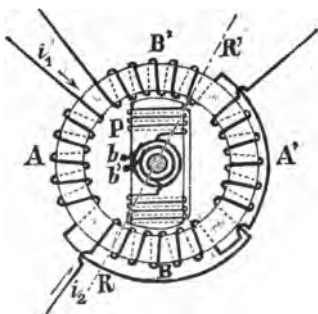
Синхроничные двигатели съ вращающимся полемъ.

Угловая скорость этихъ двигателей не зависитъ отъ степени ихъ нагрузки; она находится въ зависимости исключительно отъ числа перемѣнъ токовъ, питающихъ двигатели.

Въ такого рода двигателяхъ часть магнитной цѣпи, по которой не проходитъ многофазный токъ, устроена такимъ образомъ, что при ея угловомъ запозданіи относительно вращающагося поля, превышающемъ извѣстный предѣлъ, вращающая пара становится значительно больше своей нормальной величины и, вслѣдствіе этого, стремится при-

*) Т. е. несинхроничные.

вести двигатель къ синхронизму. Приспособленіе обыкновенно употребляемое для этой цѣли состоитъ въ томъ, что означенную часть магнитной цѣпи снабжаютъ выступами или полюсами, снабженными обмоткой, замкнутой на себя или же питаемой постояннымъ токомъ такимъ образомъ, чтобы въ каждомъ выступѣ этой части цѣпи при нормальномъ ходѣ двигателя была постоянная полярность. На фиг. 34 представлена схема двухфазнаго синхроннаго двигателя Тесла. Индукторъ этого двигателя состоитъ изъ кольца съ 4 обмотками, занимающими каждая одну четверть окружности. Обмотки А, А'



фиг. 34.

на концахъ одного изъ діаметровъ соединены между собою послѣдовательно и по нимъ проходитъ токъ $i_1 = J \sin mt$; обмотки В, В' также соединены послѣдовательно и по нимъ проходитъ токъ $i_2 = -J \cos mt$. Такимъ образомъ получаютъ магнитное поле, направленное по діаметру и вращающееся въ сторону обратную движенію часовыхъ стрѣлокъ.

Внутри этого кольца помѣщенъ электромагнитъ, концы обмотки котораго упираются въ два металлическихъ изолированныхъ кольца, соприкасающіяся съ двумя щетками bb' . При пусканіи въ ходъ двигателя, обмотка электромагнита замыкается сама на себя или же посредствомъ введенія въ нее надлежащаго сопротивленія, соединеннаго со щетками bb' .

Разсмотримъ электромагнитъ въ положеніи, указанномъ на рисункѣ. Его обмотка замкнута однимъ изъ способовъ, означенныхъ выше. При $t = 0$, обмотка индуктора стремится образовать сѣверный полюсъ въ А' и южный въ А. Такъ какъ поле вращается по направленію А'В'АВ, то линіи силъ пронизываютъ сердечникъ Р по направленію

В'В; вслѣдствіе этого, въ обмоткѣ Р появляется токъ, который стремится уменьшить силу поля и отодвинуть послѣднее назадъ. Изъ этого слѣдуетъ, что время, въ продолженіи котораго полюсъ приближается къ электромагниту, т. е. когда кольцо притягиваетъ къ себѣ этотъ послѣдній, будетъ меньше времени, въ продолженіи котораго полюсъ удаляется отъ магнита, притягивая его къ себѣ. Кромѣ того, когда полюсъ приближается къ арматурѣ, воздѣйствіе обмотки этой послѣдней стремится разсѣять въ воздухѣ линіи силъ, порождаемыя индукторомъ, что также ослабляетъ пару, дѣйствующую на арматуру по направлению обратному движенію полюсовъ индуктора, т. е. движенію самой арматуры. Наоборотъ, когда полюсы кольца индуктора удаляются отъ электромагнита, то воздѣйствіе обмотки этого послѣдняго препятствуетъ уменьшенію силы магнитнаго поля, что усиливаетъ двигающую пару; слѣдовательно, двигатель будетъ стремиться придти въ движеніе автоматически.

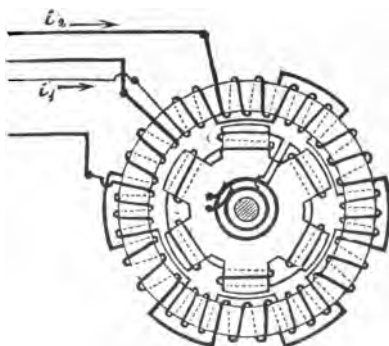
Если пара сопротивленія не слишкомъ значительна, то движеніе двигателя будетъ ускоряться и достигнетъ скорости движенія полюсовъ индуктора; эти послѣдніе будутъ впереди полюсовъ арматуры на величину, находящуюся въ зависимости отъ величины пары сопротивленія. Разъ синхронизмъ достигнутъ, то, въ случаѣ увеличенія по какой либо причинѣ запозданія арматуры относительно индуктирующаго поля, обмотка арматуры будетъ стремиться увеличить силу поля, а слѣдовательно и двигающую пару. Если пара сопротивленія увеличится на постоянную величину, то и полюсы индуктора опережать полюсы арматуры настолько, чтобы наклоненіе линій силъ въ междужелѣзномъ пространствѣ соотвѣтствовало потребной двигающей парѣ.

Означимъ чрезъ n число перемѣнъ тока или число періодовъ въ секунду каждаго изъ двухъ токовъ. Слѣдовательно, двигатель, устроенный согласно схемѣ (фиг. 34), будетъ дѣлать n оборотовъ въ секунду. Если, на примѣръ,

$n = 50$, то двигатель будет дѣлать $50 \times 60 = 3000$ оборотовъ въ минуту. Эта скорость чрезчуръ велика, если только не употреблять двигателей съ очень незначительною работоспособностью.

Удобнѣе строить двигатель, могущій дѣлать $\frac{n}{K}$ оборотовъ въ секунду. Для достиженія этого снабдимъ кольцеобразный индукторъ $4K$ обмотокъ, 1, 2, 3, 4, 5... ($4K - 1$), $4K$, занимающихъ каждая $\left(\frac{1}{4K}\right)$ окружности; обмотки нечетнаго порядка 1, 3, 5... ($4K - 1$) составятъ одинъ рядъ, питаемый однимъ изъ токовъ $i_1 = J \sin mt$; обмотки четнаго порядка 2, 4... $4K$ составятъ другой рядъ, питаемый токомъ $i_2 = -J \cos mt$. Обмотки каждого ряда сдѣланы попеременно то въ одну, то въ другую сторону и соединены между собою послѣдовательно, какъ это указано на фиг. 35, т. е. конецъ одной обмотки соединенъ съ началомъ другой того же ряда. Обмотки кольца произведутъ въ сердечникѣ $2K$ полюсовъ попеременно сѣверныхъ и южныхъ. Арматура снабжена $2K$ полярными выступами, имѣющими обмотки, расположенныя также, какъ и на индукторѣ.

Легко видѣть, что въ промежутокъ одного періода каждый индуктирующій полюсъ перемѣстится на величину, соответствующую четыремъ обмоткамъ, т. е. на $\left(\frac{1}{K}\right)$ окружности; то же самое будетъ и относительно арматуры при ея нормальномъ движеніи, такъ какъ она вращается синхронно съ полями, производимыми многофазнымъ токомъ; подвижная часть двигателя будетъ дѣлать,

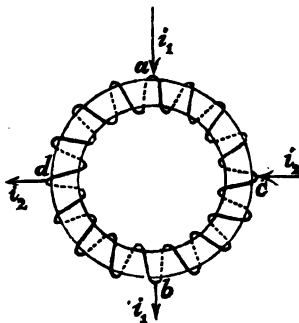


фиг. 35.

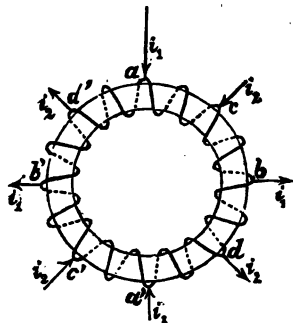
слѣдовательно, $\frac{n}{K}$ оборотовъ въ секунду. На фиг. 35 изображена схема двигателя съ 6 вращающимися полюсами; при $n = 50$ этотъ двигатель будетъ дѣлать, слѣдовательно, $\frac{50}{3} \times 60 = 1000$ оборотовъ въ минуту.

Такимъ образомъ, двигатель подобнаго рода, дѣйствующій посредствомъ тока, число перемѣнъ котораго n , можетъ имѣть угловою скоростью (число оборотовъ въ секунду) только величины n , $\frac{n}{2}$, $\frac{n}{3}$, выражающія частное отъ дѣленія числа перемѣнъ тока на какое нибудь цѣлое число.

Двигатель Газельвандера снабженъ непрерывною обмоткою, какъ на кольцѣ Грамма, по которой проходитъ многофазный токъ. Въ случаѣ тока двухфазнаго одинъ изъ токовъ i_1 вступаетъ въ обмотку съ двухъ точекъ a , b на концахъ одного діаметра, а токъ i_2 съ двухъ точекъ c , d на концахъ другого діаметра, перпендикулярнаго къ первому.



фиг. 36.

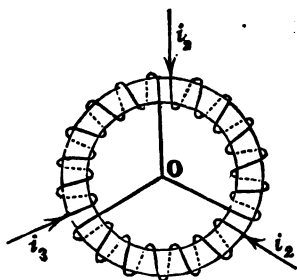


фиг. 37.

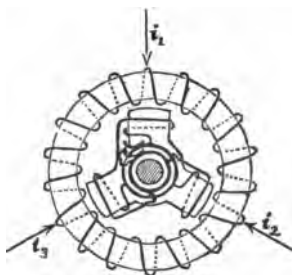
Мы видѣли еще раньше, что такая установка для провода двухфазнаго тока требуетъ 4 проволоки, тогда какъ въ предшествующемъ примѣрѣ число проволокъ можетъ быть доведено до трехъ.

Для того, чтобы уменьшить угловую скорость двигателя, можно еще болѣе увеличить число полюсовъ, порождаемыхъ въ кольцѣ. Если, напримѣръ, хотятъ, чтобы двигатель дѣлалъ $\frac{n}{2}$ оборотовъ въ секунду, то соединяють одну изъ проволокъ, проводящихъ токъ i_1 , съ двумя точками aa' кольца, находящимися на разстояніи полуокружности другъ отъ друга, а вторую проволоку i_1 съ двумя точками bb' , расположенными на концахъ діаметра, перпендикулярнаго къ aa' ; каждая проволока, проводящая токъ i_2 , соединяется соотвѣтственно съ токами cc' , dd' , находящимися попарно на разстояніи $\frac{1}{8}$ окружности отъ первыхъ четырехъ точекъ aa' bb' . Такимъ образомъ, получается четыре полюса, которые пробѣгаютъ полуокружность въ промежутокъ одного періода.

На фиг. 38 и 39 изображены схемы двигателей, аналогичныхъ описаннымъ, но устроенныхъ для трехфазныхъ токовъ. Арматура можетъ имѣть два полюса, но предпочтительнѣе, чтобы ихъ было три.



фиг. 38.



фиг. 39.

Если три тока представляютъ попарно разность фазъ въ $\frac{1}{3}$ періода, то концы трехъ обмотокъ (фиг. 38) могутъ быть соединены вмѣстѣ и тогда получится соединеніе звѣздочкой. Въ случаѣ же, указанномъ на фиг. 39, достаточно соединить три проволоки линіи съ тремя точками обмотки, отстоящими другъ отъ друга на $\frac{1}{3}$ окружности; это бу-

деть соединеніе треугольникомъ или закрытое соединеніе.

Уменьшеніе угловой скорости въ случаѣ трехфазнаго тока достигается тѣмъ же путемъ, который былъ указанъ нами для двухфазныхъ двигателей, т. е. увеличеніемъ числа полюсовъ кольца.

Мы упомянемъ здѣсь о двухфазномъ двигателѣ Шукерта, уже испытанномъ въ промышленныхъ примѣненіяхъ электричества. Этотъ двигатель соотвѣтствуетъ схемамъ фиг. 23 и 26; его арматура неподвижна и находится внѣ кольца, получающаго двухфазный токъ. Такого рода двигатель есть ничто иное, какъ обыкновенная динамо Шукерта съ плоскимъ кольцомъ, вращающимся между рядомъ паръ электромагнитовъ, расположенныхъ на двухъ вѣнцахъ съ одной и съ другой стороны кольца; полюсы, находящіеся другъ противъ друга, одноименны; эти пары полюсовъ попеременно сѣверные и южные. Ось динамо продолжена и снабжена четырьмя металлическими кольцами, изолированными другъ отъ друга и соединенными каждое съ однимъ рядомъ точекъ обмотки кольца машины, равноотстоящихъ одна отъ другой, какъ это было указано нами выше (см. также фиг. 26).

Съ каждымъ изъ этихъ колецъ соприкасается щетка, соединенная съ одной изъ проволокъ, проводящихъ токъ. Эти проволоки идутъ непосредственно отъ подобнаго же генератора или, что чаще, они соединяются съ четырьмя концами двухъ вторичныхъ независимыхъ обмотокъ трансформатора, какъ это было уже объяснено нами во второй части этого труда.

Мы также указали, что увеличеніе числа индуктирующихъ полюсовъ генератора имѣетъ отчасти цѣлью привести число перемѣнъ тока къ величинѣ удобной для установки трансформаторовъ.

Въ двигателяхъ слабой и средней работоспособности концы обмотокъ электромагнитовъ упираются въ двѣ щетки обыкновеннаго коллектора динамо; въ двигателяхъ же

значительной работоспособности возбужденіе производится посредствомъ отдѣльной машины постоянного тока.

Для того, чтобы пустить въ ходъ подобный двигатель, прерываютъ цѣпь возбужденія и пропускаютъ въ кольцо двухфазный токъ. Въ кольцѣ образуется рядъ полюсовъ (въ числѣ равномъ числу паръ электромагнитовъ), вращающихся въ пространствѣ съ постоянною скоростью. Если кольцо неподвижно, а магниты подвижны, то эти послѣдніе, увлекаемые движеніемъ полюсовъ, будутъ вращаться вокругъ оси машины въ ту же сторону, какъ и полюсы, стремясь достигнуть одинаковой съ ними скорости. Такъ какъ въ рассматриваемомъ двигателѣ арматура изъ мягкаго желѣза неподвижна, то въ этомъ случаѣ придется въ движеніе кольцо въ сторону обратную движенію образующихся въ немъ полюсовъ, которые, въ свою очередь, будутъ стремиться занять положеніе противъ полярныхъ частей арматуры; при этомъ линіи силъ, образуемая кольцомъ, будутъ замыкаться цѣпью со слабымъ сопротивленіемъ, которое представляетъ собою желѣзо электромагнитовъ.

Двигатель можетъ быть пущенъ въ ходъ будучи уже нагруженнымъ; его движеніе не должно быть обязательно синхроничнымъ, но оно всегда стремится достигнуть синхронизма.

Такъ какъ вращеніе кольца происходитъ вслѣдствіе притяженія образующихся въ немъ полюсовъ къ желѣзу электромагнитовъ, то легко понять, что при одинаковыхъ размѣрахъ работоспособность двигателя можетъ быть увеличена въ значительной пропорціи, если только намагнитить желѣзо электромагнитовъ; при этомъ магнитныя поля между полюсами магнитовъ и кольцомъ пріобрѣтутъ большую напряженность, а слѣдовательно притяженіе органовъ неподвижнаго и подвижнаго также увеличится. Что касается тока, питающаго двигатель, то такое увеличеніе работоспособности послѣдняго вызываетъ, очевидно, *увеличеніе напряженія двухфазнаго тока.*

Въ двигателяхъ, работающихъ обыкновеннымъ переменнымъ токомъ намагничиваніе электромагнитовъ производится частью переменнаго тока, которая по выпрямленіи ея проходитъ по обмоткамъ электромагнитовъ; изъ этого слѣдуетъ, что магнетизмъ сердечниковъ постоянно измѣняется, вслѣдствіе чего они должны быть составлены изъ листового желѣза или изъ проволоки, но не изъ цѣльнаго желѣза; кромѣ того, гистерезисъ и токи Фуко вызываютъ нѣкоторую потерю въ работоспособности двигателя.

Если, наоборотъ, намагничиваніе электромагнитовъ производится постояннымъ токомъ, какъ въ двигателѣ Шукерта, то сердечники обходятся дешевле, такъ какъ они могутъ быть сдѣланы изъ прокованнаго желѣза или изъ чугуна; кромѣ того, въ этомъ случаѣ токъ для возбужденія можетъ быть менѣе сильнымъ, такъ какъ онъ не необходимъ только для поддержанія магнетизма сердечниковъ.

Въ двигателѣ Шукерта возбужденіе электромагнитовъ должно производиться только тогда, когда двигатель уже достигъ синхроничнаго хода. Въ самомъ дѣлѣ, если возбуждать электромагниты раньше этого, то двигатель остановится, такъ какъ притяженіе электромагнитовъ не будетъ всегда дѣйствовать по одному и тому же направленію; но стоитъ только прервать цѣпь возбужденія и двигатель тотчасъ же придетъ въ движеніе.

Очень полезно, если не необходимо, предоставить машинисту, которому порученъ надзоръ за двигателемъ, возможность непосредственно распознавать тотъ моментъ, когда двигатель вращается синхронично. Это достигается посредствомъ обыкновеннаго вольтметра безъ постоянного магнита, какъ напримѣръ вольтметръ Гуммеля, который соединяють съ концами обмотокъ электромагнитовъ. Разъ только двигатель не вращается синхронично, то линіи силъ, производимыя кольцомъ, замыкаются то въ воздухѣ, то въ желѣзныхъ сердечникахъ; вслѣдствіе этого число линій силъ, пронизывающихъ эти сердечники, постоянно измѣняется, что порождаетъ въ ихъ обмоткахъ перемен-

ную электро-возбудительную силу, указываемую вольтометромъ. Какъ только двигатель достигнетъ синхронизма, полюсы кольца будутъ постоянно противъ полюсовъ магнитовъ и число линий силъ, пронизывающихъ сердечники, не будетъ замѣтно измѣняться. Такимъ образомъ, вольтометръ при пусканіи двигателя въ ходъ покажетъ сильное отклоненіе стрѣлки, которое постепенно будетъ уменьшаться и наконецъ обратится въ нуль, когда двигатель достигнетъ синхронизма; если въ тотъ моментъ возбудить электромагниты, то вольтометръ укажетъ напряженіе тока возбудителя.

Когда электромагниты возбуждаются постояннымъ токомъ, то работоспособность двигателя увеличивается въ 4—5 разъ сравнительно съ той, которую онъ проявляетъ безъ возбужденія.

Что же касается вычисленія подобнаго рода двигателя, то мы отсылаемъ читателя къ предшествующей главѣ, въ которой разсмотрѣнъ генераторъ однороднаго съ нимъ типа.

На Франкфуртской выставкѣ 1891 г. находился самовозбуждающійся двигатель Шукерта въ 25 лошадиныхъ силъ, съ 4 парами электромагнитовъ, снабженный обыкновеннымъ коллекторомъ и четырьмя кольцами. Другой двигатель въ 50 лошадиныхъ силъ, съ 6 парами электромагнитовъ имѣлъ также только 4 кольца; его возбужденіе производилось особой маленькой динамо постоянного тока. Этотъ двигатель приводилъ въ дѣйствіе центробѣжную помпу, доставлявшую воду для искусственнаго водопада.

Если подобный двигатель снабженъ обыкновеннымъ коллекторомъ динамо постоянного тока, то его приложенія могутъ быть весьма разнообразны.

Такъ онъ можетъ служить:

1. Какъ динамо обыкновеннаго постоянного тока;
2. Какъ самовозбуждающаяся динамо переменнаго тока, дающая одинъ или два переменные тока;

3. Какъ двигатель постоянного тока;
4. Какъ двухфазный двигатель;
5. Какъ трансформаторъ двухфазнаго тока въ постоянный;
6. Какъ трансформаторъ постоянного тока въ двухфазный.

Наконецъ, онъ можетъ выполнять одновременно нѣсколько изъ этихъ функций; такъ, напримѣръ, дѣйствуя какъ трансформаторъ, онъ можетъ въ то же время производить механическую работу.

Динамо трехфазнаго тока Броуна, которую мы описали на стр. 49, можетъ также служить синхроничнымъ трехфазнымъ двигателемъ.

Этотъ двигатель приходитъ въ движеніе самостоятельно, разъ только прервать цѣпь возбужденія или замкнуть ее на себя или же замкнуть сопротивленіемъ, которое можно регулировать. Возбужденіе машины должно быть произведено только тогда, когда достигнута синхронизмъ.

Двигатели асинхроничные съ вращающимся полемъ.

Эти двигатели, какъ и обыкновенные, состоятъ изъ одной неподвижной части и другой подвижной; одна изъ этихъ частей составляетъ индукторъ, снабженный системой обмотокъ, по которымъ проходитъ многофазный токъ; другая часть составляетъ арматуру, замыкающую магнитныя цѣпи индуктора; арматура также снабжена рядомъ обмотокъ, составляющихъ одну или нѣсколько цѣпей, замкнутыхъ на себя; эти цѣпи могутъ быть отдѣлены другъ отъ друга или соединены вмѣстѣ.

Обмотки индуктора производятъ систему измѣняющихся магнитныхъ полей. Пусть будетъ A какая нибудь точка полярной поверхности этого индуктора и β плотность магнитной индукціи въ междужелѣзномъ пространствѣ въ точкѣ A и въ моментъ t . Поле въ этой точкѣ будетъ имѣть ту же величину β въ промежутки времени, равные

периодическому времени T каждого тока, составляющего многофазный токъ. Пусть будетъ B точка арматуры, находящаяся противъ A въ моментъ t . Если при нормальномъ движеніи двигателя скорость его вращенія будетъ такова, что B проходить мимо A (или обратно, если арматура неподвижна, а индукторъ подвиженъ) въ промежутки времени, равные периодическому времени T или числу кратному T (смотри по конструкціи двигателя), то говорятъ, что двигатель *синхроничный* или что онъ вращается *синхронично съ генераторомъ*, въ противномъ случаѣ двигатель будетъ *асинхроничнымъ*.

Въ многофазныхъ асинхроничныхъ двигателяхъ магнитныя поля, производимыя индукторомъ, порождаютъ въ системѣ замкнутыхъ обмотокъ арматуры токи, которые своимъ воздѣйствіемъ на магнитныя поля производятъ вращающую пару, которая и приводитъ въ движеніе подвижную часть машины.

Пара эта получается только тогда, когда на примѣрѣ арматура, при подвижности этой послѣдней, вращается съ меньшей скоростью чѣмъ та, которая соотвѣтствуетъ синхронизму. Такимъ образомъ, чтобы получить вращающую пару въ приведенномъ нами примѣрѣ необходимо, чтобы точка B , находящаяся противъ A въ моментъ t , не достигала еще A въ промежутокъ времени, равный періоду (или величинѣ кратной періоду, смотря по конструкціи двигателя). Это запозданіе B относительно A постоянно увеличивается, вслѣдствіе чего въ то-же время усиливается вращающая пара. Запозданіе будетъ равно нулю, когда двигатель вращается синхронично съ генераторомъ.

Слѣдовательно, подобнаго рода двигатель можетъ достигнуть приблизительно синхронизма только тогда, когда онъ совершенно не нагруженъ; по мѣрѣ того, какъ пара сопротивленія увеличивается, скорость двигателя уменьшается.

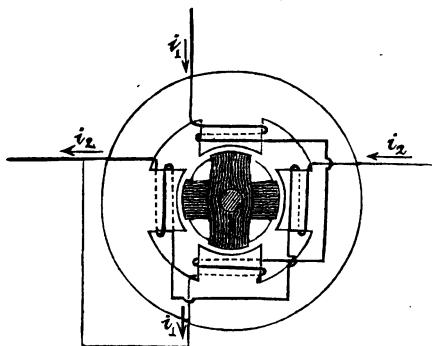
Въ синхроничныхъ двигателяхъ, какъ это мы указали раньше, сердечникъ арматуры имѣетъ выступы; тогда какъ въ асинхроничныхъ двигателяхъ этотъ сердечникъ напоми-

няетъ свою форму тѣло вращенія, вследствие чего сопротивление различныхъ магнитныхъ цепей остается почти постояннымъ при всякомъ положеніи armатуры относительно индуктора.

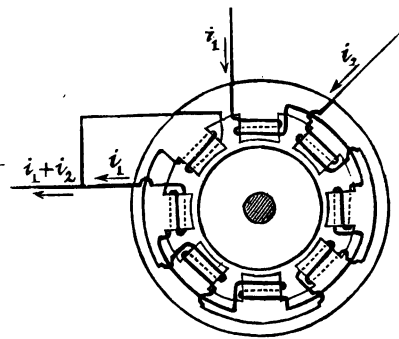
Въ первой части этого труда (рис. 8) мы уже изложили принципъ двигателя подобнаго типа самой простѣйшей конструкціи.

Въ небольшомъ двигателѣ Феррариса двѣ неподвижныя обмотки расположены подъ прямымъ угломъ и получаютъ два тока, отодвинутые на $\frac{1}{4}$ періода. Внутри этихъ обмотокъ помѣщенъ пустой мѣдный цилиндръ, закрытый со своихъ концовъ и вращающійся вокругъ двухъ стержней, составляющихъ продолженіе оси цилиндра.

Индукторъ асинхроничнаго двигателя Тесла съ вращающимся полемъ (рис. 40) представляетъ собою кольцо изъ листового желѣза, внутри котораго сдѣланы полюсные выступы, между которыми вращается цилиндрическая ар-



фиг. 40.



фиг. 41.

матура также изъ листового желѣза, снабженная двумя обмотками, расположенными по двумъ взаимно перпендикулярнымъ меридіональнымъ плоскостямъ.

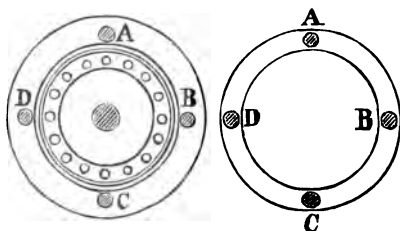
Для возбужденія индуктора выступы послѣдняго имѣютъ также обмотки. Обмотки нечетнаго порядка соединены послѣдовательно и получаютъ одинъ изъ токовъ i_1 ;

полюсы этого ряда въ какой-нибудь данный моментъ попеременно сѣверные и южные; обмотки четнаго порядка также соединены между собою послѣдовательно, по нимъ проходить токъ i_2 и полюсы этого ряда также разноименны.

Увеличивъ число полюсовъ индуктора, какъ это сдѣлалъ Тесла, можно уменьшить угловую скорость двигателя. На рис. 41 изображенъ двигатель съ 8 полюсами. Полюсы нечетнаго порядка попеременно сѣверные и южные, ихъ обмотки соединены послѣдовательно и питаются однимъ изъ токовъ i_1 ; полюсы четнаго порядка также разноименны и по ихъ обмоткамъ проходить второй токъ i_2 . Обмотки armатуры замкнуты на себя; дуга, которую занимаетъ каждая изъ нихъ, соответствуетъ углу трехъ полюсовъ; такъ, на примѣръ, обмотка, одна изъ сторонъ которой параллельна оси, находящейся напротивъ полюса ряда К, будетъ имѣть другую свою сторону по образующей, находящейся напротивъ полюса ряда $K + 2$.

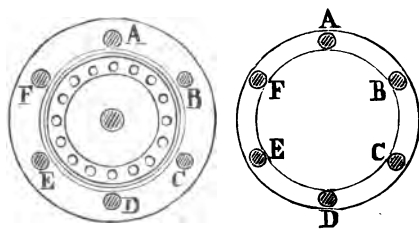
Двигатель Газельвандера двухфазный или трехфазный, изображенный на рис. 38 и 39, можетъ быть превращенъ въ асинхроничный, если только снабдить его armатурой съ замкнутыми обмотками, какъ показано на рис. 40. Эти обмотки представлять для линій силъ, образуемыхъ индукторомъ, цѣнь съ почти постояннымъ сопротивленіемъ при всѣхъ положеніяхъ armатуры.

На рис. 42 изображена схема двухфазнаго двигателя съ однимъ вращающимся полемъ, построеннаго Allgemeine Electricitts Gesellschaft въ Берлинѣ. Индукторъ этого двигателя сдѣланъ изъ листоваго тонкаго желѣза и представляетъ съ собою кольцеобразный сердечникъ, въ которомъ просверлено четыре от-
верстія на концахъ двухъ



фиг. 42.

взаимно перпендикулярныхъ діаметровъ, очень близко отъ внутренней поверхности сердечника. Въ эти отверстія вставляются четыре мѣдныя полосы А, В, С, D, припаянныя одними своими концами къ мѣдному кольцу, свободные же ихъ концы снабжены зажимами. Токъ i_1 входитъ чрезъ А и выходитъ чрезъ С; токъ i_2 входитъ чрезъ В и выходитъ чрезъ D. Необходимо, слѣдовательно, четыре проволоки для провода тока. Не трудно тотчасъ же замѣтить сходство этого индуктора съ индукторомъ Феррариса. Внутри сердечника индуктора помѣщается кольцо или барабанъ изъ листового желѣза, подвижный вкругъ своей оси и снабженный замкнутой обмоткой, составленной изъ ряда мѣдныхъ полосъ, уложенныхъ въ отверстія очень близко отъ внѣшней поверхности сердечника armатуры; эти полосы соединены своими концами посредствомъ двухъ мѣдныхъ колецъ. Въ очень небольшихъ двигателяхъ armатуру можетъ составлять просто барабанъ изъ массивнаго прокованнаго желѣза. Двѣ обмотки, составленные изъ нѣсколькихъ паръ діаметральныхъ полосъ, производить вращающееся поле, которое увлекаетъ за собою armатуру двигателя.



фиг. 43.

На рис. 43 изображенъ трехфазный двигатель того же Общества, аналогичной конструкции. Индуцирующая обмотка состоитъ изъ шести полосъ А, В, С, D, Е, F, припаянныхъ одними своими концами къ мѣдному кольцу. Токъ

$i_1 = J \sin mt$ входитъ чрезъ полосу А и выходитъ чрезъ полосу D діаметрально противоположную первой.

Токъ $i_2 = J \sin \left(mt - \frac{2\pi}{3} \right)$ входитъ чрезъ С и выходитъ

чрезъ F; наконецъ $i_3 = J \sin \left(mt - \frac{4\pi}{3} \right)$ входитъ чрезъ

Е и выходитъ чрезъ В. Вращающееся поле производится, слѣдовательно, тремя обмотками AD, CF, EB. Арматура устроена также, какъ и въ только что описанномъ нами двигателѣ. Токи, необходимые для питанія этихъ двухъ послѣднихъ двигателей, должны быть, очевидно, очень слабаго напряженія и большой силы. Это достигается посредствомъ специального трансформатора, помѣщаемого здѣсь же возлѣ двигателя. Для перваго изъ этихъ двигателей двѣ вторичныя обмотки трансформатора должны быть вполнѣ независимы. Для трехфазнаго двигателя три вторичныхъ обмотки трансформатора должны также быть независимы; эти обмотки соединяются съ индукторомъ машины посредствомъ шести кабелей.

На рис. 44 представлена схема трехфазнаго многополюснаго двигателя Доливо-Добровольскаго и Броуна. Сердечниками индуктора и арматуры служатъ два кольца изъ тонкаго листового желѣза. Въ двигателяхъ значительной работоспособности индукторъ помѣщается внутри арматуры. Такъ какъ число перемѣщеній полюсовъ, образующихся въ желѣзѣ индуктора, ра-

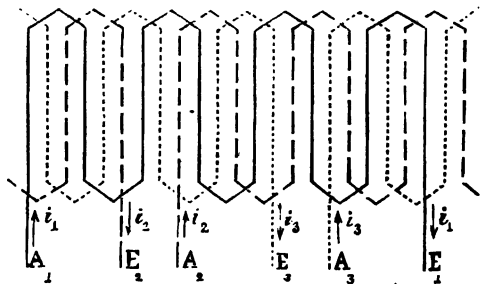


фиг. 44.

вно числу перемѣнъ одного изъ токовъ, то весьма важно довести объемъ этого сердечника до минимума, что достигается помѣщеніемъ индуктора внутри арматуры, въ желѣзѣ которой такія перемѣщенія происходятъ не такъ часто.

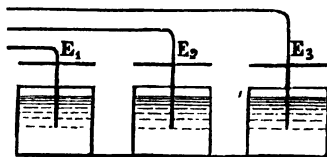
Обмотка индуктора состоитъ изъ трехъ цѣпей, составленныхъ изъ толстыхъ мѣдныхъ полосъ, изолированныхъ азбестомъ и вставленныхъ въ отверстія, сдѣланные на одинаковомъ разстояніи другъ отъ друга очень близко отъ края кольца. Каждая изъ этихъ обмотокъ образуетъ витъ

загъ (на рис. 45 изображены три развернутыя обмотки). Ихъ начала A_1, A_2, A_3 соединены съ тремя кольцами



фиг. 45.

шетки которыхъ сообщаются съ тремя проволоками линіи, проводящими токи, отодвинутые на $\frac{1}{3}$ періода. Три конца обмотокъ E_1, E_2, E_3 упираются въ три другія кольца, соединенныя съ тремя реостатами съ жидкостью. Эти послѣдніе состоятъ изъ трехъ металлическихъ вазъ (рис. 46), содержащихъ щелочной растворъ и расположенныхъ на одной металлической доскѣ. Вазы снабжены подвижными



фиг. 46.

крышками, къ которымъ прикрѣплены металлическія пластинки; для регулированія скорости двигателя (особенно при пусканіи его въ ходъ) эти пластинки должны быть болѣе или менѣе погружены въ жидкость. Если сообщить ме-

жду собою вазы, то и концы E_1, E_2, E_3 будутъ соединены непосредственно. Такія сопротивленія могутъ быть также введены для регулированія въ три цѣпи обмотки, если эти послѣднія составлены такъ, какъ цѣпи индуктора (рис. 44). Обмотка обмотки можетъ быть составлена изъ полосъ, соединенныхъ одними своими концами вмѣстѣ посредствомъ мѣднаго круга. Двигатель, изображенный на рис. 44, имѣетъ восемь вращающихся полюсовъ.

Для того чтобы получить 2 k вращающихся полюсовъ. при указанной обмоткѣ. необходимо, очевидно, не менѣе 6 k полюсовъ.

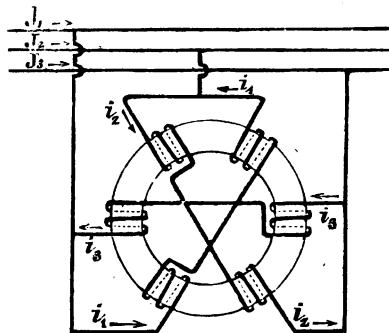
Приводимъ ниже нѣкоторые данныя относительно трех-фазнаго двигателя Броуна въ 20 лошадиныхъ силъ. Индукторъ этого двигателя неподвиженъ и находится снаружи; онъ снабженъ тремя обмотками, имѣющими одинъ общій конецъ (соединеніе звѣздочкой).

Внѣшній діаметръ индуктора	500	миллиим.
Ширина индуктора	200	»
Напряженіе тока	80	вольтъ
Число перемѣнъ тока	40	періодовъ
Число оборотовъ арматуры въ минуту .	1200	»
Поперечное сѣченіе проволоки индуктора.	40	кв. миллиим.
Число проволокъ идуктора	90	»
Вѣсъ мѣди индуктора	20	килогр.
Вѣсъ желѣза индуктора	100	»
Число полюсовъ арматуры	54	»
Поперечное сѣченіе полюсовъ арматуры . .	100	кв. миллиим.
Вѣсъ мѣди арматуры	15	килогр.
Вѣсъ желѣза арматуры	70	»
Общій вѣсъ двигателя	420	»
Разница скорости хода при полной на- грузкѣ и безъ нагрузки	3 ⁰ / ₁₀	

Сердечники устроены такъ, какъ въ двигателѣ, который мы только что описали. Двигатель Броуна приходитъ въ движеніе при парѣ сопротивленія, соотвѣтствующей 20 лошадинымъ силамъ; онъ не останавливается даже при значительной перегрузкѣ и дѣйствуетъ безъ шума. Его отдача опредѣлена приблизительно въ 90⁰/₁₀.

На рис. 47 воспроизведена схема кольцеобразнаго индуктора, снабженнаго тремя парами обмотокъ, питаемыхъ трехфазнымъ токомъ и расположенныхъ такимъ образомъ, чтобы производить два вращающихся полюса. Такое устрой-

ство индуктора принадлежит Доливо-Добровольскому. Мы уже указали другого рода обмотку, придуманную тѣмъ же изобрѣтателемъ (рис. 17), а именно: кольцо снабжено двѣнадцатью обмотками, по двумъ послѣдовательнымъ изъ нихъ проходить два тока, представляющіе разность фазъ въ 30° ; такимъ образомъ три тока въ 120° раздѣляются на шесть токовъ, отодвинутыхъ попарно на 30° .



фиг. 47.

Новые двигатели *Allgemeine Electricitäts-Gesellschaft* имѣютъ арматуру съ замкнутою обмоткою, какъ это описано нами на стр. 84, рис. 43, расположенную внутри индуктора. Этотъ послѣдній представляетъ собою кольцо изъ листового желѣза, въ большихъ двигателяхъ (рис. 42 и 43) индукторъ имѣетъ форму барабана. Двигатели названнаго Общества не снабжены ни кольцами, ни щетками и привождение ихъ въ дѣйствіе производится непосредственно безъ реостатовъ. Какъ видно изъ приводимой ниже таблицы сила тока при пусканіи двигателя въ ходъ больше нормальной его силы, но это длится всего нѣсколько секундъ и дѣйствительно поглощаемая двигателемъ въ этотъ моментъ мощность значительно меньше кажущейся мощности.

Принято употреблять токи съ возможно меньшимъ числомъ перемѣнъ, но съ тѣмъ, конечно, чтобы это не увеличивало значительно стоимости трансформаторовъ и не устраняло возможности употребленія лампъ съ вольтовой дугою, правильное дѣйствіе которыхъ, какъ извѣстно, требуетъ, чтобы число перемѣнъ тока въ секунду не опускалось ниже извѣстнаго предѣла. Принимаютъ число перемѣнъ тока равное 50-ти періодамъ въ секунду при эффек-

тивномъ напряженіи въ 60 вольтовъ между одной какой нибудь проволокой и центромъ звѣздочки или что то же при напряженіи въ 100 вольтовъ между двумя какими нибудь проволоками.

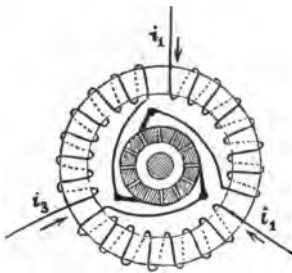
Эти двигатели, изслѣдованные Доливо-Добровольскимъ, отличаются очень простою конструкціею и ихъ отдача, какъ видно изъ таблицы, довольно значительна.

Трехфазные двигатели Allgemeine Elektrizitäts-Gesellschaft *).

О Б Р А З Ц Ы.	DR 1	DR 5	DR 10	DR 50	DR 500
Нормальная работоспособность, въ лошадахъ	$\frac{1}{8}$	$\frac{1}{2}$	1	5	50
Число полюсовъ	2	4	4	4	8
Вѣсъ въ килограммахъ	18	65	94	245	1200
Токъ въ каждой цѣпи при пусканіи двигателя въ ходъ . .	»	»	20	50	400
Токъ въ каждой цѣпи при нормальной нагрузкѣ	1,4	4	8	36	280
Токъ въ каждой цѣпи безъ нагрузки	»	»	4,5	15	150
Электрическая мощность, поглощаемая при пусканіи двигателя въ ходъ, въ киловаттахъ .	»	»	1,4	5,65	50
Электрическая мощность, поглощаемая при нормальной нагрузкѣ	0,23	0,52	0,985	4,38	40,2
Угловая скорость при нормальной нагрузкѣ (число оборотовъ въ минуту)	2300	1400	1375	1395	725
Угловая скорость безъ нагрузки.	2380	1490	1490	1490	745
Предѣльная теоретическая угловая скорость	3000	1500	1500	1500	750
Промышленная отдача при нормальной нагрузкѣ	»	0,71	0,75	0,84	0,91
Пара пусканія въ ходъ въ мкгр.	»	»	0,52	2,6	49,4

*) L'Industrie électrique du 10 mai 1893.

На рис. 48 изображена схема трехфазнаго двигателя фирмы «Сименсъ и Гальске». Этотъ двигатель состоитъ изъ неподвижнаго кольца, снабженнаго тремя обмотками, которыя получаютъ три тока i_1, i_2, i_3 . Внутри такого индуктора помѣщено кольцо Грамма, подвижное вокругъ своей оси и снабженное обыкновеннымъ коллекторомъ; съ этимъ



фиг. 48.

послѣднимъ соприкасаются три щетки, расположенныя на одномъ и томъ же коромыслѣ и соединенныя съ тремя концами обмотокъ арматуры. Три тока i_1, i_2, i_3 , отодвинутые на 120° , порождаютъ во вѣншнемъ кольцѣ вращающееся поле. Внутреннее кольцо, имѣющее соединеніе треугольникомъ, получаетъ токи $i_{1,2}, i_{2,3}, i_{3,1}$, которые также производятъ вращающееся

поле. Благодаря употребленію коллектора, токи проникаютъ во внутреннее кольцо всегда въ однѣ и тѣ же точки, расположенныя въ пространствѣ, какова бы ни была скорость вращенія; вращающееся поле внутренняго кольца дѣлаетъ, слѣдовательно, одинъ оборотъ въ продолженіи періода точно также, какъ и поле неподвижнаго кольца.

Если укрѣпить щетки такимъ образомъ, чтобы эти обѣ системы полей не были направлены по однимъ и тѣмъ же радиусамъ, то подвижное кольцо будетъ стремиться приблизить одинъ изъ своихъ полюсовъ, напримѣръ сѣверный, къ противоположному полюсу вѣншняго кольца; но дѣйствіе коллектора удержитъ эти полюсы на извѣстномъ разстояніи, зависящемъ отъ расположенія щетокъ. Если щетки расположены такъ, что полюсы двухъ колецъ находятся другъ противъ друга, то двигатель не будетъ вращаться; отъ укрѣпленія щетокъ вправо или влѣво отъ этого положенія будетъ зависѣть вращеніе двигателя также вправо или влѣво. Скорость вращенія двигателя будетъ, очевидно, увеличиваться въ извѣстныхъ предѣлахъ

въ зависимости отъ угла, образуемаго щетками. Это свойство двигателей весьма важно въ примѣненіи ихъ къ электрической тягѣ. Другіе двигатели Сименса имѣютъ аналогичную конструкцію; только коллекторъ въ нихъ замѣненъ тремя изолированными кольцами, съ которыми соприкасаются три щетки.

ГЛАВА VI.

Вычисленіе асинхроничнаго двигателя.

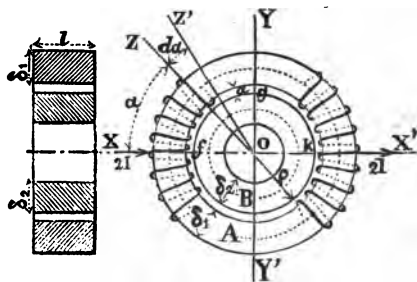
Разсмотрѣніе магнитнаго поля, производимаго кольцомъ Грамма питаемымъ въ двухъ діаметрально противоположныхъ точкахъ.

Пусть будетъ А сердечникъ изъ мягкаго желѣза, снабженный непрерывной обмоткой, въ родѣ кольца Грамма расположимъ концентрически къ А другой сердечникъ В также изъ мягкаго желѣза. Пропустивъ въ обмотку А постоянный токъ $2I$, входящій въ X и выходящій изъ X', мы будемъ имѣть какъ бы два согнутые электромагнита, соединенные одноименными полюсами и возбуждаемые токомъ I.

Такимъ образомъ, кольцо А будетъ шунтировано магнетически по своей длинѣ кольцомъ В. Разсмотримъ распредѣленіе линій силъ въ сердечникахъ и въ междужелѣзномъ пространствѣ.

Пусть будетъ:

l общая длина сердечниковъ по оси;



фиг. 49.

ρ внѣшній радіусъ внутренняго сердечника В;
 δ_1 , и δ_2 радіальныя толщины сердечниковъ;
 a радіальная толщина междужелѣзнаго пространства;
 z число оборотовъ возбуждителей на сантиметръ развертыванія средней фибры А, предполагая это развертываніе постояннымъ въ каждой точкѣ этой фибры.

$h = 4 \pi z I$ магнетизирующая сила обмотки на сантиметръ развертыванія средней фибры А;

I выражено въ единицахъ С. G. S .

μ проницаемость сердечниковъ А и В, предполагая ее постоянною;

v_1 магнитный потенціалъ въ какомъ нибудь меридіональномъ сѣченіи OZ сердечника А, предполагая этотъ потенціалъ постояннымъ на всемъ протяженіи сѣченія;

v_2 магнитный потенціалъ въ сѣченіи OZ' кольца В, предполагая этотъ потенціалъ также постояннымъ на всемъ протяженіи сѣченія;

b все число линій силъ въ кольцѣ А, пронизывающихъ перпендикулярно меридіональное сѣченіе OZ и считаемихъ положительными по направленію XYX';

b' все число линій силъ въ сѣченіи OZ' кольца В;

β плотность индукціи въ междужелѣзномъ пространствѣ въ плоскости OZ, считаемая положительною по направленію ZO.

Мы допустимъ, что магнитныя отвѣтвленія, направленные въ воздухъ внѣ междужелѣзнаго пространства, могутъ быть не приняты во вниманіе т. е., что всѣ линіи силъ, производимыя А, замыкаются междужелѣзнымъ пространствомъ и В.

Легко видѣть, что въ силу сдѣланнаго нами предположенія:

$$(1) \quad \mathcal{V} = -b$$

Имѣемъ:

$$(2) \quad dh = 4 \pi z I \left(\rho + a + \frac{\delta_1}{2} \right) d\alpha$$

$$(3) \quad d v_1 = \left(4 \pi z I - \frac{b}{\mu \cdot l \delta_1} \right) \left(\rho + a + \frac{\delta_1}{2} \right) d \alpha$$

$$(4) \quad d v_2 = \frac{b}{\mu l \delta_2} \left(\rho - \frac{\delta_2}{2} \right) d \alpha$$

Число линий силъ въ междужелѣзномъ пространствѣ между плоскостями OZ и OZ' равно $\beta \cdot l \cdot \rho \cdot d \alpha$ или:

$$\beta l \rho d \alpha = \frac{v_1 - v_2}{\frac{a}{l \rho d \alpha}}$$

Плотность индукціи β въ плоскости OZ, въ междужелѣзномъ пространствѣ, будетъ слѣдовательно:

$$(5) \quad \beta = \frac{v_1 - v_2}{a}$$

Съ другой стороны имѣемъ, очевидно:

$$(6) \quad \beta \cdot l \cdot \rho d \alpha = - d b$$

Дифференцируя равенства (5) и (6), будемъ имѣть:

$$(7) \quad d \beta = \frac{d v_1 - d v_2}{a}$$

$$(8) \quad l \rho d \beta d \alpha = - d^2 b$$

Откуда:

$$(9) \quad d \beta = - \frac{d^2 b}{l \rho d \alpha} = \frac{d v_1 - d v_2}{a}$$

и

$$(10) \quad \frac{d^2 b}{d \alpha^2} = - \frac{l \rho}{a} \times \frac{d v_1 - d v_2}{d \alpha}$$

Подставимъ въ (10) вмѣсто $d v_1$, и $d v_2$ ихъ величины изъ (3) и (4), получимъ:

$$(11) \quad \frac{d^2 b}{d \alpha^2} = b \frac{\rho}{\mu \cdot a} \left(\frac{\rho + a + \frac{\delta_1}{2}}{\delta_1} + \frac{\rho - \frac{\delta_2}{2}}{\delta_2} \right)$$

$$-\frac{l\rho 4\pi z I}{a}\left(\rho+a+\frac{\delta_1}{2}\right)$$

Положимъ:

$$(12) \quad \frac{\rho}{\mu a} \left(\frac{\rho+a+\frac{\delta_1}{2}}{\delta_1} + \frac{\rho-\frac{\delta_2}{2}}{\delta_2} \right) = m$$

$$(13) \quad \frac{l\rho 4\pi z I}{a} \left(\rho+a+\frac{\delta_1}{2} \right) = p$$

(11) обратится въ:

$$(14) \quad \frac{d^2 b}{d\alpha^2} = mb - p$$

Откуда:

$$(15) \quad \alpha = \int_0^b \frac{db}{\sqrt{\int_0^b (2mb db - 2p db) + C}} + C'$$

C и C' постоянныя интегрированія. Положивъ:

$$(16) \quad \frac{p}{m} = q$$

$$\frac{C}{m} = C_1$$

$$C' \sqrt{m} = C'_1 = \text{Log. } C'_2$$

будемъ имѣть, произведя интегрированіе:

$$(17) \quad b = q + \frac{C'_2}{2} e^{\sqrt{m}\alpha} + \frac{q^2 - C_1}{C'_2} e^{-\sqrt{m}\alpha}$$

Предположимъ:

$$\frac{C'_2}{2} = K \quad \frac{q^2 - C_1}{2 C'_2} = K'$$

(17) обратится въ:

$$b = q + K e^{\sqrt{m}\alpha} + K' e^{-\sqrt{m}\alpha}$$

Такъ какъ два полукольца А расположены симметрично по отношенію къ XX', то магнитный потокъ мѣняетъ знакъ въ X и въ X', проходя съ одной половины кольца въ другую; онъ обращается, слѣдовательно, въ нуль при $\alpha = 0$ и при $\alpha = \pi$. Такимъ образомъ постоянныя K и K' опредѣляются изъ равенствъ:

$$(18) \quad 0 = q + K + K'$$

$$(19) \quad 0 = q + K e^{\sqrt{m}\pi} + K' e^{-\sqrt{m}\pi}$$

Откуда получаемъ окончательно:

$$(20) \quad b = q \left[1 - \frac{e^{\sqrt{m}\pi} - 1}{e^{2\sqrt{m}\pi} - 1} e^{\sqrt{m}\alpha} - \frac{e^{\sqrt{m}\pi} - 1}{e^{2\sqrt{m}\pi} - 1} e^{\sqrt{m}(\pi-\alpha)} \right]$$

Имѣемъ въ силу (6), (16) и (20):

$$(21) \quad \beta l = - \frac{1}{\rho} \frac{db}{d\alpha} = \frac{p}{\sqrt{m}\rho} \frac{e^{\sqrt{m}\pi} - 1}{e^{2\sqrt{m}\pi} - 1} \left[e^{\sqrt{m}\alpha} - e^{\sqrt{m}(\pi-\alpha)} \right]$$

Это отношеніе показываетъ, что β обращается въ нуль при $\alpha = \frac{\pi}{2}$; слѣдовательно, плотность индукціи въ между-железномъ пространствѣ въ плоскости OY равна нулю.

Такъ какъ:

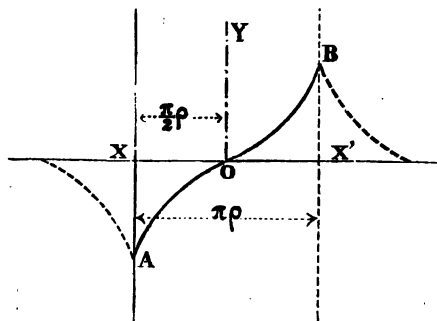
$$\frac{db}{d\alpha} = -\beta l\rho$$

то максимумъ b будетъ при $\alpha = \frac{\pi}{2}$; иначе говоря, число линій силъ въ сердечникахъ будетъ имѣть свой макси-

мумъ въ сѣченіи ОУ, этотъ максимумъ равенъ для сердечника А:

$$(22) \quad b_{max} = q \left[1 - 2 \frac{e^{\sqrt{m} \pi} - 1}{e^{2\sqrt{m} \pi} - 1} e^{\sqrt{m} \frac{\pi}{2}} \right]$$

Уравненіе (21), выражая силу поля въ междужелѣзномъ пространствѣ въ различныхъ точкахъ полукруга *fgk*,



фиг. 50.

представляетъ кривую, общая форма которой подобна линіи АОВ (рис. 50).

Очевидно, что такое распредѣленіе линій силъ не даетъ значительнаго среднего поля въ междужелѣзномъ пространствѣ. Въ противномъ случаѣ максимумъ

этого поля былъ бы чрезмѣренъ, что породило бы значительную магнитную потерю.

Посмотримъ теперь, каково должно быть распредѣленіе возбужденія въ кольцѣ А, чтобы плотность поля въ междужелѣзномъ пространствѣ измѣнялась, какъ ординаты синусоиды.

Пусть будетъ β_m максимумъ плотности въ междужелѣзномъ пространствѣ. Будемъ считать углы отъ О У по направленію къ ХХ'; будемъ имѣть, согласно опредѣленію:

$$(1) \quad \beta = \beta_m \sin \alpha$$

Имѣемъ, какъ и раньше:

$$(2) \quad \beta l r d \alpha = - d b$$

Откуда:

$$(3) \quad db = -\beta_m l \rho \sin \alpha d\alpha$$

Интегрируя это уравнение, получимъ:

$$(4) \quad b = \beta_m l \rho \cos \alpha$$

Постоянная интегрированія равна нулю, такъ какъ b обращается въ нуль при $\alpha = \frac{\pi}{2}$. Кроме того, имѣемъ какъ и раньше:

$$\beta l \rho d\alpha = \frac{v_1 - v_2}{a} \frac{l \rho d\alpha}{l \rho d\alpha}$$

или:

$$(5) \quad v_1 - v_2 = a \beta_m \sin \alpha$$

$$(6) \quad dv_1 = dh - \frac{\beta_m l \rho \left(\rho + a + \frac{\delta_1}{2} \right) \cos \alpha d\alpha}{\mu l \delta_1}$$

$$(7) \quad dv_2 = \frac{\beta_m l \rho \left(\rho - \frac{\delta_2}{2} \right) \cos \alpha d\alpha}{\mu l \delta_2}$$

Дифференцируемъ (5) и, подставивъ вмѣсто dv_1 и dv_2 ихъ величины изъ (6) и (7), получимъ:

$$a \beta_m \cos \alpha d\alpha = dv_1 - dv_2$$

$$= dh - \frac{\beta_m \rho}{\mu} \left[\frac{\rho + a + \frac{\delta_1}{2}}{\delta_1} + \frac{\rho - \frac{\delta_2}{2}}{\delta_2} \right] \cos \alpha d\alpha$$

$$(8) \quad dh = a \beta_m \cos \alpha d\alpha + \frac{\beta_m \rho}{\mu} \left[\rho \left(\frac{1}{\delta_1} + \frac{1}{\delta_2} \right) + \frac{a}{\delta_1} \right] \cos \alpha d\alpha$$

Интегрируя это уравнение, находимъ:

$$(9) \quad h = \beta_m \left[a + \frac{\rho}{\mu} \left(\rho \left(\frac{1}{\delta_1} + \frac{1}{\delta_2} \right) + \frac{a}{\delta_1} \right) \right] \sin \alpha$$

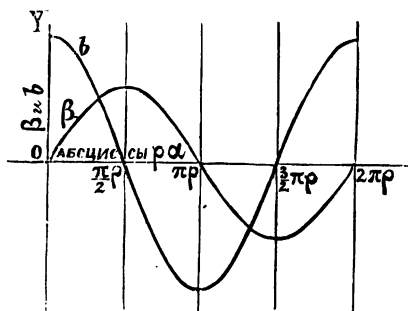
Съ другой стороны:

$$(10) \quad h = 4 \pi \int_{\alpha=0}^{\alpha=\alpha} d n I$$

т. е., что h обозначаетъ возбужденіе, производимое частью обмотки, находящейся между плоскостью OY и меридиональною плоскостью OZ , соответствующей углу α . Уравненіе (9) показываетъ, что это возбужденіе должно увеличиваться съ увеличеніемъ синуса угла α . Уравненіе (8) показываетъ, что возбужденіе на сантиметръ развертыванія кольца A , въ различныхъ точкахъ окружности, должно измѣняться, какъ косинусъ угловъ α , определяющихъ положенія этихъ точекъ.

Это измѣняющееся возбужденіе имѣетъ своимъ выраженіемъ nI , n число оборотовъ на сантиметръ въ разсматриваемой точкѣ и I токъ (въ единицахъ С. Г. С.), проходящій по этимъ оборотамъ. Можно, слѣдовательно, получить это измѣняющееся возбужденіе въ различныхъ точкахъ кольца тремя способами:

1. Принимая I постояннымъ и измѣняя n какъ $\cos \alpha$;
2. Принимая n постояннымъ и измѣняя I какъ $\cos \alpha$;
3. Измѣняя совмѣстно n и I .



фиг. 51.

При вычисленіи двигателя съ вращающимся полемъ, мы рассмотримъ второй изъ этихъ способовъ.

На рис. 51 за абсциссы приняты развернутыя дли-

наго колебанія и n число колебаній въ секунду. Это все равно, какъ бы полное колебаніе распространялось по всей окружности въ промежутокъ времени T .

Назовемъ черезъ b_m максимумъ всей индукціи b въ индуктирующемъ сердечникѣ A , черезъ β_m максимумъ плотности индукціи β въ междужелѣзномъ пространствѣ и примемъ за начало угловъ меридіональную плоскость OY .

Такимъ образомъ, величины b и β въ какой нибудь меридіональной плоскости OZ и въ какой нибудь моментъ t опредѣлятся, согласно сдѣланному нами предположенію, изъ отношеній:

$$(1) \quad b_t = b_m \sin \left(\frac{\pi}{2} + \alpha + 2\pi n t \right)$$

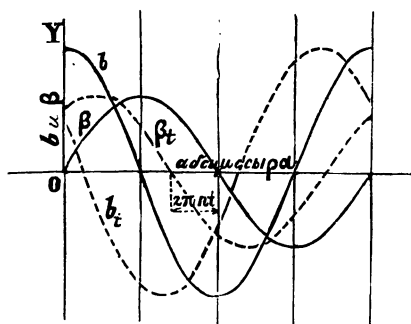
$$(2) \quad \beta_t = \beta_m \sin (\alpha + 2\pi n t)$$

При $t = 0$ будемъ имѣть:

$$(3) \quad b = b_m \sin \left(\frac{\pi}{2} + \alpha \right)$$

$$(4) \quad \beta = \beta_m \sin \alpha$$

Отношенія (3) и (4) даютъ діаграммы b и β , изображенныя сплошными линіями (рис. 53), тождественными



фиг. 53.

съ линіями рис. 51. Отношенія (1) и (2) даютъ діаграммы b_t и β_t , изображенныя пунктирными линіями; эти діаграммы такія же, какъ и первыя, но онѣ отодвинуты относительно первыхъ, на рисункѣ влѣво, на величину $2\pi n t$.

Поле въ междужелѣзномъ пространствѣ вращается, следовательно, вѣзмъ своимъ цѣлымъ съ постоянною угловою скоростью $2\pi n$, оставаясь всегда тождественнымъ

самому себѣ. Въ разсматриваемомъ нами примѣрѣ это поле дѣлаетъ вокругъ оси двигателя одинъ оборотъ въ продолженіи періода или n оборотовъ въ секунду.

Легко видѣть, что происходящія при этомъ явленія тождественны въ каждый моментъ, за исключеніемъ положенія ихъ въ пространствѣ.

Намъ достаточно, слѣдовательно, для изученія явленій индукціи и вычисленія вращающей пары рассмотреть двигатель, *при его нормальномъ дѣйствіи*, въ одинъ какой нибудь моментъ, на примѣръ въ моментъ $t = 0$, и заставить вращаться поле междужелѣзнаго пространства со скоростью $2\pi n$.

Допустимъ, какъ и раньше, что магнитная потеря черезъ воздухъ можетъ быть не принята во вниманіе и что индукція въ желѣзѣ пропорціональна магнито-двигательной силѣ или, что все равно, будемъ разсматривать проницаемость сердечниковъ, какъ постоянную, какова бы ни была плотность индукціи, и пренебрежемъ гистерезисомъ и токами Фуко.

Вообразимъ сердечникъ В окруженнымъ по всей своей периферіи множествомъ соединенныхъ металлическихъ оборотовъ, бесконечно тонкихъ и замкнутыхъ на себя; такая обмотка составитъ, такъ сказать, однообразный футляръ, по которому индуктируемые токи могутъ проходить, по лимбѣ сердечника В, только по направленію образующихъ этого цилиндра.

Будемъ имѣть, слѣдовательно, какъ и раньше въ моментъ $t = 0$:

$$(5) \quad \beta l p = - \frac{db}{d\alpha}$$

Легко видѣть, что приращеніе $\frac{db'}{d\alpha} d\alpha$ всей индукціи въ сердечникѣ В равно и имѣетъ знакъ обратный $\frac{db}{d\alpha} d\alpha$ т. е.:

$$(6) \quad \frac{db'}{d\alpha} d\alpha = - \frac{db}{d\alpha} d\alpha$$

Откуда:

$$(7) \quad b' = -b$$

Сохранимъ тѣ же обозначенія, какъ и въ предшествовавшемъ примѣрѣ; пусть будетъ:

r_1 сопротивление обмотки А на сантиметръ ширины, считая по средней окружности А;

r_2 сопротивление индуцируемой обмотки на сантиметръ ширины, считая по средней окружности В;

i_1 токъ возбуждителя на сантиметръ ширины, считая по средней окружности А;

i_2 индукціонный токъ въ обмоткѣ В на сантиметръ ширины, считая по средней окружности В;

n' число оборотовъ В въ секунду, при нормальномъ дѣйствіи двигателя.

М вращающая пара.

Будемъ имѣть очевидно:

$$(8) \quad \frac{r_2}{\left(\rho - \frac{\delta_2}{2}\right)} d\alpha \cdot i_2 \left(\rho - \frac{\delta_2}{2}\right) d\alpha = -2\pi l \rho (n - n') \beta_m \sin \alpha$$

Откуда:

$$(9) \quad i_2 = - \frac{2\pi \rho l (n - n') \beta_m \sin \alpha}{r_2}$$

Кромѣ того, имѣемъ какъ и раньше:

$$(10) \quad d v_1 = 4\pi i_1 \left(\rho + a + \frac{\delta_1}{2}\right) d\alpha - b \frac{\left(\rho + a + \frac{\delta_1}{2}\right) d\alpha}{\mu l \delta_1}$$

$$(11) \quad d v_2 = 4\pi i_2 \left(\rho - \frac{\delta_2}{2}\right) d\alpha + b \frac{\left(\rho - \frac{\delta_2}{2}\right) d\alpha}{\mu l \delta_2}$$

Число линий силъ въ междужелѣзномъ пространствѣ, между двумя плоскостями безконечно близкими другъ къ другу, будетъ:

$$\beta l \rho d \alpha = \frac{v_1 - v_2}{\frac{a}{l \rho d \alpha}}$$

или:

$$(12) \quad \beta = \frac{v_1 - v_2}{a}$$

Откуда выводимъ:

$$(13) \quad \frac{d\beta}{d\alpha} d\alpha = \frac{dv_1 - dv_2}{a}$$

Имѣемъ очевидно:

$$(14) \quad \left\{ \begin{aligned} \frac{dM}{d\alpha} d\alpha &= -\rho \beta l i_2 \left(\rho - \frac{\delta_2}{2} \right) d\alpha \\ &= \frac{2\pi l^2 \rho^2 \left(\rho - \frac{\delta_2}{2} \right) (n - n')}{r_2} \beta^2 d\alpha \end{aligned} \right.$$

Двигающая пара М будетъ имѣть, слѣдовательно, своимъ выраженіемъ:

$$(15) \quad \left\{ \begin{aligned} M &= 4 \int_{\alpha=0}^{\alpha=\frac{\pi}{2}} \frac{2\pi \rho^2 l^2 \left(\rho - \frac{\delta_2}{2} \right) (n - n')}{r_2} \beta^2 d\alpha \\ &= \frac{2\pi^2 \rho^2 l^2 \left(\rho - \frac{\delta_2}{2} \right) (n - n') \beta_m^2}{r_2} \end{aligned} \right.$$

М двигающая пара, дѣйствующая на ось пріемника; вслѣдствіе тренія шиповъ она немного больше пары сопротивленія, приложенной къ шкиву. Зная размѣры

шкива и шиповъ, выводитьъ изъ нихъ пару тренія, которая будетъ равна части k пары сопротивленія у шкива.

Если обозначимъ черезъ P полезную работоспособность двигателя, то будемъ имѣть:

$$(16) \quad M = (1 + k) \frac{P}{2 \pi n'}$$

Величина $(n - n')$ выражаетъ *приблизительно* разность между числомъ оборотовъ въ секунду двигателя безъ нагрузки и числомъ оборотовъ при полной нагрузкѣ; это было бы вполнѣ такъ, еслибы пріемникъ имѣлъ отдачу равную единицѣ. На практикѣ разность между числами оборотовъ въ секунду безъ нагрузки и при полной нагрузкѣ немного меньше $n - n'$.

Обыкновенно стараются имѣть это замедленіе $n - n'$ такимъ, чтобы $\frac{n - n'}{n}$ составляло извѣстный процентъ, на примѣръ 3 на 100.

Если, кромѣ того, извѣстна наибольшая плотность индукціи въ междужелѣзномъ пространствѣ β_m и найдены ρ и l способомъ, который будетъ нами указанъ дальше, то сопротивление r_2 опредѣлится изъ уравненія (15):

$$(17) \quad r_2 = \frac{2 \pi^2 \rho^2 l^2 \left(\rho - \frac{\delta_2}{2} \right) (n - n') \beta_m^2}{M}$$

всѣ множители второй части этого равенства извѣстны. Токъ i_2 вполнѣ опредѣленъ уравненіемъ (9).

Изъ (9) и (17) получаемъ:

$$(18) \quad i_2 = - \frac{M}{\pi l \rho \left(\rho - \frac{\delta_2}{2} \right) \beta_m} \sin \alpha$$

Кромѣ того, имѣемъ:

$$(19) \quad b = - \rho l \beta_m \int \sin \alpha d \alpha = \rho l \beta_m \cos \alpha$$

Подставимъ въ (13) вмѣсто $\frac{d\beta}{d\alpha}$, dv_1 и dv_2 ихъ величины изъ (4), (10) и (11), получимъ:

$$(20) a \beta_m \cos \alpha d\alpha = 4\pi i_1 \left(\rho + a + \frac{\delta_1}{2} \right) d\alpha - b \frac{\left(\rho + a + \frac{\delta_1}{2} \right) d\alpha}{\mu l \delta_1} - 4\pi i_2 \left(\rho - \frac{\delta_2}{2} \right) d\alpha - b \frac{\left(\rho - \frac{\delta_2}{2} \right) d\alpha}{\mu l \delta_2}$$

Отсюда, принимая во вниманіе (18) и (19):

$$(21) i_1 = \left[\frac{a}{4\pi \left(\rho + a + \frac{\delta_1}{2} \right)} + \frac{\rho}{4\pi \mu \delta_1} + \frac{\rho \left(\rho - \frac{\delta_2}{2} \right)}{4\pi \mu \delta_2 \left(\rho + a + \frac{\delta_1}{2} \right)} \right] \times \beta_m \cos \alpha - \frac{1}{\pi \rho l \left(\rho + a + \frac{\delta_1}{2} \right)} \times \frac{M}{\beta_m} \sin \alpha$$

Положимъ:

$$(22) \frac{a}{4\pi \left(\rho + a + \frac{\delta_1}{2} \right)} + \frac{\rho}{4\pi \mu \delta_1} + \frac{\rho \left(\rho - \frac{\delta_2}{2} \right)}{4\pi \mu \delta_2 \left(\rho + a + \frac{\delta_1}{2} \right)} = A$$

$$(23) \frac{1}{\pi \rho l \left(\rho + a + \frac{\delta_1}{2} \right)} = B$$

Тогда равенство (21) обратится въ:

$$(24) i_1 = A \beta_m \cos \alpha - B \frac{M}{\beta_m} \sin \alpha$$

Положимъ еще:

$$(25) \quad \frac{A \beta_m}{B \frac{M}{\beta_m}} = t g \psi$$

Тогда (24) обратится въ:

$$(26) \quad i_1 = -\sqrt{A^2 \beta_m^2 + B^2 \frac{M^2}{\beta_m^2}} \sin(\alpha - \psi)$$

Отношеніе (25) показываетъ, что уголъ ψ уменьшается отъ $\frac{\pi}{2}$ до 0, когда вращающая пара M увеличивается отъ 0 до ∞ . Уравненія (18) и (26) приводятъ къ заключенію, что, въ какой-либо меридіональной плоскости OZ , фаза индуцируемаго тока i_2 запаздываетъ на ψ относительно фазы индуцирующаго тока i_1 ; это запозданіе было бы равно $\frac{\pi}{2}$ при $M=0$ (мы уже сказали, что при дѣйствіи двигателя, вслѣдствіе пассивныхъ сопротивленій, M никогда не можетъ быть равно нулю), оно стремится къ 0, когда M приближается къ ∞ . Слѣдовательно, по мѣрѣ того какъ нагрузка двигателя увеличивается, фазы двухъ токовъ стремятся совпасть.

Токи i_1 и i_2 имѣютъ свой максимумъ:

$$(27) \quad J_1 = \sqrt{A^2 \beta_m^2 + B^2 \frac{M^2}{\beta_m^2}}$$

$$(28) \quad J_2 = \frac{M}{\pi l \rho \left(\rho - \frac{\delta_2}{2} \right) \beta_m}$$

Индуцирующій токъ i_1 въ какой-либо меридіональной плоскости OZ и въ какой-нибудь моментъ t будетъ имѣть своимъ выраженіемъ:

$$(29) \quad i_1 = -J_1 \sin(\alpha - \psi + 2\pi nt)$$

Напряжение e у зажимовъ разсматриваемаго оборота въ моментъ t будетъ:

$$(30) \quad e = r_1 i_1 + \frac{d b}{d t} dt$$

Такимъ образомъ:

$$(31) \quad b = b_m \sin\left(\frac{\pi}{2} + \alpha + 2 \pi n t\right) = \rho l \beta_m \sin\left(\frac{\pi}{2} + \alpha + 2 \pi n t\right)$$

Слѣдовательно:

$$(32) \quad \begin{cases} e = -r_1 J_1 \sin(\alpha - \psi + 2 \pi n t) \\ \quad + \rho l 2 \pi n \beta_m \cos\left(\frac{\pi}{2} + \alpha + 2 \pi n t\right) \\ = -r_1 J_1 \sin(\psi - \alpha + 2 \pi n t) \\ \quad - \rho l 2 \pi n \beta_m \sin(\alpha + 2 \pi n t) \end{cases}$$

Разложивъ второй членъ этого уравненія, будемъ имѣть:

$$(33) \quad \begin{aligned} e = & -r_1 J_1 \cos \psi \sin(\alpha + 2 \pi n t) \\ & + r_1 J_1 \sin \psi \cos(\alpha + 2 \pi n t) - \rho l 2 \pi n \beta_m \sin(\alpha + 2 \pi n t) \end{aligned}$$

Подставимъ вмѣсто J_1 , $\sin \psi$ и $\cos \psi$ ихъ величины и положимъ:

$$(34) \quad \frac{r_1 A \beta_m}{r_1 B \frac{M}{\beta_m} + \rho l 2 \pi n \beta_m} = \operatorname{tg} \chi$$

Будемъ имѣть:

$$(35) \quad e = -\sqrt{(r_1 A \beta_m)^2 + \left(r_1 B \frac{M}{\beta_m} + \rho l 2 \pi n \beta_m\right)^2} \times \sin(\alpha - \chi + 2 \pi n t)$$

абсолютный максимумъ котораго есть:

$$(36) \quad e_{max} = \sqrt{(r_1 A \beta_m)^2 + \left(r_1 B \frac{M}{\beta_m} + \rho l 2 \pi n \beta_m\right)^2}$$

Напряжение e у зажимовъ какого-нибудь индуцирующаго оборота должно, слѣдовательно, измѣняться, подобно

синусоидѣ, вмѣстѣ съ положеніемъ этого оборота въ данный моментъ и со временемъ t для данного положенія α .

Отношеніе (34) показываетъ, что

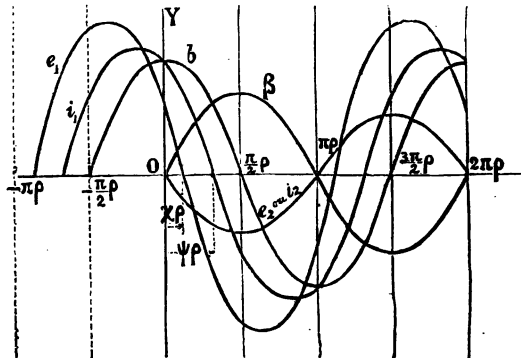
$$\chi < \psi$$

т. е., что фаза напряженія e у зажимовъ какого-нибудь индуктирующаго оборота находится впереди относительно тока i_1 въ этомъ оборотѣ на уголъ:

$$\psi - \chi$$

Впрочемъ, это отклоненіе уменьшается по мѣрѣ того какъ вращающая пара M увеличивается. Кромѣ того, если r_1 очень мало, а M соответствуетъ нормальной нагрузкѣ двигателя, то можно сдѣлать χ также очень малымъ.

Диаграмма (рис. 54) изображаетъ различныя величины, которыя мы только что разсмотрѣли, въ ихъ соответствен-



фиг. 54.

ныхъ фазахъ. При очень большой величинѣ вращающей пары M , e_1 , i_1 и i_2 почти совпадаютъ фазами; при $M=0$, i_1 совпадаетъ фазою съ индукціею b въ сердечникѣ A .

Замѣтимъ еще, что при слабой нагрузкѣ индуктирующій токъ i_1 отодвигается впередъ относительно напряженія e_1 .

Второе изъ отношеній (32) выражаетъ, что напряженіе у зажимовъ какого-нибудь индуктирующаго оборота равно

алгебраической разности числа линий сил между железным пространством, пронизывающих, вследствие вращения поля, въ продолжение секунды внутреннюю сторону этого оборота, и потери напряженія $r_1 i_1$, производимой прохождениемъ тока по этому обороту. Это напряженіе у зажимовъ оборота имѣетъ знакъ обратный знаку означенной разности.

Потеря мощности, происходящая вслѣдствіе сопротивленія индуктирующей обмотки, будетъ:

$$W_1 = 4 \int_{i_1=0}^{i_1=J_1} \frac{r_1}{\left(\rho + a + \frac{\delta_1}{2}\right) d\alpha} \left[i_1 \left(\rho + a + \frac{\delta_1}{2} \right) d\alpha \right]^2$$

$$(37) \quad = \pi \left[\rho + a + \frac{\delta_1}{2} \right] r_1 J_1^2$$

Потеря мощности въ индуктируемой обмоткѣ равна:

$$(38) \quad \left\{ \begin{aligned} W_2 &= 4 \int_{i_2=0}^{i_2=J_2} \frac{r_2}{\left(\rho - \frac{\delta_2}{2}\right) d\alpha} \left[i_2 \left(\rho - \frac{\delta_2}{2} \right) d\alpha \right]^2 \\ &= \pi \left(\rho - \frac{\delta_2}{2} \right) r_2 J_2^2 = \frac{r_2 M^2}{\pi l^2 \rho^2 \left(\rho - \frac{\delta_2}{2} \right) \beta_m^2} \\ &= 2 \pi (n - n') M \end{aligned} \right.$$

Слѣдовательно, потеря мощности въ арматурѣ численно равна произведенію вращающей пары на потерю угловой скорости, что можно было предвидѣть съ механической точки зрѣнія.

Если размѣры сердечника A извѣстны, то изъ β_m или b_m можно опредѣлить плотность максимальной индукціи

въ желѣзѣ $\frac{b}{i \delta_1}$; если же объемъ сердечника, число пере-
мѣнъ тока, а также родъ желѣза извѣстны, то легко вы-
числить приблизительно потерю мощноети W , произво-
димую гистерезисомъ и токами Фуко; такъ какъ коле-
банія магнетизма въ сердечникѣ относительно очень сла-
бы, то прежде всего возможно пренебречь происходящей
отъ этого потерей.

Пусть будетъ P полезная работоспособность двигателя
и P' мощность у его зажимовъ; имѣемъ:

$$P' = 4 \int_{i_1=0}^{i_1=J_1} e i \left(\rho + a + \frac{\delta_1}{2} \right) d\alpha$$

$$(39) \quad = \pi \left(\rho + a + \frac{\delta_1}{2} \right) e_m J_1 \cos(\psi - \chi)$$

Отдача двигателя равна:

$$(40) \quad \eta = \frac{P}{P + F + W + W_1 + W_2}$$

F выражаетъ мощность, поглощаемую пассивными сопро-
тивленіями.

Замѣтимъ, что всѣ разсмотрѣнныя нами величины вы-
ражены въ единицахъ С. Г. С.

Вычисленіе двигателя съ нѣсколькими парами полюсовъ.

Идеальный двигатель, который мы только что изучи-
ли, будетъ дѣлать приблизительно n оборотовъ въ секун-
ду, n это число перемѣнъ одного колебанія напряженія.
Если хотятъ довести эту угловую скорость до величины
 $\frac{n'}{K}$ близкой къ $\frac{n}{K}$, K цѣлое число, то необходимо пост-
роить такой двигатель, который производилъ бы $2K$ по-

люсовъ (К полюсовъ сѣверныхъ и К южныхъ), тогда одно какое нибудь изъ вращающихся полей опишетъ въ продолженіи періода уголъ $\frac{2\pi}{K}$, т. е. совершить полный оборотъ въ К періодовъ.

Въ этомъ случаѣ вся индукція b въ какомъ нибудь меридіональномъ сѣченіи О Z сердечника А въ моментъ t будетъ имѣть своимъ выраженіемъ:

$$(41) \quad b = b_m \sin \left(\frac{\pi}{2} + K \alpha + 2 \pi n t \right)$$

и плотность индукціи β въ междужелѣзномъ пространствѣ, въ плоскости О Z, будетъ:

$$(42) \quad \beta = \beta_m \sin (K \alpha + 2 \pi n t)$$

Сдѣлаемъ $t=0$, тогда получимъ для тока i_2 :

$$(43) \quad i_2 = - \frac{\beta l \rho 2 \pi \left(\frac{n-n'}{K} \right)}{r_2} = - \frac{l \rho 2 \pi \left(\frac{n-n'}{K} \right) \beta_m \sin K \alpha}{r_2}$$

Вращающая пара М будетъ:

$$\begin{aligned} M &= 4 K \frac{l^2 \rho^2 \left(\rho - \frac{\delta_2}{2} \right) 2 \pi \left(\frac{n-n'}{K} \right) \int_{K \alpha = 0}^{K \alpha = \frac{\pi}{2}} \beta^2 d \alpha}{r_2} \\ &= 4 K \frac{l^2 \rho^2 \left(\rho - \frac{\delta_2}{2} \right) 2 \pi \left(\frac{n-n'}{K} \right) \beta_m^2 \int_{K \alpha = 0}^{K \alpha = \frac{\pi}{2}} \sin^2 K \alpha d \alpha}{r_2} \\ (44) \quad &= \frac{K 2 \pi^2 l^2 \rho^2 \left(\rho - \frac{\delta_2}{2} \right) \left(\frac{n-n'}{K} \right) \beta_m^2}{r_2} \end{aligned}$$

выраженіе, которое при одинаковыхъ размѣрахъ двигателя и при одинаковой величинѣ плотности максимальной индукціи β_m въ междужелѣзномъ пространствѣ тождествен-

но съ выраженіемъ (15). Въ обоихъ случаяхъ вращающаяся пара будетъ одна и та же.

Сопротивленіе r_2 обмотки арматуры опредѣлится, слѣдовательно, формулою:

$$(45) \quad r_2 = \frac{K 2 \pi^2 l^2 \rho^2 \left(\rho - \frac{\delta_2}{2} \right) \frac{n-n'}{K} \beta_m^2}{M}$$

И такъ, это сопротивленіе обмотки арматуры на сантиметръ ширины, измѣренной по средней фибрѣ сердечника В, будетъ тоже, при равныхъ размѣрахъ и плотности максимальной индукціи, для двигателя съ одною или съ нѣсколькими парами полюсовъ, если только будетъ допущена въ обоихъ случаяхъ одна и та же относительная потеря угловой скорости между нулевою и полною нагрузкою.

Пусть будетъ N число оборотовъ двигателя въ секунду при нормальной нагрузкѣ; имѣемъ:

$$(46) \quad \frac{n-n'}{K} = \frac{n}{K} - N$$

Мощность у зажимовъ *индукціонной части* двигателя будетъ:

$$M 2 \pi \left(\frac{n}{K} - N \right)$$

Выводимъ изъ отношеній (43) и (44):

$$(47) \quad i_2 = \frac{M}{K \pi l \rho \left(\rho - \frac{\delta}{2} \right) \beta_m} \sin K \alpha$$

Будемъ имѣть, какъ и раньше:

$$(48) \quad \beta l \rho = - \frac{d b}{d \alpha} = - K b_m \cos \left(\frac{\pi}{2} + K \alpha \right)$$

или:

$$(49) \quad l \rho \beta_m \sin K \alpha = - K b_m \sin K \alpha$$

Откуда:

$$(50) \quad b_m = \frac{l \rho \beta_m}{K}$$

Имѣемъ еще:

$$(51) \quad \frac{d\beta}{d\alpha} d\alpha = \frac{dv_1 - dv_2}{a}$$

или:

$$(52) \quad K \alpha \beta_m \cos K \alpha = 4 \pi i_1 \left(\rho + a + \frac{\delta_1}{2} \right) - 4 \pi i_2 \left(\rho - \frac{\delta_2}{2} \right) \\ - b \left[\frac{\rho + a + \frac{\delta_1}{2}}{\mu l \delta_1} - \frac{\rho - \frac{\delta_2}{2}}{\mu l \delta_2} \right]$$

Подставивъ вмѣсто i_2 и b ихъ величины и предположивъ:

$$(53) \quad \frac{K \alpha}{4 \pi \left(\rho + a + \frac{\delta_1}{2} \right)} + \frac{\rho}{4 \pi \mu \delta_1 K} + \\ + \frac{\rho \left(\rho - \frac{\delta_2}{2} \right)}{4 \pi \left(\rho + a + \frac{\delta_1}{2} \right) \mu \delta_2 K} = A$$

и

$$(54) \quad \frac{1}{K \pi l \rho \left(\rho + a + \frac{\delta_1}{2} \right)} = B$$

будемъ имѣть:

$$(55) \quad i_1 = A \beta_m \cos K \alpha - B \frac{M}{\beta_m} \sin K \alpha$$

Положимъ:

$$(56) \quad \frac{A\beta_m}{B \frac{M}{\beta_m}} = tg\psi$$

Тогда (55) обратится въ:

$$(57) \quad i_1 = - \sqrt{A^2 \beta_m^2 + B^2 \frac{M^2}{\beta_m^2}} \sin(K\alpha - \psi)$$

Слѣдовательно, абсолютный максимумъ токовъ i_1 и i_2 въ индукторѣ и въ арматурѣ выразится величинами:

$$(58) \quad J_1 = \sqrt{A^2 \beta_m^2 + B^2 \frac{M^2}{\beta_m^2}}$$

$$(59) \quad J_2 = \frac{M}{K \pi l \rho \left(\rho - \frac{\delta_2}{2} \right) \beta_m}$$

Разсмотримъ теперь двигатель въ какой нибудь моментъ t . Напряжение e у зажимовъ оборота, расположеннаго въ плоскости OZ , будетъ имѣть своимъ общимъ выраженіемъ въ моментъ t :

$$(60) \quad e = r_1 i_1 + \frac{db}{dt}$$

Итакъ имѣемъ:

$$r_1 i_1 = - r_1 J_1 \sin(K\alpha - \psi + 2\pi nt)$$

$$\frac{db}{dt} = - \frac{l \rho \beta_m}{K} 2\pi n \sin(K\alpha + 2\pi nt)$$

Слѣдовательно:

$$(61) \quad e = - r_1 J_1 \sin(K\alpha - \psi + 2\pi nt)$$

$$+ \frac{l \rho 2\pi n \beta_m}{K} \sin(K\alpha + 2\pi nt)$$

Разложивъ второй членъ этого уравненія и подставивъ вмѣсто J_1 , $\sin \psi$ и $\cos \psi$ ихъ величины, будемъ имѣть:

$$(62) \quad e = r_1 A \beta_m \cos (K\alpha + 2 \pi n t) - \left(r_1 B \frac{M}{\beta_m} + \frac{l p 2 \pi n \beta_m}{K} \right) \sin (K\alpha + 2 \pi n t)$$

Положимъ, какъ и въ предшествующемъ случаѣ:

$$(63) \quad \frac{r_1 A \beta_m}{r_1 B \frac{M}{\beta_m} + \frac{l p 2 \pi n \beta_m}{K}} = \operatorname{tg} \chi$$

Тогда (62) обратится въ:

$$(64) \quad e = - \sqrt{(r_1 A \beta_m)^2 + \left(r_1 B \frac{M}{\beta_m} + \frac{l p 2 \pi n \beta_m}{K} \right)^2} \times \sin (K\alpha - \chi + 2 \pi n t)$$

абсолютный максимумъ котораго равенъ:

$$(65) \quad e_m = \sqrt{(r_1 A \beta_m)^2 + \left(r_1 B \frac{M}{\beta_m} + \frac{l p 2 \pi n \beta_m}{K} \right)^2}$$

e_m будетъ, слѣдовательно, максимумъ разности потенциа-ловъ у зажимовъ одного индуцирующаго оборота.

Случай обмотки съ обмоткой въ видѣ барабана.

Аналогичное вычисленіе приводитъ почти къ такому же результату и въ томъ случаѣ, если сердечникъ В имѣетъ обмотку, состоящую изъ бесконечно тонкихъ оборотовъ, изолированныхъ другъ отъ друга и замкнутыхъ на себя, но расположенныхъ такимъ образомъ, чтобы каждый изъ нихъ обхватывалъ сердечникъ по двумъ противоположнымъ образующимъ и основанія цилиндра по двумъ со-отвѣтствующимъ діаметрамъ. Только въ этомъ случаѣ r_1

будетъ обозначать сопротивленіе части обмотки, расположенной по одну сторону оси O и занимающей на средней фибрѣ B дугу, равную одному сантиметру. Такого рода обмотка подобна барабанообразной обмоткѣ Гейфнера Алтенека, обороты которой были бы замкнуты на себя.

Легко видѣть, что всѣ точки этихъ оборотовъ, расположенныя на оси O , будутъ имѣть потенциалъ равный нулю. Можно, слѣдовательно, соединить всѣ эти обороты вмѣстѣ въ центрахъ основаній цилиндра посредствомъ, напримѣръ, колецъ, концентричныхъ оси двигателя. Наконецъ, чтобы уменьшить сопротивленіе такой обмотки и упростить устройство арматуры, уничтожаютъ совершенно радіальныя части проволокъ и увеличиваютъ діаметръ указанныхъ выше колецъ. Такая обмотка представляетъ собою родъ арматуры Доливо-Добровольскаго, о которой мы уже упоминали раньше.

Примѣненіе вычисленій къ промышленному двигателю.

Арматура. Возьмемъ какъ примѣръ двухъполюсный двигатель съ арматурою изъ полосъ системы Доливо-Добровольскаго и Броуна (рис. 42). Число перемѣнъ тока n извѣстно; въ противномъ случаѣ ему даютъ опредѣленную величину, близкую, напримѣръ, 50 періодамъ въ секунду. Положимъ, что замедленіе при полной нагрузкѣ составляетъ 5%. Слѣдовательно:

$$\frac{n - n'}{n} = 0,05.$$

Такимъ образомъ, угловая скорость двигателя n' (число оборотовъ въ секунду) будетъ извѣстна. Въ предварительномъ проектѣ двигателя опредѣляютъ радіусъ арматуры такъ, чтобы ея касательная скорость была около 15 метровъ въ секунду; затѣмъ берутъ ширину l равную радіусу.

Площадь поперечнаго сѣченія всѣхъ полосъ должна быть опредѣлена такой, чтобы *сопротивленіе R всѣхъ этихъ*

полосъ, соединенныхъ параллельно было, равно всему сопротивленію обмотки, вычисленному нами выше, а именно:

$$(1) \quad R = \frac{r^2}{2\pi \left(\rho - \frac{\delta_2}{2} \right)}$$

Тогда выбираютъ для каждой полосы сѣченіе и форму такія, чтобы плотность индукціи въ желѣзѣ между двумя полосами была меньше 15000 единицъ С. G. S.

Поперечное сѣченіе каждаго изъ колець, соединяющихъ полосы, опредѣлится смотря по силѣ максимальнаго тока, проходящаго по какому-либо обороту. Этотъ токъ имѣетъ своимъ выраженіемъ:

$$(2) \quad \left\{ \begin{aligned} C &= \int_0^{\frac{\pi}{2}} i_2 \left(\rho - \frac{\delta_2}{2} \right) d\alpha = \left(\rho - \frac{\delta_2}{2} \right) J_2 \\ &= \frac{M}{\pi l \rho \beta_m} \end{aligned} \right.$$

Максимальная плотность индукціи β_m въ междужелѣзномъ пространствѣ должна быть взята между 3000 и 6000 единицъ С. G. S., смотря по размѣрамъ двигателя; двигателямъ съ наибольшею работоспособностью должно соответствовать большее число этихъ единицъ.

Индукторъ. Толщина индуктирующаго сердечника A опредѣлится по максимальной плотности индукціи $\frac{b_m}{l\delta_1}$, которая должна быть меньше 10000 единицъ С. G. S.

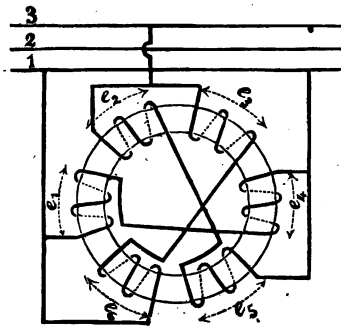
Въ дѣйствительности обмотка индуктора состоитъ не изъ безконечнаго числа оборотовъ, питаемыхъ токами, напряженіе которыхъ непрерывно измѣняется въ различныхъ точкахъ окружности; обыкновенно обмотку составляетъ нѣкоторое число катушекъ, изъ которыхъ каждая занимаетъ извѣстную часть кольца; эти катушки подвержены колебаніямъ напряженія, представляющаго для двухъ

какихъ нибудь послѣдовательныхъ катушекъ разность фазъ, равную части періода, которая можетъ быть выражена частнымъ отъ дѣленія единицы на число индуктирующихъ катушекъ, соответствующее двумъ полосамъ.

Мы уже указали (рис. 47) воспроизводимую ниже схему кольца съ двумя полюсами, снабженного тремя парами катушекъ, соединенныхъ послѣдовательно по двѣ и питаемыхъ тремя токами, отодвинутыми на $\frac{1}{3}$ періода; три цѣпи имѣютъ соединеніе треугольникомъ.

На рис. 17 изображено кольцо съ 2-мя полюсами и 12 обмотками, питаемыми также тремя токами, имѣющими

попарно отодвинутіе фазы на $\frac{1}{3}$ періода. Чѣмъ будетъ больше число обмотокъ, тѣмъ болѣе мы приблизимся къ гипотезѣ, допущенной нами при вычисленіи двигателя. Въ случаѣ рис. 55 разность фазъ токовъ въ двухъ сосѣднихъ обмоткахъ равна $\frac{1}{6}$ періода, а въ случаѣ рис. 17 она составляетъ лишь $\frac{1}{12}$ періода.



фиг. 55.

Разсмотримъ индукторъ съ двумя полюсами (рис. 55), возбуждаемый шестью обмотками занимающими каждая $\frac{1}{6}$ окружности. Напряженія у зажимовъ этихъ обмотокъ будутъ равны.

$$e_1 = \varepsilon \sin 2 \pi n t$$

$$e_2 = \varepsilon \sin \left(2 \pi n t + \frac{2 \pi}{6} \right)$$

$$e_3 = \varepsilon \sin \left(2 \pi n t + \frac{4 \pi}{6} \right)$$

$$e_4 = \varepsilon \sin \left(2 \pi n t + \frac{6 \pi}{6} \right) = -e_1$$

Откуда:

$$(3) \quad \varepsilon = \frac{1}{2} \frac{E \sqrt{2}}{e_m}$$

Е есть эффективное напряженіе у зажимовъ пары обмотокъ діаметрально противоположныхъ.

Слѣдовательно, токъ I будетъ имѣть свою величину:

$$(4) \quad I = \frac{\frac{2\pi}{6} \frac{D}{2} J_2}{\varepsilon \sqrt{2}} = \frac{\pi}{6} \frac{D J_2 e_m}{E}$$

Плотности тока въ индуктирующихъ и индуктируемыхъ обмоткахъ, а также поверхности лучеиспусканія выделяющейся теплоты опредѣляются тѣмъ же способомъ, какъ и для динамо постоянного тока.

ЧЕТВЕРТАЯ ЧАСТЬ.

Трансформаторы многофазныхъ токовъ.

ГЛАВА VII.

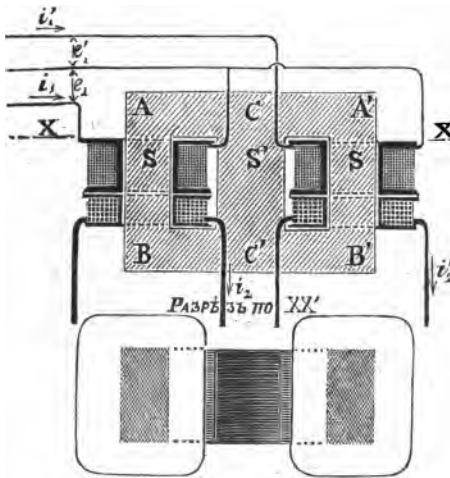
Теорія трансформаторовъ многофазныхъ токовъ.

Трансформаторы многофазныхъ токовъ, помимо многочисленности цѣпей, не представляютъ значительной разницы съ трансформаторами однофазнаго тока. Въ виду этого мы не будемъ останавливаться на вычисленіи этихъ приборовъ, отсылая желающихъ имѣть болѣе полныя свѣдѣнія къ сочиненіямъ, трактующимъ объ обыкновенныхъ трансформаторахъ переменнаго тока.

Трансформаторы двухфазнаго тона.

Рис. 56 представляетъ собою схему трансформатора двухфазнаго тока. Магнитная цѣпь такого трансформатора имѣетъ большое сходство съ электрическою цѣпью двухфазнаго тока. Сердечникъ изъ тонкаго листового желѣза состоитъ изъ двухъ полосъ АВ, А'В', изъ которыхъ каждая снабжена одной изъ двухъ первичныхъ катушекъ, питаемыхъ двумя токами, отодвинутыми относительно другъ друга на четверть періода, и одною вторичною ка-

тушкой. Третья промежуточная полоса CC' соединена съ двумя первыми сторонами AA' , BB' ; линии силъ, образуемыя AB , $A'B'$, замыкаются CC' . Последняя полоса не имѣетъ обмотки. Такимъ образомъ приборъ состоитъ какъ бы изъ двухъ простыхъ трансформаторовъ, питаемыхъ каждый однимъ изъ токовъ, отодвинутыхъ на четверть фазы, и имѣющихъ одну общую часть магнитныхъ цѣпей.



фиг. 56.

Мы допустимъ, что магнитными потерями въ воздухѣ можно пренебречь.

Пусть будетъ:

e_1 , e_1' мгновенныя напряжения у зажимовъ двухъ первичныхъ катушекъ;

E_1 ихъ общая средняя эффективная;

i_1 , i_1' первичные мгновенные токи;

I_1 ихъ средняя эффективная;

e_2 , e_2' вторичныя электровозбудительныя силы;

E_2 ихъ средняя эффективная;

i_2 , i_2' вторичные токи;

I_2 ихъ средняя эффективная;

n число перемѣнъ тока (періодовъ въ секунду);

R_1 сопротивленіе первичной катушки;

R_2 » вторичной »

b , b' мгновенныя индукціи въ вѣтвяхъ AB , $A'B'$;

B ихъ максимумъ;

S общее сѣченіе вѣтвей AB , $A'B'$;

S' сѣченіе промежуточной вѣтви CC' ;

N_1 число оборотовъ на первичной катушкѣ;
 N_2 » » » вторичной »

Имѣемъ четыре главных уравненія:

$$(1) \quad e_1 - R_1 i_1 - N_1 \frac{db}{dt} = 0$$

$$(2) \quad -e_2 - N_2 \frac{db}{dt} = 0$$

$$(3) \quad e'_1 - R_1 i'_1 - N_1 \frac{db'}{dt} = 0$$

$$(4) \quad -e'_2 - N_2 \frac{db'}{dt} = 0$$

Уравненія (1) и (3) показываютъ, что если максимумъ потери напряженія $R_1 i_1$, $R_1 i'_1$ въ каждой первичной обмоткѣ очень малъ сравнительно съ наибольшими первичными напряженіями e_1 , e'_1 (въ промышленныхъ трансформаторахъ эта потеря составляетъ отъ одного до половины процента напряженія у первичныхъ зажимовъ), то индукціи b , b' въ вѣтвяхъ АВ, А'В' будутъ синусоидальными функціями времени. Слѣдовательно, мы можемъ написать,

означивъ чрезъ φ уголъ, очень близкій къ $\frac{\pi}{2}$:

$$(5) \quad b = B \sin (2 \pi n t + \varphi)$$

$$(6) \quad b' = -B \cos (2 \pi n t + \varphi).$$

Поэтому, изъ уравненій (2) и (4) слѣдуетъ, что электровозбуждающія силы e_2 , e'_2 , порождаемыя во вторичныхъ катушкахъ, будутъ также синусоидальными функціями времени.

Вся индукція въ промежуточной полосѣ СС' въ моментъ t будетъ:

$$-b - b' = -B [\sin (2 \pi n t + \varphi) - \cos (2 \pi n t + \varphi)]$$

$$(7) \quad = -B \sqrt{2} \sin \left(2 \pi n t + \varphi - \frac{\pi}{4} \right)$$

Слѣдовательно, фаза этой индукціи въ CC' запаздываетъ на $\frac{1}{8}$ періода относительно фазы b и находится впереди на $\frac{1}{8}$ періода относительно фазы b' .

Ея абсолютный максимумъ равенъ $B\sqrt{2}$, т. е. наибольшей величинѣ всей индукціи въ каждой изъ полосъ AB , $A'B'$, умноженной на 1,41. Если, слѣдовательно, хотятъ имѣть одинаковое напряженіе индукціи въ трехъ полосахъ, то поперечное сѣченіе S' , промежуточной полосы должно быть:

$$(8) \quad S' = S\sqrt{2}$$

Связи AC , BC' , $A'C$, $B'C'$ подвержены индукціямъ b и b' ; ихъ сѣченіе должно быть, слѣдовательно, одинаково съ сѣченіемъ полосы AB или $A'B'$.

Уравненія (1) и (2) могутъ быть написаны такъ:

$$e_1 = R_1 i_1 + N_1 \frac{db}{dt}$$

$$e_2 = - N_2 \frac{db}{dt}$$

Слѣдовательно, если, какъ мы уже сказали, максимумъ $R_1 i_1$ очень малъ, сравнительно съ максимумомъ e_1 , то фазы напряженій первичнаго e_1 и вторичнаго e_2 , соответствующія одной и той же полосѣ AB , будутъ почти противоположны, т. е. фаза электровозбудительной силы вторичной катушки будетъ запаздывать на полъ періода относительно напряженія у зажимовъ первичной катушки.

Изъ уравненій (1) и (2) получаемъ еще:

$$(9) \quad e_1 = R_1 i_1 - \frac{N_1}{N_2} e_2$$

Коэффициентъ $\frac{N_1}{N_2}$ есть то, что называютъ отдачей разсматриваемаго трансформатора; это есть частное отъ дѣленія первичнаго напряженія на вторичную электровоз-

будительную силу, когда трансформаторъ дѣйствуетъ при разомкнутой вторичной цѣпи.

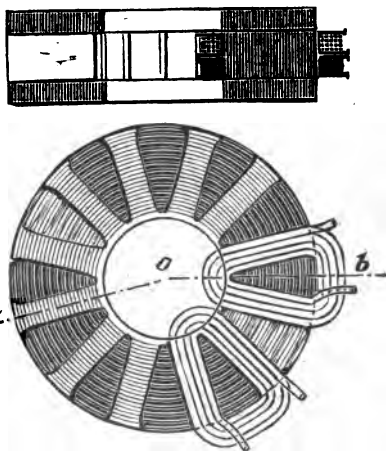
Сдѣлавъ эти замѣчанія, вычисленіе трансформатора двухфазнаго тока данной работоспособности P приводится къ вычисленію двухъ трансформаторовъ однофазнаго тока, имѣющихъ каждый работоспособность $\frac{P}{2}$ и долженствующихъ преобразовать токъ даннаго эффективнаго напряженія E_1 и числа перемѣнъ n въ токъ также даннаго эффективнаго напряженія E_2 .

Трансформаторъ двухфазнаго тока Шукерта.

Магнитный сердечникъ этого трансформатора, изображенный на рис. 57, состоитъ изъ двухъ частей. Одна изъ

нихъ представляетъ собою тонкую ленту изъ листового желѣза, свернутую въ спираль въ видѣ плоскаго кольца, въ которомъ сдѣланы выемки по направленію радиусовъ, опредѣляющія на одной изъ сторонъ диска рядъ зубцовъ, параллельныхъ оси. Эти зубцы черезъ два снабжены одною первичною и одною вторичною катушками, расположенными одна надъ другою.

Разрѣзъ по $аоб$.

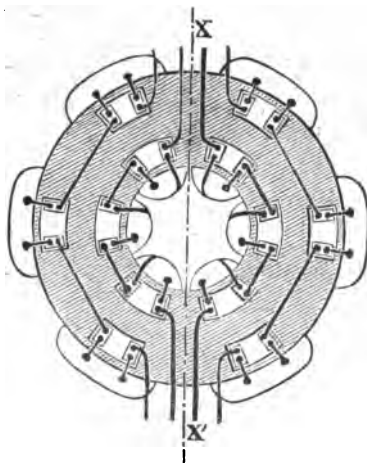


фиг. 57.

Первичныя катушки, находящіяся влѣво отъ діаметра XX^1 (рис. 58) соединены послѣдовательно и составляютъ одну изъ двухъ первичныхъ цѣпей. Соотвѣтствующія вторичныя катушки также соединены послѣдовательно и составляютъ вторичную цѣпь. Катушки, расположенныя

вправо отъ діаметра XX^1 , соединены такимъ же образомъ и составляютъ вторую первичную и вторую вторичную цѣпи.

Вторая часть сердечника представляетъ собою сплошной дискъ, составленный также изъ тонкой желѣзной ленты,



фиг. 58.

свернутой въ спираль. Этотъ дискъ укрѣпленъ на первомъ кольцѣ посредствомъ болтовъ.

Линіи силъ, образуемыя какой нибудь отдѣльной обмоткой, замыкаются посредствомъ крышки и двухъ зубцовъ, расположенныхъ съ одной и съ другой стороны.

Соединенія двухъ рядовъ первичныхъ катушекъ расположены на вѣншей сторонѣ крышки, а вторичныхъ катушекъ на внутренней сторонѣ этого кольца.

Легко видѣть, что всѣ зубцы сердечника должны имѣть одинаковое сѣченіе и что поперечное сѣченіе крышки, а также желѣза, соединяющаго два зубца, должно быть каждое равно половинѣ нормальнаго сѣченія зубца.

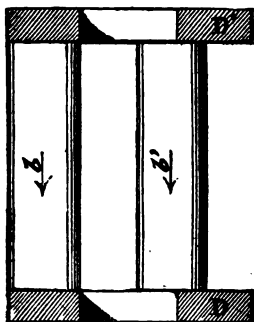
Въ концѣ концовъ такой трансформаторъ представляетъ собою два почти независимыхъ трансформатора однофазнаго тока, соединенныхъ вмѣстѣ.

При установкѣ фирмою Шукертъ передачи энергіи на Франкфуртской выставкѣ 1891 года такіе трансформаторы дѣйствовали на станціи отправления для подъема напряженія и на станціи назначенія для уменьшенія его.

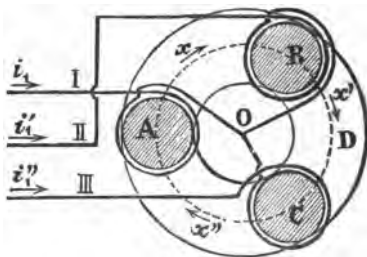
Трансформаторы трехфазных токовъ.

Разсмотримъ желѣзный остовъ (рис. 59 и 60), состоящій изъ трехъ параллельныхъ сердечниковъ А, В, С, магнетически соединенныхъ своими концами посредствомъ двухъ желѣзныхъ вѣнцовъ D, D'.

Бруски А, В, С представляютъ собою пучки желѣзныхъ проволокъ или полость, а кольца D, D' состоятъ изъ желѣзной ленты, свернутой въ спираль.



фиг. 59.



фиг. 60.

Каждый изъ брусковъ имѣетъ одну первичную обмотку и одну вторичную. Рис. 60 представляетъ схему первичной обмотки при соединеніи звѣздочкой. Вторичная обмотка расположена точно также. Три первичныя напряжения представляютъ попарно разность фазъ равную $\frac{1}{3}$ періода.

Пусть будетъ:

e_1, e'_1, e''_1 напряжения у зажимовъ первичныхъ обмотокъ брусковъ А, В, С;

E_1 ихъ средняя эффективная;

i_1, i'_1, i''_1 мгновенные первичные токи;

I_1 ихъ средняя эффективная;

n число перемѣнъ тока;

R_1 сопротивление одной первичной катушки;

e_2, e'_2, e''_2 вторичныя электровозбудительныя силы;
 E_2 ихъ средняя эффективная;
 i_2, i'_2, i''_2 вторичныя токи;
 N_1 число оборотовъ на первичной катушкѣ;
 N_2 число оборотовъ на вторичной катушкѣ;
 S сѣченіе каждаго сердечника А, В, С;
 σ поперечное сѣченіе вѣнцовъ D, D';
 b, b', b'' индукціи въ сердечникахъ А, В, С въ моментъ t ;
 B ихъ максимумъ;
 x, x', x'' индукціи въ частяхъ вѣнцовъ, расположенныхъ между брусками А, В, С;
 X ихъ максимумъ;

Вслѣдствіе сдѣланныхъ предположеній, будемъ имѣть:

$$(1) \quad e_1 = E \sqrt{2} \sin 2 \pi n t$$

$$(2) \quad e'_1 = E \sqrt{2} \sin \left[2 \pi n t - \frac{2 \pi}{3} \right]$$

$$(3) \quad e''_1 = E \sqrt{2} \sin \left[2 \pi n t - \frac{4 \pi}{3} \right]$$

Три первичныхъ обмотки даютъ уравненія:

$$(4) \quad e_1 - R_1 i_1 - N_1 \frac{d b}{d t} = 0$$

$$(5) \quad e'_1 - R_1 i'_1 - N_1 \frac{d b'}{d t} = 0$$

$$(6) \quad e''_1 - R_1 i''_1 - N_1 \frac{d b''}{d t} = 0$$

Разсматривая три вторичныхъ цѣпи, будемъ имѣть:

$$(7) \quad -e_2 - N_2 \frac{d b}{d t} = 0$$

$$(8) \quad -e'_2 - N_2 \frac{db'}{dt} = 0$$

$$(9) \quad -e''_2 - N_2 \frac{db''}{dt} = 0$$

Уравнения 1, 2, 3 даютъ, какъ это мы уже видѣли въ первой части этого сочиненія:

$$(10) \quad e_1 + e'_1 + e''_1 = 0$$

Если мы допустимъ, что магнитными потерями въ воздушъ можно пренебречь, то будемъ имѣть:

$$(11) \quad b + b' + b'' = 0$$

Откуда:

$$(12) \quad db + db' + db'' = 0$$

Въ то же время, въ силу равенствъ 4, 5, 6, 10 и 12, имѣемъ:

$$(13) \quad i_1 + i'_1 + i''_1 = 0$$

Магнитная цѣпь трансформатора трехфазнаго тока представляетъ, такимъ образомъ, большое сходство съ электрическою цѣпью трехфазнаго тока. Линіи силъ, образуемыя каждой изъ отдѣльныхъ обмотокъ одного бруска, замыкаются посредствомъ двухъ другихъ брусковъ, какъ это показываетъ равенство 11.

Изъ уравненій 4, 5, 6 слѣдуетъ, что если максимальная величина потерь напряженія $R_1 i_1$, $R_1 i'_1$, $R_1 i''_1$ въ первичныхъ катушкахъ очень мала сравнительно съ максимальной величиной напряженій e_1 , e'_1 , e''_1 , то функціи $\frac{db}{dt}$, $\frac{db'}{dt}$, $\frac{db''}{dt}$ будутъ замѣтно синусоидальны, каковы бы ни были видъ первичныхъ токовъ i_1 , i'_1 , i''_1 . Индукціи b , b' , b'' будутъ, слѣдовательно, также синусоидальными функціями.

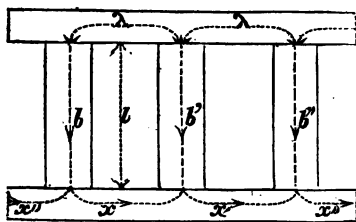
Можно еще видѣть, что фазы вторичныхъ напряженій замѣтно противоположны соответствующимъ фазамъ первичныхъ напряженій.

Мы можем, следовательно, написать, обозначивъ чрезъ φ уголъ очень близкій къ $\frac{\pi}{2}$:

$$(14) \quad b = B \sin (2 \pi n t + \varphi)$$

$$(15) \quad b' = B \sin \left[2 \pi n t + \varphi - \frac{2 \pi}{3} \right]$$

$$(16) \quad b'' = B \sin \left[2 \pi n t + \varphi - \frac{4 \pi}{3} \right]$$



фиг. 61.

Разсмотримъ теперь индукции x, x', x'' въ каждомъ изъ вѣнцовъ. На рис. 61 изображена развертка остова по среднему цилиндру. Очевидно имѣемъ:

$$(17) \quad x - x'' = b$$

$$(18) \quad x' - x = b'$$

$$(19) \quad x'' - x' = b''$$

$$(20) \quad 2 \frac{\lambda}{\mu \sigma} x = 4 \pi N_1 (i_1 - i'_1) + \frac{l}{\mu S} (b' - b)$$

$$(21) \quad 2 \frac{\lambda}{\mu \sigma} x' = 4 \pi N_1 (i'_1 - i''_1) + \frac{l}{\mu S} (b'' - b')$$

$$(22) \quad 2 \frac{\lambda}{\mu \sigma} x'' = 4 \pi N_1 (i''_1 - i_1) + \frac{l}{\mu S} (b - b'')$$

Сложивши почленно эти три уравненія, получимъ.

$$(23) \quad x + x' + x'' = 0$$

Изъ 17, 18 и 23 получаемъ:

$$(24) \quad x = \frac{1}{3} (b - b')$$

или

$$x = \frac{B}{3} \left[\sin (2 \pi n t + \varphi) - \sin \left(2 \pi n t + \varphi - \frac{2 \pi}{3} \right) \right]$$

$$(25) \quad = \frac{B \sqrt{3}}{3} \sin \left[2 \pi n t + \varphi + \frac{\pi}{6} \right]$$

Абсолютный максимумъ индукціи x будетъ слѣдовательно:

$$(26) \quad X = \frac{B \sqrt{3}}{3} = 0,577 B$$

Если, слѣдовательно, хотять, чтобы плотность максимальной индукціи была одинакова въ вѣнцахъ и въ сердечникахъ, снабженныхъ обмотками, то необходимо взять:

$$(27) \quad \sigma = 0,577 S$$

Установивши это, вычисленіе трансформатора трехфазнаго тока работоспособности P представляетъ мало разницы съ вычисленіемъ трехъ одинаковыхъ трансформаторовъ однофазнаго тока работоспособности $\frac{P}{3}$, питаемыхъ каждый однимъ изъ трехъ первичныхъ токовъ и дающихъ одинъ изъ трехъ вторичныхъ токовъ.

На рис. 59 и 60 указанъ общій видъ магнитнаго сердечника трансформаторовъ трехфазнаго тока, употреблявшихся при передачѣ энергіи отъ Лауффена до Франкфурта въ 1891 году.

Трансформаторъ, который былъ установленъ въ Лауффенѣ для увеличенія напряженія, даваемого генераторомъ, имѣлъ работоспособность въ 200 килоуаттовъ. Нормальное напряженіе между концами каждой первичной катушки и центромъ звѣздочки было равно 50 вольтамъ. Вторичная обмотка или обмотка высокаго напряженія имѣла также соединеніе звѣздочкой.

Отношеніе чиселъ оборотовъ проволоки вторичной и первичной обмотокъ было равно 160. Напряженіе между вторичнымъ зажимомъ и центромъ звѣздочки было, слѣдовательно:

$$50^\circ \times 160 = 8000 \text{ вольтовъ}$$

и напряженіе у двухъ вторичныхъ зажимовъ:

$$8000^{\circ} \times 1,73 = 13840 \text{ вольтовъ.}$$

Число перемѣнъ тока равнялось 40 періодамъ въ секунду.

Обѣ обмотки, первичная и вторичная, были расположены концентрически. Первичная обмотка на сердечникѣ была изъ толстой проволоки; вторичная обмотка изъ тонкой проволоки покрывала первую. Эти обмотки были изолированы другъ отъ друга фарфоровой муфтой. Кромѣ того, вторичная обмотка была раздѣлена на большое число секцій посредствомъ изолирующихъ діафрагмъ, перпендикулярныхъ оси.

Трансформаторъ послѣ тщательной высушки былъ заключенъ въ футляръ изъ листового желѣза, который затѣмъ наполнили смолистымъ масломъ.

ГЛАВА VIII.

Двойное преобразование. Употребленіе трансформаторовъ, увеличивающихъ напряженіе.

Мы уже указали въ предшествующей главѣ, что при употребленіи для полученія многофазныхъ токовъ обыкновенной динамо постоянного тока, снабженной кольцами, представляется необходимымъ пользоваться трансформаторомъ для увеличенія напряженія генератора, какъ только напряженіе тока линіи должно превысить нѣсколько сотъ вольтовъ.

Динамо Броуна, употреблявшаяся при передачѣ энергіи отъ Лауффена до Франкфурта, относительно которой мы уже сдѣлали нѣкоторыя указанія во второй части этого труда, также не можетъ быть употреблена для непосредственнаго полученія высокихъ напряженій. Устрой-

ство ея арматуры можетъ быть, очевидно, только тогда экономичнымъ, когда ея обмотка состоитъ изъ полосъ, но въ этомъ случаѣ получаются токи большой силы и слабого напряженія. Если, наоборотъ, обмотка арматуры состояла бы изъ проволокъ, соединенныхъ послѣдовательно, то самое обматываніе проволоки представило бы затрудненіе, а также изоляція и форма проволокъ значительно уменьшили бы объемъ металла, могущаго быть полезнымъ. Такимъ образомъ, работоспособность динамо при томъ же ея остовѣ была бы уменьшена, а слѣдовательно и отдача машины; стоимость же единицы работоспособности, наоборотъ, увеличилась бы. Кромѣ того, при такомъ устройствѣ арматуры трудно получить полное изолированіе обмотки арматуры отъ сердечника. И въ этомъ случаѣ, слѣдовательно, необходимо присоединить къ генератору трансформаторъ, увеличивающій напряженіе.

Обыкновенныя динамо переменнаго тока довольно хорошо примѣняются для непосредственнаго полученія высокихъ напряженій. Индуктируемыя катушки, соединенныя послѣдовательно, могутъ быть установлены отдѣльно на подставкахъ, тщательно изолированныхъ отъ другихъ частей машины. Такимъ образомъ, въ случаѣ сообщенія съ металлической массою, наибольшая разность потенціала, которая могла бы существовать между какой нибудь точкой обмотки и металлической массою, была бы наибольшее равна напряженію, производимому этой самой обмоткой.

Посредствомъ очень сильныхъ альтернаторовъ, когда возможно придать большое значеніе изоляціи, не уменьшая въ то же время чувствительно работоспособности машины, можно получить очень высокія напряженія, не прибѣгая къ трансформаторамъ. Такъ динамо Ферранти въ 1500 лошадиныхъ силъ, установленныя на станціи Deptford возлѣ Лондона, даютъ непосредственно эффективное напряженіе въ 10000 вольтовъ при 100 амперахъ, 48 индуктируемыхъ катушекъ установлены парами на подстав-

кахъ, прикрѣпленныхъ къ бронзовой ступицѣ арматуры посредствомъ эбонитныхъ изоляторовъ и задѣланныхъ сърою. Кромѣ того, во избѣжаніе боковыхъ разрядовъ полюсныя поверхности индуктора покрываются эбонитомъ.

Установка динамо меньшей работоспособности для получения столь высокаго напряженія была бы непрактичной вслѣдствіе того значенія, которое приобрѣла бы изоляція относительно мѣди арматуры, а также вслѣдствіе величины междужелѣзнаго пространства.

На электрической станціи Deptford'a установлено еще два альтернатора Ферранти, дающихъ каждый 200 амперовъ и 2400 вольтовъ; батарея трансформаторовъ въ 150 электрическихъ лошадей подымаетъ напряженіе до 10000 вольтовъ. На сколько намъ извѣстно, это одно изъ первыхъ промышленныхъ примѣненій трансформаторовъ для предварительнаго подъема напряженія.

Употребленіе генератора низкаго напряженія съ трансформаторомъ для увеличенія послѣдняго представляетъ большую безопасность для служащихъ, которымъ порученъ надзоръ за машинами и управленіе приборами, находящимися на распредѣлительной доскѣ.

Къ такой динамо можно прикасаться безопасно во время ея дѣйствія; что же касается трансформатора, то такъ какъ онъ не имѣетъ ни одной подвижной части, то надзоръ за нимъ почти совершенно не нуженъ и онъ можетъ быть помѣщенъ въ футляръ такимъ образомъ, чтобы всякое соприкосновеніе съ нимъ сдѣлалось невозможнымъ. Наконецъ, не считая электрометровъ, включеніе которыхъ въ цѣпь высокаго напряженія можетъ быть полезнымъ, но которые слѣдуетъ помѣщать такимъ образомъ, чтобы было невозможнымъ соприкосновеніе съ тѣми ихъ частями, которыя соединены съ токомъ, всѣ остальные приборы, какъ то: вольтметры, амперометры, прерыватели и реостаты помѣщаются на распредѣлительной доскѣ и имѣютъ соединеніе только съ токомъ генератора и съ токомъ, возбуждающимъ послѣдній. Однако, слѣдуетъ избѣгать

употребленія генераторовъ слишкомъ низкаго напряженія, чтобы не имѣть дѣла съ токами громадной силы, которые требуютъ черезъ чуръ уже значительныхъ размѣровъ для прерывателей и для соединеній динамо съ трансформаторомъ и съ приборами распредѣлительной доски.

Какъ на недостатки этого способа получения токовъ высокаго напряженія указывали:

1. На увеличеніе стоимости установки, вслѣдствіе необходимости пріобрѣтать трансформаторъ для подъема напряженія;

2. На уменьшеніе окончательной отдачи (отъ оси динамо до зажимовъ у начала линіи).

При употребленіи динамо нѣкоторыхъ системъ значительная часть дополнительнаго расхода на пріобрѣтеніе трансформатора покрывается экономіей отъ установки генератора низкаго напряженія.

На второе замѣчаніе мы отвѣтимъ, что возможно построить, какъ это сдѣлалъ Броунъ, динамо низкаго напряженія, отдача которой была бы значительнѣе динамо высокаго напряженія, и этимъ покрыть расходъ на пріобрѣтеніе трансформатора.

Не имѣя точныхъ данныхъ относительно отдачи генераторовъ, производящихъ непосредственно многофазный токъ высокаго напряженія, мы сравнимъ, въ подтвержденіе высказаннаго нами, обыкновенный генераторъ системы Lotin, дѣйствующій на одной значительной электрической станціи, съ трехфазной динамо Броуна въ 300 лошадиныхъ силъ.

Нормальная работоспособность альтер-	
натора однофазнаго тока	400 килоуаттовъ
Нормальный расходъ	133 ампера
Эффективное напряженіе	3000 вольтовъ
Число періодовъ въ секунду	40
Потеря работоспособности въ индукти-	
руемой обмоткѣ	3%

Работоспособность, поглощаемая возбужденіемъ.	3,5°/о
Потеря вслѣдствіе токовъ Фуко, гистерезиса, вентиляціи и т. п.	8°/о
Вся потеря работоспособности.	14,5°/о
Промышленная гарантированная отдача.	85,5°/о

Обратимся теперь къ таблицѣ, которую мы приводимъ ниже и въ которой отмѣчены результаты, полученные комиссіей Франкфуртской выставки, производившей опыты надъ передачей энергіи посредствомъ трехфазнаго тока, установленнаго мастерскими Эрликона и Allgemeine Electricitäts Gesellschaft.

Динамо была построена для поглощенія 300 лощ. силъ, число перемѣнъ тока равнялось 40.

Какъ видно изъ таблицы, наибольшая работоспособность, которая была доставлена генератору при этихъ опытахъ, равнялась, считая и возбужденіе, 197,4 лощ. силъ. Свободная работоспособность у зажимовъ динамо была равна 184,8 лощ. силамъ, что соответствуетъ отдачѣ генератора въ 93,5°/о. Слѣдовательно, трансформаторъ получалъ у своихъ первичныхъ зажимовъ 184,8 лощ. силъ, а отдавалъ у вторичныхъ зажимовъ (высокаго напряженія) 177,6 лощ. силъ. Такимъ образомъ отдача трансформатора при этихъ условіяхъ составляла 96,1°/о. Слѣдовательно, окончательная отдача отъ оси динамо до вторичныхъ зажимовъ трансформатора равнялась:

$$\frac{177,6}{197,4} = 0,935 \times 0,961 = \text{почти } 0,90.$$

Судя по этимъ опытамъ, не смотря на то, что нагрузка генератора и трансформатора не составляла и $\frac{2}{3}$ ихъ нормальной нагрузки, окончательная отдача всей группы была равна почти 90°/о.

Мы видимъ, такимъ образомъ, по этому частному примѣру, что не смотря на неблагопріятныя условія: мень-

шую нормальную работоспособность и дѣйствіе съ неполной нагрузкой, окончательная отдача въ приведенномъ случаѣ все же превышаетъ отдачу генератора высокаго напряженія.

Если мы допустимъ отдачу въ 96%, объявленную для динамо Броуна при полной нагрузкѣ и отдачу въ 97% для трансформатора въ 200 килоуаттовъ при полной нагрузкѣ, то окончательная отдача будетъ равна:

$$0,96 \times 0,97 = \text{почти } 0,93.$$

Употребленіе жидкаго изолятора.

Волокнистыя вещества, какъ то хлопчатая бумага и холстъ, пропитанныя гуммилакомъ, могутъ служить очень хорошими изоляторами, когда они только что приготовлены, но отъ продолжительнаго дѣйствія воздуха они становятся гигрометрическими и подвергаются порчѣ.

Вообще, не слѣдуетъ полагаться на воздухъ, какъ на тѣло діэлектрическое; влажность дѣлаетъ его хорошимъ проводникомъ. Если двѣ металлическія поверхности съ различными потенціалами раздѣлены слоемъ воздуха, то между ними является большое стремленіе къ разряду посредствомъ истеченія электричества. Если, кромѣ того, изолированіе произведено твердымъ діэлектрическимъ тѣломъ, напримѣръ эбонитомъ, поверхность котораго способна повреждаться отъ дѣйствія воздуха и свѣта, то можетъ случиться, при очень высокихъ переменныхъ напряженіяхъ, что временное увеличеніе напряженія вызоветъ искру, которая затѣмъ преобразуется въ дугу.

Преимущества жидкаго изолятора состоятъ въ томъ, что въ него можетъ быть совершенно погруженъ трансформаторъ, чѣмъ исключается всякая возможность соприкосновенія съ воздухомъ и влажностью, а также разряды посредствомъ истеченія электричества приводятся къ нулю. Если же, однако, и въ этомъ случаѣ появилась бы

искра, то изоляція возстановилась бы немедленно по ея исчезновеніи, если, конечно, эта искра не была бы на столько сильна, чтобы разложить жидкій изоляторъ и образовать себѣ изъ углерода какъ бы мостъ проводникъ между двумя металлическими поверхностями.

Въ качествѣ жидкаго изолятора употребляютъ различные сорта маслъ, которыя не должны заключать и слѣда воды или кислоты. Масло для изоляціи трансформаторовъ должно быть плотнѣе воды, тогда, въ случаѣ проникновенія въ футляръ влажности, вода соберется и останется на поверхности изолятора. Тяжелое смолистое масло, приготовленное надлежащимъ образомъ, вполне удовлетворяетъ этимъ условіямъ.

Предварительно тщательно высушиваютъ трансформаторъ въ песокъ, а затѣмъ помѣщаютъ его въ металлическій или каменный футляръ, который наполняютъ кипящимъ масломъ; масло это вновь подвергаютъ кипѣнію для того, чтобы удалить послѣдніе слѣды влажности и пузырьки воздуха, послѣ чего закрываютъ футляръ.

Первое примѣненіе масла въ качествѣ изолятора было сдѣлано въ 1854 г. въ Парижѣ любителемъ механикомъ Жаномъ; сначала онъ высушивалъ индуктивную катушку въ теплѣ, а затѣмъ заканчивалъ это высушиваніе въ пустотѣ, послѣ чего погружалъ катушку въ терпентинное масло.

Почти одновременно Поггендорфъ предложилъ употреблять также масло для изолированія индуктивныхъ катушекъ.

Въ послѣдніе годы употребленіе масла для изоляціи было усердно рекомендовано Давидомъ Броокмъ, Жонономъ и Филиписомъ, Томсономъ-Хустономъ, Броуномъ и др. Трансформаторы Ферранти въ 150 лощ. силъ и 10000 вольтовъ погружаются въ масло; на станціи Deptford ящики соединенія фидеровъ также наполнены масломъ.

Преобразование многофазных токовъ въ постоянные.

Разсмотримъ кольцеобразный неподвижный индукторъ А, снабженный системой катушекъ, питаемыхъ двухфазнымъ или трехфазнымъ токомъ. Катушки, по которымъ проходитъ многофазный токъ, могутъ быть сгруппированы, согласно одной изъ указанныхъ нами выше схемъ.

Обмотка индуктора можетъ быть также непрерывною, какъ это мы уже замѣтили (рис. 36 стр. 74).

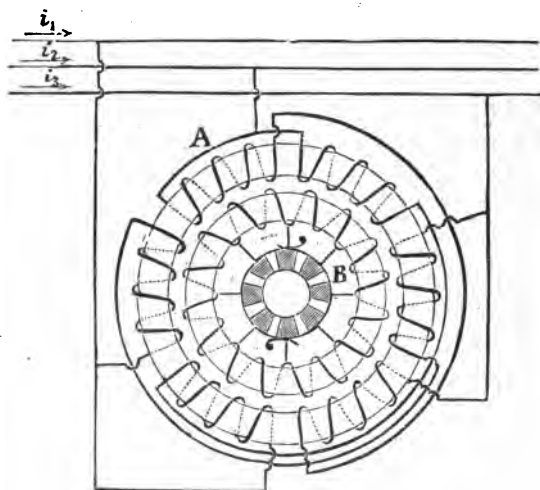
Если располагаютъ тремя токами, представляющими попарно разность фазъ въ $\frac{1}{3}$ періода, то можно принять способъ обмотки предложенный Доливо-Добровольскимъ, позволяющій получить шесть токовъ возбудителей, отодвинутыхъ попарно на $\frac{1}{12}$ періода.

Помѣстимъ концентрически этому индуктору второе кольцо, также неподвижное, системы Грамма на примѣръ, снабженное своимъ обыкновеннымъ коллекторомъ.

Вращающееся поле, производимое многофазнымъ токомъ, породить въ неподвижномъ кольцѣ В электровозбудительную силу, равную той, которая была бы произведена, если бы поле было неподвижно, а кольцо В вращалось въ обратную сторону со скоростью вращенія поля. Слѣдовательно, если имѣть двѣ щетки, соприкасающіяся съ коллекторомъ по нейтральной линіи, т. е. по діаметру, приблизительно перпендикулярному направленію поля въ данный моментъ, то можно собрать на этихъ щеткахъ постоянный токъ.

Такъ какъ поле, а слѣдовательно также и нейтральная линія перемѣщаются, то щетки должны слѣдовать за движеніемъ вращающагося поля. Для этого достаточно установить эти щетки на коромыслѣ, прикрѣпленномъ къ стержню изъ мягкаго желѣза или къ электромагниту, какъ это мы указали (стр. 71, рис. 34). подвижному вокругъ общей оси колецъ А и В и составляющему арматуру индуктора А. Такимъ образомъ щетки будутъ приводиться въ движеніе синхроничное вращенію поля.

Въ виду того, что щетки подвижны, онѣ должны быть соединены съ двумя кольцами, съ которыхъ уже и будетъ собираться токъ двумя другими неподвижными щетками.



фиг. 62.

Мы уже видѣли, что обыкновенная динамо постоянного тока, снабженная кольцами, можетъ служить трансформаторомъ многофазнаго тока въ постоянный.

Согласно высказанному нами на стр. 56, напряженіе постоянного тока и эффективное напряженіе двухфазнаго тока будутъ находиться, не принимая во вниманіе воздѣйствій armатуры, въ отношеніи 1,4 къ 1.

Гутенъ и Лебланъ предложили для преобразованія многофазныхъ токовъ въ постоянный токъ различныя приспособленія, описаніе которыхъ можно найти въ специальныхъ періодическихъ журналахъ.

Трансформаторъ многофазнаго тока въ постоянный Ламейера.

Этотъ приборъ есть измѣненный трансформаторъ постоянного тока того же Ламейера. Послѣдній трансформаторъ представляетъ собою динамо постоянного тока съ четырьмя индуктирующими полюсами и съ зубчатымъ барабаномъ, который имѣетъ двѣ обмотки, соединенныхъ каждая съ однимъ изъ двухъ коллекторовъ, расположенныхъ по одну и другую сторону арматуры.

Первичныя обмотки изъ тонкой проволоки помѣщаются на днѣ ложбинокъ, вторичныя же обмотки, производящія токъ низкаго напряженія, накладываются на первыя и занимаютъ верхнюю часть ложбинокъ.

Весьма важно сдѣлать невозможнымъ вторженіе тока высокаго напряженія въ цѣпь низкаго напряженія, что могло бы произойти какъ вслѣдствіе соприкосновенія двухъ обмотокъ, такъ и вслѣдствіе появленія между ними искры. Во избѣжаніе этого помѣщаютъ въ каждую ложбинку между двумя обмотками, первичной и вторичной, мѣдную изолированную съ обѣихъ своихъ сторонъ пластинку, выступающую внѣ ложбинки.

Кромѣ того, на одной изъ сторонъ арматуры вставляютъ между двумя обмотками двойную мѣдную ткань, соединенную электрически съ мѣдными пластинками ложбинокъ; на другой сторонѣ арматуры также помѣщаютъ между двумя обмотками подобную же металлическую ткань, но уже изолированную отъ мѣдныхъ пластинокъ. Эти двѣ части защищающаго покрова, состоящія одна изъ металлической ткани и мѣдныхъ пластинокъ, другая же только изъ металлической ткани соединены каждая отдѣльно съ остовомъ машины, а слѣдовательно и съ землею. Изоляція между двумя этими частями, очевидно, имѣетъ цѣлью воспрепятствовать появленію въ мѣдныхъ пластинкахъ вредныхъ токовъ. Такимъ образомъ вторичная цѣпь оказывается вполне защищенной отъ тока высокаго напряженія.

Трансформаторъ многофазнаго тока въ постоянный Ламейера отличается отъ описаннаго нами прибора въ своихъ главныхъ чертахъ только тѣмъ, что коллекторъ первичной обмотки замѣненъ въ немъ кольцами (въ числѣ трехъ въ случаѣ трехфазнаго тока), изолированными и соединенными съ обмоткой изъ тонкой проволоки.

Фирма Ламейера производитъ непосредственно трехфазный токъ высокаго напряженія генераторами съ отдѣльнымъ возбужденіемъ. Этотъ токъ проводится посредствомъ трехъ проволокъ до мѣста пользованія, гдѣ онъ проходитъ непосредственно по первичной обмоткѣ трансформаторовъ.

Электромагниты трансформатора, сердечникъ armатуры и первичныя обмотки составляютъ синхроничный двигатель трехфазнаго тока, приходящій въ движеніе автоматически; вторичная обмотка и электромагниты развѣ возбужденные представляютъ собою генераторъ постоянного тока низкаго напряженія. Этотъ токъ питаетъ вторичную канализацію, напримѣръ въ 110 вольтовъ, и служитъ для заряженія аккумуляторовъ.

Если распредѣляемая энергія должна служить не только для освѣщенія, но еще и двигательною силою, то небольшіе двигатели могутъ быть питаемы постояннымъ токомъ, тогда какъ большіе двигатели помѣщаются въ отвѣтвленія непосредственно отъ канализаціи многофазнаго тока высокаго напряженія. Такимъ образомъ получается экономія въ установкѣ вторичной канализаціи и вмѣстѣ съ тѣмъ увеличивается окончательная отдача.

Слѣдовательно, въ подобной системѣ электрическая энергія производится и передается въ видѣ многофазнаго тока высокаго напряженія, распредѣляется же она и аккумулируется въ видѣ постоянного тока низкаго напряженія за исключеніемъ, какъ это мы только что видѣли, случаевъ употребленія большихъ двигателей.

Преимущество этой системы передъ системой, въ которой энергія производится и передается въ видѣ посто-

янного тока высокаго напряженія, преобразуемаго затѣмъ въ постоянный токъ низкаго напряженія, заключается, очевидно, въ томъ, что въ ней совершенно устранены коллекторы тока высокаго напряженія какъ въ генераторахъ, такъ и въ трансформаторахъ.

Такъ какъ при этой системѣ не употребляются трансформаторы ни для увеличенія, ни для уменьшенія напряженія многофазнаго тока, то число перемѣнъ тока не имѣетъ того значенія, которое оно имѣло бы въ противномъ случаѣ.



ПЯТАЯ ЧАСТЬ.

Устройство канализаций и описание нѣкоторыхъ установокъ.

ГЛАВА IX.

Устройство канализаций.

До сихъ поръ для передачи токовъ высокаго напряженія проводились почти исключительно только воздушныя линіи. Упомянемъ, однако, о подземныхъ кабеляхъ Ферранти спеціальнаго изготовленія, употребляющихся для передачи обыкновеннаго переменнаго тока въ 10000 вольтовъ отъ станціи Deptford'a до промежуточныхъ станцій Grosvenor'a, Trafalgar'a, Pimlico и Blackfriars'a.

Легкія линіи проводятся обыкновенно на деревянныхъ столбахъ, разставленныхъ на разстояніи приблизительно отъ 40 до 60 метровъ одинъ отъ другого. Для линій тяжелыхъ или имѣющихъ большое значеніе употребляются металлическіе столбы. Когда линія высокаго напряженія пересѣкаетъ дорогу, то хорошо расположить подъ этой линіей сѣтку, которая, въ случаѣ разрыва проволоки, воспрепятствуетъ ея паденію.

Обыкновенные фарфоровые изоляторы, имѣющіе форму двойного колокола, представляютъ большое сопротивленіе для электричества, когда они совершенно сухи, но разъ

они помѣщены во влажной атмосферѣ, то поверхность ихъ дѣлается хорошимъ проводникомъ. Нельзя, слѣдовательно, полагаться на обыкновенные изоляторы при очень высокихъ напряженіяхъ. Какъ только напряженіе превышаетъ 2500 или 3000 вольтовъ, то тотчасъ необходимо прибѣгнуть къ употребленію масляныхъ изоляторовъ.

Внутри изолятора устраиваютъ одинъ или нѣсколько кольцеобразныхъ желобковъ, въ которые наливается нефтяное масло. Это послѣднее должно быть легче воды, чтобы пузырьки, могущіе образоваться на поверхности масла вслѣдствіе сгущенія влажности въ воздухъ, падали на дно и такимъ образомъ верхній слой масла всегда обезпечивалъ бы изоляцію.

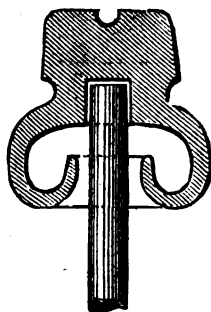
Прибавимъ, что по объему своему эти сгущенія имѣютъ весьма небольшое значеніе.

На рис. 63 представленъ изоляторъ съ однимъ желобкомъ, изготовленный простымъ загнутіемъ внутрь нижняго края колокола.

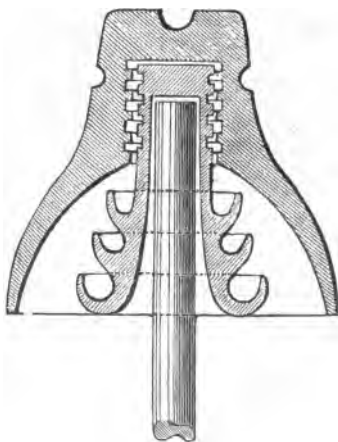
Можно еще увеличить сопротивленіе изолятора, снабдивъ его нѣсколькими желобками съ масломъ.

На рис. 64 воспроизведенъ изоляторъ подобнаго рода, состоящій изъ двухъ частей. Одна изъ нихъ, внутренняя, имѣетъ на своей внѣшней поверхности три желобка, содержащіе масло. Вторая часть, наложенная на первую, составляетъ защитительный колоколъ и въ ней помѣщается проволока линіи.

Эти два рода изоляторовъ были употреблены на линіи передачи энергіи Лауфенъ-

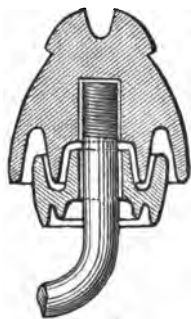


фиг. 63.



фиг. 64.

Франкфуртъ. Можно также употреблять ^{трансформаторы} трансформаторы, аналогичные описаннымъ, но защищенные извнѣ отъ камней металлическимъ покровомъ.



фиг. 65.

На рис. 65 изображенъ масляный изоляторъ съ двойнымъ колоколомъ, проектированный профессоромъ Менгарины для установки Тиволи-Римъ, выполненной фирмою Ганцъ. Верхняя часть представляетъ собою обыкновенный изоляторъ съ двойнымъ колоколомъ, нижняя часть снабжена желобкомъ, который наполняется масломъ и въ который погружаютъ внутренній колоколъ изолятора. Такого рода приспособленіе дѣлаетъ невозможнымъ

или по крайней мѣрѣ очень труднымъ проникновеніе насѣкомыхъ во внутреннюю часть изолятора. Нижняя часть изолятора можетъ опускаться для чистки прибора и для наполненія желобка масломъ.

Канализація при трехфазномъ токъ для одновременнаго питанія двигателей и лампъ.

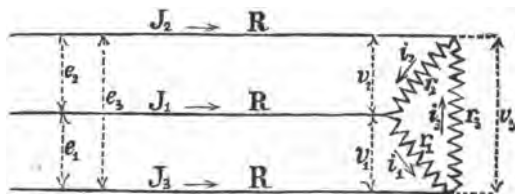
Въ первой части этого труда мы показали вычисленіе линіи трехфазнаго тока какъ при соединеніи треугольникомъ, такъ и при соединеніи звѣздочкой, но въ предположеніи, что нагрузки трехъ вѣтвей одинаковы, что имѣетъ мѣсто, когда установка служитъ исключительно для питанія однихъ только двигателей. Но если распредѣляемая энергія служить не только двигательной силою, а также и для освѣщенія, то обыкновенно три провода имѣютъ различныя нагрузки. Мы изслѣдуемъ ниже дѣйствіе этихъ различій въ нагрузкѣ на напряженіе у зажимовъ приборовъ-приемниковъ и укажемъ способъ обезпечить наибольшую равномерность этого напряженія.

Мы рассмотримъ послѣдовательно какъ соединеніе закрытое, такъ и соединеніе открытое и предположимъ для упрощенія, что цѣпи приѣмниковъ представляютъ собою простыя сопротивленія. Мы также допустимъ, что происходящее отъ различія нагрузокъ трехъ проводовъ измѣненіе воздѣйствіи цѣпей генератора и трансформаторовъ можетъ быть не принято во вниманіе.

Соединеніе треугольникомъ.

Пусть будетъ линія, въ началѣ которой поддержи-
ваютъ три напряженія e_1, e_2, e_3 , имѣющія одинаковую
среднюю E ,

$$(1) \begin{cases} e_1 = E \sqrt{2} \sin mt \\ e_2 = E \sqrt{2} \sin \left[mt - \frac{2\pi}{3} \right] \\ e_3 = E \sqrt{2} \sin \left[mt - \frac{4\pi}{3} \right] \\ e_1 + e_2 + e_3 = 0 \end{cases}$$



фиг. 66.

Пусть будетъ v_1, v_2, v_3 напряженія у зажимовъ цѣпей
приѣмниковъ. Имѣемъ:

$$(2) \begin{cases} e_1 - R(j_1 - j_3) - v_1 = 0 \\ e_2 - R(j_2 - j_1) - v_2 = 0 \\ e_3 - R(j_3 - j_2) - v_3 = 0 \end{cases}$$

Кромѣ того:

$$(3) \quad \begin{cases} v_1 = r_1 i_1 \\ v_2 = r_2 i_2 \\ v_3 = r_3 i_3 \end{cases}$$

Выводимъ изъ (2)

$$(4) \quad v_1 + v_2 + v_3 = e_1 + e_2 + e_3 = 0$$

Имѣемъ очевидно:

$$(5) \quad \begin{cases} j_1 = i_1 - i_2 \\ j_2 = i_2 - i_3 \\ j_3 = i_3 - i_1 \end{cases}$$

Откуда:

$$j_1 + j_2 + j_3 = 0$$

и вслѣдствіе этого:

$$(6) \quad \begin{cases} j_1 - j_2 = i_1 - 2 i_2 + i_3 \\ j_2 - j_3 = i_1 + i_2 - 2 i_3 \\ j_3 - j_1 = i_2 - 2 i_1 + i_3 \end{cases}$$

Выводимъ изъ (2) и (6):

$$\begin{aligned} v_1 &= e_1 - R (2 i_1 - i_2 - i_3) \\ v_2 &= e_2 - R (2 i_2 - i_1 - i_3) \\ v_3 &= e_3 - R (2 i_3 - i_2 - i_1) \end{aligned}$$

Откуда, принимая во вниманіе (3) и (4):

$$(7) \quad \begin{cases} \frac{3R + r_1}{r_1} v_1 - \frac{3R + r_2}{r_2} v_2 = e_1 - e_2 \\ \frac{3R + r_3}{r_3} v_1 + \frac{3Rr_2 + 3Rr_3 + 2r_2r_3}{r_2r_3} v_2 = e_2 - e_3 \\ v_3 = -(v_1 + v_2) \end{cases}$$

Положимъ, чтобы упростить писаніе:

$$(8) \quad \left\{ \begin{array}{l} \frac{3R + r_1}{r_1} = a \\ \frac{3R + r_2}{r_2} = b \\ \frac{3R + r_3}{r_3} = a_1 \\ \frac{3Rr_2 + 3Rr_3 + 2r_2r_3}{r_2r_3} = b_1 \end{array} \right.$$

Будемъ имѣть:

$$(9) \quad v_1 = \frac{(e_1 - e_2)b_1 + (e_2 - e_3)b}{a b_1 + a_1 b}$$

Пусть будетъ еще:

$$(10) \quad \left\{ \begin{array}{l} \frac{3Rr_3 + 3Rr_1 + 2r_2r_1}{r_3r_1} = b_2 \\ \frac{3Rr_1 + 3Rr_2 + 2r_1r_2}{r_1r_2} = b_3 \end{array} \right.$$

Получимъ:

$$(11) \quad v_2 = \frac{(e_2 - e_3)b_2 + (e_3 - e_1)a_1}{b b_2 + a a_1}$$

$$(12) \quad v_3 = \frac{(e_3 - e_1)b_3 + (e_1 - e_2)a}{a_1 b_3 + b a}$$

Подставимъ вмѣсто e_1, e_2, e_3 ихъ величины изъ (1) и положимъ что:

$$(13) \quad \left\{ \begin{array}{l} \frac{\frac{\sqrt{3}}{2}(2b - b_1)}{\frac{3}{2}b_1} = tg \varphi_1 \\ \frac{\frac{\sqrt{3}}{2}(2a_1 - b_2)}{\frac{3}{2}b_2} = tg \varphi_2 \end{array} \right.$$

$$(13a) \left\{ \frac{\frac{\sqrt{3}}{2} (2a - b_3)}{\frac{3}{2} b_3} = tg \varphi_3 \right.$$

Тогда уравнения (9), (11), (12) обратятся въ:

$$(14) \quad v_1 = \frac{E \sqrt{2}}{a b_1 + a_1 b} \sqrt{\left(\frac{3}{2} b_1\right)^2 + \left(\frac{\sqrt{3}}{2} (2b - b_1)\right)^2} \times \sin(mt - \varphi_1)$$

$$(15) \quad v_2 = \frac{E \sqrt{2}}{b b_2 + a a_1} \sqrt{\left(\frac{3}{2} b_2\right)^2 + \left(\frac{\sqrt{3}}{2} (2a_1 - b_2)\right)^2} \times \sin\left(mt - \frac{2\pi}{3} - \varphi_2\right)$$

$$(16) \quad v_3 = \frac{E \sqrt{2}}{a_1 b_3 + b a} \sqrt{\left(\frac{3}{2} b_3\right)^2 + \left(\frac{\sqrt{3}}{2} (2a - b_3)\right)^2} \times \sin\left(mt - \frac{4\pi}{3} - \varphi_3\right)$$

Среднія эффективныя v_1 , v_2 , v_3 будутъ:

$$(17) \quad V_1 = \frac{E}{a b_1 + a_1 b} \sqrt{\left(\frac{3}{2} b_1\right)^2 + \left(\frac{\sqrt{3}}{2} (2b - b_1)\right)^2}$$

$$(18) \quad V_2 = \frac{E}{b b_2 + a a_1} \sqrt{\left(\frac{3}{2} b_2\right)^2 + \left(\frac{\sqrt{3}}{2} (2a_1 - b_2)\right)^2}$$

$$(19) \quad V_3 = \frac{E}{a_1 b_3 + b a} \sqrt{\left(\frac{3}{2} b_3\right)^2 + \left(\frac{\sqrt{3}}{2} (2a - b_3)\right)^2}$$

Легко повѣрить, что если три сопротивленія r_1, r_2, r_3 равны, $r_1 = r_2 = r_3 = r$, то:

$$V_1 = V_2 = V_3 = E \frac{r}{3R + r}$$

Примѣръ. Пусть будетъ линия трехфазнаго тока, установленная для передачи первоначальной мощности въ 100000 уаттовъ при 5000 вольтахъ, распределенной равномерно между тремя проводами. Потеря, которую соглашаются допустить на линіи, равна 10% т. е. 500 вольтамъ. Сопротивленіе R проволоки линіи дано формулою:

$$R = \frac{\rho l}{S} = \frac{0,10 \times \frac{5.000^2}{100.000}}{100.000} = 25 \text{ омамъ.}$$

Сопротивленіе r одной какой нибудь изъ цѣпей пользования, будетъ слѣдовательно:

$$r = \frac{4.500^2}{\left(\frac{20}{3}\right)^2} = 675 \text{ омовъ.}$$

Предположимъ теперь, что сопротивленія r_1 и r_2 остаются равными r , но прерываютъ пріемники третьей цѣпи. Тогда будемъ имѣть:

$$r_1 = r_2 = r = 675 \text{ омамъ}$$

$$r_3 = \infty$$

и коэффициенты a, b, a_1, b_1, b_2, b_3 будутъ равны:

$$\begin{array}{ll} a = 1,11 & b = 1,11 \\ a_1 = 1 & b_1 = 2,11 \\ b_2 = 2,11 & b_3 = 2,22 \end{array}$$

Вслѣдствіе этого:

$$\begin{array}{ll} V_1 = 4.594 \text{ вольтамъ} & \\ V_2 = 4.594 & \text{»} \\ V_3 = 4.826 & \text{»} \end{array}$$

Если сдѣлать напряженіе на концѣ, напримѣръ, 1-го провода равнымъ постоянной величинѣ 4500 вольтамъ, то будемъ имѣть:

$$V_1 = 4727$$

т. е. увеличеніе около 5% сравнительно съ нормальнымъ напряженіемъ въ 3-емъ проводѣ.

Предположимъ теперь, что прерываютъ еще пріемники и 2-го провода. Тогда будемъ имѣть:

$$r = 675; r_2 = r_3 = \infty$$

и вслѣдствіе этого:

$$V_1 = 4.658 \text{ вольтамъ}$$

$$V_2 = 4.906 \quad ,$$

$$V_3 = 4.906 \quad ,$$

Если сдѣлать напряженіе на концѣ 1-го провода равнымъ 4500 вольтамъ, то будемъ имѣть:

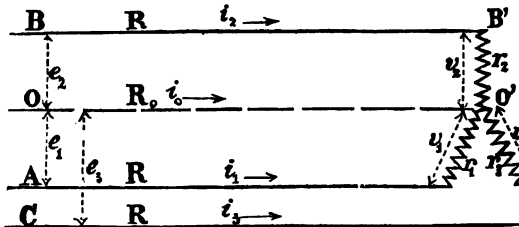
$$V_2 = V_3 = 4733 \text{ вольтамъ}$$

т. е. увеличеніе напряженія во 2-омъ и 3-емъ проводахъ почти на 5,3%.

Соединеніе звѣздочкой.

Соединимъ центръ звѣздочки генератора съ центромъ звѣздочки пріемника сопротивленіемъ R_0 и пусть будетъ

$v_0 = R_0 i_0$ разность потенциаловъ между O и O' ; r_1, r_2, r_3 сопротивления цѣпей пріемниковъ; i_0 мгновенный токъ въ общей проводкѣ OO' .



фиг. 67.

Будемъ имѣть:

$$(1) \quad \begin{cases} e_1 = E \sqrt{2} \sin mt \\ e_2 = E \sqrt{2} \sin \left(mt - \frac{2\pi}{3} \right) \\ e_3 = E \sqrt{2} \sin \left(mt - \frac{4\pi}{3} \right) \\ e_1 + e_2 + e_3 = 0 \end{cases}$$

Очевидно:

$$(2) \quad i_1 + i_2 + i_3 + i_0 = 0$$

и

$$(3) \quad \begin{cases} v_1 = r_1 i_1 \\ v_2 = r_2 i_2 \\ v_3 = r_3 i_3 \end{cases}$$

Три цѣпи AOO', BOO', COO' даютъ уравненія:

$$(4) \quad \begin{cases} e_1 - R i_1 + R_0 i_0 - v_1 = 0 \\ e_2 - R i_2 + R_0 i_0 - v_2 = 0 \\ e_3 - R i_3 + R_0 i_0 - v_3 = 0 \end{cases}$$

и вслѣдствіе этого, принимая во вниманіе (2):

$$(5) \quad v_1 + v_2 + v_3 = \left(3 + \frac{R}{R_0} \right) v_0$$

Изъ уравненій (3) и (5) получаемъ:

$$(6) \quad \begin{cases} v_1 = (e_1 + v_0) \frac{r_1}{R + r_1} \\ v_2 = (e_2 + v_0) \frac{r_2}{R + r_2} \\ v_3 = (e_3 + v_0) \frac{r_3}{R + r_3} \end{cases}$$

Откуда:

$$(7) \quad v_1 + v_2 + v_3 = \left(\frac{r_1}{R + r_1} + \frac{r_2}{R + r_2} + \frac{r_3}{R + r_3} \right) v_0 + e_1 \frac{r_1}{R + r_1} + e_2 \frac{r_2}{R + r_2} + e_3 \frac{r_3}{R + r_3}$$

Уравнения (5) и (7) даютъ:

$$(8) \quad v_0 = \frac{e_1 \frac{r_1}{R + r_1} + e_2 \frac{r_2}{R + r_2} + e_3 \frac{r_3}{R + r_3}}{3 + \frac{R}{R_0} - \frac{r_1}{R + r_1} - \frac{r_2}{R + r_2} - \frac{r_3}{R + r_3}}$$

отношеніе, которое опредѣляетъ v_0 .

Подставимъ въ (8) вмѣсто e_1, e_2, e_3 ихъ величины и положимъ:

$$(9) \quad \frac{r_1}{R + r_1} - \frac{1}{2} \frac{r_2}{R + r_2} - \frac{1}{2} \frac{r_3}{R + r_3} = A$$

$$(10) \quad \frac{\sqrt{3}}{2} \left(\frac{r_2}{R + r_2} - \frac{r_3}{R + r_3} \right) = B$$

$$(11) \quad 3 + \frac{R}{R_0} - \frac{r_1}{R + r_1} - \frac{r_2}{R + r_2} - \frac{r_3}{R + r_3} = C$$

и

$$(12) \quad \frac{B}{A} = \operatorname{tg} \varphi$$

Тогда равенство (8) можетъ быть написано въ видѣ:

$$(13) \quad v_0 = E \sqrt{2} \frac{\sqrt{A^2 + B^2}}{C} \sin(mt - \varphi)$$

Средняя эффективная потери напряженія въ общей проволочѣ будутъ:

$$(14) \quad V_0 = E \frac{\sqrt{A^2 + B^2}}{C}$$

и эффективная сила тока въ этой проволоцѣ:

$$(15) \quad I_0 = \frac{E}{R_0} \frac{\sqrt{A^2 + B^2}}{C}$$

Разъ потеря напряженія v_0 извѣстна, равенства (6) даютъ непосредственно напряженія v_1, v_2, v_3 у зажимовъ цѣпей приѣмниковъ.

Уничтожимъ общую возвратную проволоку т. е. сдѣлаемъ:

$$R_0 = \infty$$

тогда будемъ имѣть:

$$(16) \quad C = 3 - \frac{r_1}{R + r_1} - \frac{r_2}{R + r_2} - \frac{r_3}{R + r_3}$$

Если мы въ то же время прервемъ двѣ изъ цѣпей, сдѣлавъ на примѣръ:

$$r_2 = r_3 = \infty$$

то прервется, очевидно, и третья цѣпь.

Прервемъ теперь только одну изъ цѣпей; пусть будетъ:

$$r_3 = \infty$$

и сдѣлаемъ:

$$r_1 = r_2 = r$$

получимъ:

$$v_0 = \frac{1}{2} e_3$$

и вслѣдствіе этого:

$$v_1 = \left(e_1 + \frac{1}{2} e_3 \right) \frac{r}{R + r}$$

$$v_2 = \left(e_2 + \frac{1}{2} e_3 \right) \frac{r}{R + r}$$

$$v_3 = \frac{3}{2} e_3$$

или:

$$(17) \begin{cases} v_1 = \frac{\sqrt{3}}{2} E \sqrt{2} \frac{r}{R+r} \sin \left(mt + \frac{\pi}{6} \right) \\ v_2 = -v_1 = \frac{\sqrt{3}}{2} E \sqrt{2} \frac{r}{R+r} \sin \left(mt - \frac{5\pi}{6} \right) \\ v_3 = 1,5 E \sqrt{2} \sin \left(mt - \frac{4\pi}{3} \right) \end{cases}$$

Слѣдовательно, v_1 , v_2 , v_3 будутъ имѣть средними эффективными:

$$(18) \begin{cases} V_1 = 0,865 E \frac{r}{R+r} \\ V_2 = 0,865 E \frac{r}{R+r} \\ V_3 = 1,5 E \end{cases}$$

Слѣдовательно, при открытомъ соединеніи безъ общей проволоки неодинаковость нагрузокъ трехъ проводовъ можетъ вызвать:

1. Существенныя отодвинутія токовъ.
2. Значительную разницу между напряженіями у зажимовъ различныхъ цѣпей пріемниковъ.

Такимъ образомъ соединеніе звѣздочкой можетъ примѣняться только въ канализаціяхъ, питающихъ исключительно двигатели. При неодинаковости нагрузокъ трехъ проводовъ соединеніе треугольникомъ представляетъ значительное преимущество передъ соединеніемъ звѣздочкой съ тремя проволоками.

Каждый разъ, слѣдовательно, когда хотятъ примѣнить открытое соединеніе для питанія однѣхъ только лампъ или же лампъ и двигателей, необходимо соединять электрически посредствомъ четвертой проволоки центры O , O' звѣздочекъ генераторовъ и пріемниковъ. Изложенное выше даетъ возможность легко вычислить сопротивление R_0 чет-

вертой проволоки, когда нагрузки i_1, i_2, i_3 трех проводовъ известны и потери напряжения опредѣлены.

Особенный интересъ представляетъ частный случай, когда центры O и O' соединены съ землею. Тогда будемъ имѣть замѣтно:

$$(19) R_0 = 0$$

въ силу (8)

$$(20) v_0 = R_0 i_0 = 0$$

Слѣдовательно, равенства (6) обратятся въ:

$$(21) \quad \begin{cases} v_1 = e_1 \frac{r_1}{R + r_1} \\ v_2 = e_2 \frac{r_2}{R + r_2} \\ v_3 = e_3 \frac{r_3}{R + r_3} \end{cases}$$

v_1, v_2, v_3 будутъ имѣть средними эффективными:

$$(22) \quad V_1 = E \frac{r_1}{R + r_1}$$

$$(23) \quad V_2 = E \frac{r_2}{R + r_2}$$

$$(24) \quad V_3 = E \frac{r_3}{R + r_3}$$

Если, напримѣвъ, урегулировать V_1 до данной величины и взять опредѣленное число для наибольшей величины разности $E - V_1$, то R опредѣлится изъ 22 равенства. Тогда уравненія 23 и 24 позволятъ вычислить разности $V_1 - V_2$ и $V_1 - V_3$. Мгновенный токъ i_0 , проходящій чрезъ землю, данъ равенствомъ (2); затѣмъ уже легко вывести его среднюю эффективную.

Въ предшествующемъ мы допустили, что у начала разсматриваемой канализаціи, каковы бы ни были нагрузки трехъ проводовъ, все время поддерживаются напряжения e_1, e_2, e_3 , имѣющія одинаковую среднюю эффективную E .

и представляющія попарно одну и ту же разность фазъ. Однако, въ дѣйствительности воздѣйствія armатуры генератора, а также воздѣйствія въ трансформаторахъ дѣлаются неравными, при различной нагрузкѣ трехъ цѣпей, указанные три среднія эффективныя и три разности фазъ; это неравенство будетъ тѣмъ больше, чѣмъ значительнѣе означенныя воздѣйствія.

Въ виду этого при смѣшанномъ распредѣленіи силы и свѣта генераторы должны имѣть возможно меньшее внутреннее сопротивленіе.

Если вслѣдствіе сопротивленія линіи и воздѣйствій цѣпей генераторовъ уклоненія напряженія въ трехъ цѣпяхъ слишкомъ значительны, то можно принять соединеніе звѣздочкой съ четвертой проволокой и регулировать напряженія въ цѣпяхъ посредствомъ введенныхъ въ три главные провода катушекъ воздѣйствія (choking coils), сопротивленіе которыхъ можно произвольно мѣнять. При этомъ, конечно, происходитъ потеря работоспособности, но самая незначительная.

Дѣйствіе трехфазной линіи на сосѣднія телефонныя линіи.

Мы видѣли, что при соединеніи треугольникомъ, также какъ и при соединеніи звѣздочкой съ тремя или четырьмя проволоками, алгебраическая сумма токовъ линіи постоянно равна нулю. Если, слѣдовательно, такая линія находится вблизи телефонной линіи на достаточномъ отъ нея разстояніи такъ, чтобы практически можно было принять эту линію, отстоящей одинаково отъ трехъ или четырехъ проволокъ многофазной линіи, то дѣйствія индукціи будутъ совершенно незамѣтны.

Въ случаѣ же соединенія звѣздочкой, когда центры звѣздочекъ сообщены съ землею и линія служитъ для совмѣстнаго питанія двигателей и лампъ, то вообще алгебраическая сумма токовъ въ трехъ проводахъ будетъ разниться отъ нуля и кромѣ того нѣкоторый токъ пройдетъ

чрезъ землю. Въ этомъ случаѣ необходимо, слѣдовательно, принять спеціальныя мѣры предосторожности во избѣжаніе дѣйствія индукціи на сосѣднія телефонныя линіи.

ГЛАВА X.

Описаніе нѣкоторыхъ установокъ.

Передача энергіи отъ Лауфена до выставки во Франкфуртѣ на Майнѣ въ 1891 году.

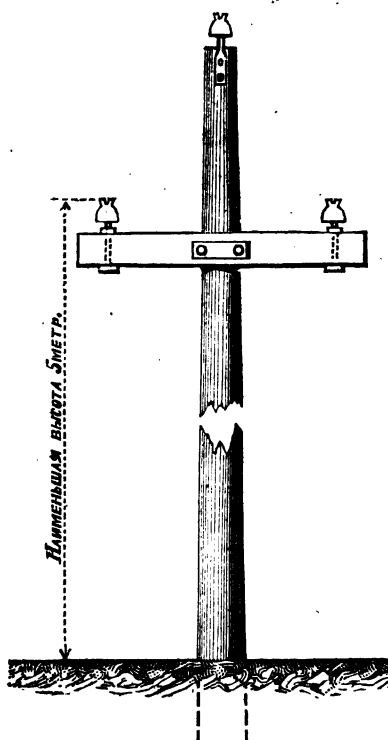
Эта установка была проектирована и выполнена совместно Allgemeine Electricitäts Gesellschaft въ Берлинѣ и мастерскими Oerlikon'a возлѣ Цюриха.

Станція генераторъ была установлена на вододѣйствующемъ заводѣ портландскаго цемента въ Лауфенѣ на Неккарѣ (Вюртембергъ). Эта станція должна была въ дальнѣйшемъ служить для распредѣленія энергіи въ Гейльбронѣ.

При посредствѣ турбины въ 300 лошадиныхъ силъ приводился въ дѣйствіе трехфазный генераторъ Броуна въ 200 килоуаттовъ (описанный нами раньше), имѣвшій угловую скорость, равную 150 оборотамъ въ минуту. Возбужденіе генератора производилось отдѣльною маленькою динамо.

По выходѣ изъ генератора напряженіе тока увеличивалось до надлежащаго предѣла посредствомъ особаго трансформатора. Во Франкфуртѣ три трансформатора уменьшали это напряженіе до 100 вольтовъ. Полученный токъ низкаго напряженія питалъ двигатели и 1000 лампочекъ накаливанія. Длина линіи отъ Лауфена до Франкфурта составляла 175 километровъ. Линія состояла изъ трехъ мѣдныхъ голыхъ проводовъ діаметромъ въ 4 мм., имѣвшихъ всего въ длину 530 километровъ и вѣсившихъ вмѣстѣ около 60000 килограммовъ. Эта линія поддерживалась

3000 деревянными столбами высотой каждый въ 8 метровъ, отстоявшихъ другъ отъ друга на разстояніи около 60 метровъ. Проволоки были помѣщены на высотѣ минимумъ въ 5 метровъ надъ землею.



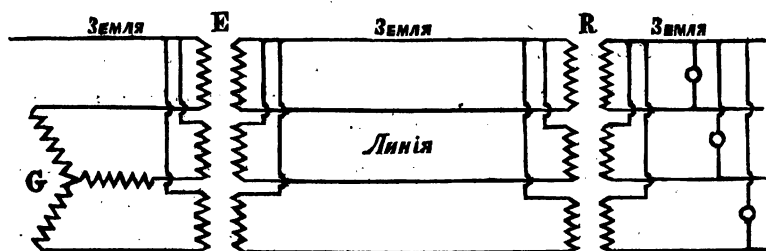
фиг. 68.

На рис. 63 и 64 изображены два рода изоляторовъ, употреблявшихся на этой линіи. Рис. 68 показываетъ расположеніе изоляторовъ на столбахъ: одинъ изъ изоляторовъ помѣщенъ на вершинѣ столба, а два другихъ на концахъ деревянной горизонтальной перекладины, прикрѣпленной болтами къ столбу. Три проволоки проведены по направленію реберъ равносторонней треугольной призмы.

Рис. 69 представляетъ собою схему установки генератора G, трансформатора для увеличенія напряженія E, линіи и трансформаторовъ для уменьшенія напряженія R. Токъ высокаго напряженія не имѣлъ

прерывателя. Въ началѣ линіи проволоки въ 4 мм. были замѣнены мѣдными проволоками въ 0,15 мм. въ діаметрѣ, длиною въ 2^м,50, служившими предохранителями, рассчитанными на напряженіе отъ 20000 до 30000 вольтовъ; эти проволоки были протянуты между двумя отдѣльными столбами, отстоявшими другъ отъ друга на разстояніи приблизительно 2^м,50, что устраняло натягиваніе тонкихъ проволокъ проволоками линіи. Центры звѣздочекъ трансформаторовъ вы-

сокаго и низкаго напряженій, въ началѣ и концѣ установки, были соединены съ землею для обезпеченія безопасности служебнаго персонала на случай, если бы гдѣ либо порвалась проволока линіи или же произошло сообщеніе между двумя проволоками высокаго и низкаго напряженій. Если бы какаѣ либо проволока получила сообщеніе съ землею, то тотчасъ же расплавился бы соотвѣтствующій предохранитель.



фиг. 69.

Кромѣ того, въ началѣ каждой проволоки линіи были помѣщены магнитные релѣ, назначеніе которыхъ прекращать возбужденіе динамо, лишь только токъ превыситъ извѣстный предѣлъ, напримѣръ въ случаѣ сообщенія съ землею, или же будетъ меньше предѣла, соотвѣтствующаго слишкомъ слабой нагрузкѣ цѣпи, отъ чего можетъ получиться напряженіе тока, угрожающее опасностью.

Мы воспроизводимъ ниже таблицу *), въ которой указаны результаты измѣреній, произведенныхъ надъ этой передачей энергіи Коммисіей Франкфуртской Выставки.

Эти опыты производили: профессоръ Дитрихъ, доктора: Фейснеръ, Геймъ, Коппъ; инженеры: Ниццола и Шмалеръ и профессора: Штенгеръ, Теихманнъ, Вуа (Voit) и Веберъ.

*) «L'Industrie électrique» 25 Іюня 1892 г.

Въ послѣднемъ столбцѣ таблицы указана окончательная отдача, т. е. отношеніе работоспособности, переданной лампамъ, къ работоспособности, полученной у оси турбины въ Лауфенѣ.

При распредѣленіи энергіи необходимо для полученія окончательной отдачи принять еще во вниманіе отдачу двигателей. Указанія относительно этого предмета можно найти въ приведенной нами выше (стр. 89) таблицѣ трехфазныхъ двигателей Allgemeine Elektrizitäts-Gesellschaft.

Разность потенциаловъ у зажимовъ каждой изъ трехъ цѣпей генератора, имѣвшаго соединеніе звѣздочкой, колебалась между 50 и 56 вольтами.

Отношеніе числа вторичныхъ оборотовъ проволоки въ трансформаторѣ къ числу первичныхъ оборотовъ было равно 160. Слѣдовательно, напряженіе въ каждой вторичной цѣпи трансформатора, между ея зажимомъ и центромъ звѣздочки, было равно:

$$50^{\circ} \times 160 = 8000 \text{ вольтамъ}$$

$$56^{\circ} \times 160 = 8980$$

И такъ напряженіе между двумя какими нибудь проволоками линіи было:

въ первомъ случаѣ:

$$8000 \times \sqrt{3} = \text{около } 13850 \text{ вольтовъ;}$$

и во второмъ случаѣ:

$$8980 \times \sqrt{3} = \text{около } 15450 \text{ вольтовъ.}$$

Передача энергии отъ Лауфена до Франкфурта.

ВРЕМЯ.	Тур- бина.	Динамо.	Трансформа- торъ на станціи отпавленія.		Линія.	Трансформаторъ на станціи пользованія.			Отдача установки.	Состояніе погоды.		
	Доступная ра- ботоспособность въ томъ числѣ и паузы мѣдиано.	Доступная ра- ботоспособность.	Отдача.	Доступная работоспо- собность.	Потери.	Полученная работоспо- собность.	Отдача.	Отъ важи- наго приѣма.	Отъ осн. типъ бынаго приѣма.			
Октябрь 1891 г.	лош. силы.	на 100.	лош. силы.	на 100.	лош. силы.	на 100.	лош. силы.	на 100.	на 100.			
11 — 1 ^ч 30 ^м 1 ^ч 40 ^м	120,9	108,1	89,4	102,4	94,7	7,3	95,1	89,5	94,1	82,6	74,0	Безоблачно, сухо.
11 — 1 50 2 »	121,1	108,3	89,4	102,6	94,7	7,6	95,0	89,4	94,1	82,4	73,8	
12 — 1 35 1 45	127,0	114,4	90,0	108,7	95,0	8,0	100,7	95,1	94,4	83,0	74,9	Облачно, частый дождь.
12 — 1 50 2 »	127,5	114,6	90,0	109,0	95,0	8,1	100,9	95,3	91,4	82,9	74,8	
12 — 2 10 2 20	99,3	86,8	87,4	81,5	93,9	5,0	76,5	71,4	93,3	82,4	71,9	
13 — 9 50 10 »	105,9	93,3	88,1	87,7	94,0	6,0	81,7	76,3	93,4	81,6	72,1	
13 — 10 5 10 15	105,9	93,3	88,1	87,7	94,0	5,9	81,8	76,4	93,4	81,7	72,2	Дождь до полудня.
14 — 10 45 10 55	151,8	139,1	91,6	132,8	95,5	12,8	120,0	114,0	95,0	81,8	75,1	
14 — 11 5 10 15	151,7	139,0	91,6	132,7	96,1	12,5	120,2	114,2	95,0	82,0	75,3	
11 35 11 45	194,7	182,3	93,5	175,1	96,1	24,4	150,7	144,2	95,7	79,1	74,1	
12 30 12 40	197,4	184,8	93,5	177,6	96,1	25,2	152,4	145,8	95,7	78,8	73,9	
1 30 1 40	117,6	104,9	89,2	99,2	94,6	7,5	91,7	86,2	94,0	82,0	73,3	Сухо.
1 45 1 55	112,7	100,1	88,8	94,5	94,4	6,9	87,6	82,2	93,8	81,9	72,9	
2 30 2 40	78,2	61,1	84,8	61,1	92,5	3,1	58,0	53,5	92,2	80,9	68,5	
10 53 11 3	190,7	177,9	93,3	170,8	96,0	25,5	145,3	138,9	95,6	77,8	72,8	Дождь съ утра.
11 5 11 15	190,0	177,3	93,3	170,2	96,0	24,9	145,3	138,9	95,6	78,1	73,1	
11 20 11 30	189,7	177,0	93,3	169,9	96,0	24,6	145,3	138,9	95,6	78,1	73,2	

Проектъ распредѣленія электрической энергіи въ г. Будапестъ ¹⁾).

Эта установка поручена фирмѣ Шукерть въ Нюренбергѣ.

Станція должна находиться на разстояніи трехъ километровъ отъ города. Электрическая энергія будетъ передаваться на мѣсто пользованія въ формѣ двухфазнаго тока высокаго напряженія. Тамъ она будетъ преобразовываться и распредѣляться уже въ видѣ постоянного тока низкаго напряженія.

Прежде всего станція должна быть снабжена всѣмъ необходимымъ для образованія тока, могущаго питать одновременно 10000 лампъ въ 16 свѣчей. Установка вычислена на 16000 лампъ и будетъ произведена такимъ образомъ, чтобы возможно было въ случаѣ надобности, утроить работоспособность станціи.

Сначала будутъ установлены двѣ вертикальныя паровыя машины тройнаго расширенія, могущія развивать каждая 500 лошадиныхъ силъ. Каждая изъ этихъ машинъ будетъ непосредственно приводить въ дѣйствіе одну динамо двухфазнаго тока, дающую два тока въ 100 амперовъ и 1800 вольтовъ, отодвинутыхъ на $\frac{1}{4}$ періода. Такимъ образомъ каждый генераторъ будетъ имѣть работоспособность, равную 360 килоуаттамъ.

Обѣ динамо будутъ соединены параллельно и будутъ возбуждаться токомъ отъ динамо низкаго напряженія, которыя въ то же время должны служить для освѣщенія станціи.

Первичная линія въ четыре проволоки будетъ подземной и должна состоять изъ двухъ кабелей въ два кон-

^{*)} Благодаря любезности Анонимнаго Общества Электричества въ Нюренбергѣ, бывш. Шукерть и К^о, сообщившаго намъ необходимыя свѣдѣнія, мы помѣщаемъ ниже въ видѣ приложенія къ книгѣ болѣе подробное описаніе Центральной Электрической станціи въ Будапестъ, соотвѣтствующее положенію дѣла въ настоящій моментъ.

центричныхъ провода со свинцовою оболочкою и съ двойною желѣзною оправою. Третій кабель, тождественный съ первыми, долженъ быть запаснымъ.

Эта линія должна служить для передачи двухфазнаго тока на станцію распредѣленія, гдѣ онъ будетъ приводить въ дѣйствіе двухфазные двигатели, соединенные каждый непосредственно съ генераторомъ постояннаго тока. Последніе генераторы должны питать двѣ крайнія изъ трехъ проволокъ вторичной канализаціи. Такимъ образомъ, напряжение генератора будетъ вдвое больше напряженія между одной изъ крайнихъ и среднею проволоками.

Кромѣ того, станція распредѣленія будетъ имѣть батарею аккумуляторовъ въ 148 элементовъ, вмѣстимостью отъ 1500 до 2200 амперовъ-часовъ, смотря по надобности, могущую давать токъ силою два раза 500 амперовъ. Эта батарея будетъ соединена своими концами съ двумя крайними проволоками канализаціи и серединою со среднею обратною проволокою. Напряжение бууетъ регулироваться особыми приборами, позволяющими измѣнять число элементовъ въ цѣпи, сообразно потребности.

Передача и распредѣленіе электрической энергіи въ Гейльбронтъ на Некарѣ.

Гейльбронтъ (Вюртембергъ) промышленный городъ съ населеніемъ около 31000 человѣкъ. Станція установлена въ Лауфенѣ на Некарѣ, на заводѣ портландскаго цемента Вюртембергскаго Общества на разстояніи приблизительно десяти километровъ отъ Гейльброна. Этотъ заводъ располагаетъ водопадомъ, имѣющимъ работоспособность въ 1500 лощ. силъ, изъ которыхъ только 600 пользуются для производства цемента. Такимъ образомъ, Вюртембергское Общество располагаетъ еще 900 лощ. силами для полученія электрической энергіи, которая можетъ быть распредѣлена въ Гейльбронтѣ.

Какъ извѣстно, эта установка вызвала опыты 1891 г. надъ передачей энергіи отъ Лауфена до Франкфуртской выставки.

Въ настоящее время станція имѣетъ двѣ турбины въ 300 лощ. силъ каждая, построенныя мастерскими Geislingen'a и, кромѣ того, оставлено еще мѣсто для установки третьей турбины.

Турбины съ вертикальными осями приводятся въ движеніе паденіемъ воды съ высоты 3^м,85; ихъ угловая скорость равна 35 оборотамъ въ минуту. Регулированіе скорости производится посредствомъ измѣненія отъ руки притока воды.

Каждая турбина парю зубчатыхъ колесъ приводитъ въ дѣйствіе динамо съ горизонтальною осью.

Эта динамо трехфазнаго тока, системы Броуна, построенная заводомъ Эрликона, была уже описана нами въ своихъ главныхъ чертахъ во второй части этого сочиненія. Ея индукторъ, имѣющій 32 полюсныя оконечности, укрѣпленъ на концѣ горизонтальной оси, поддерживаемой двумя подшипниками, достаточно удаленными другъ отъ друга для обезпеченія устойчивости индуктора. Эти подшипники составляютъ часть корпуса машины.

Вѣнцеобразная арматура машины можетъ быть сдвинута со своего мѣста для болѣе удобнаго изслѣдованія индуктора. Такое приспособленіе напоминаетъ собою машину Ферранти за исключеніемъ того, что въ динамо Броуна вся ея подвижная часть можетъ перемѣщаться по оси.

Токъ для возбужденія динамо проведенъ въ индукторъ по двумъ гибкимъ мѣднымъ шнуркамъ, поддерживаемымъ съ одной стороны двумя изолированными блоками съ же лобками, прикрѣпленными къ оси машины, съ другой стороны также двумя блоками съ желобками, оси которыхъ прикрѣплены къ остову машины и получаютъ токъ для возбужденія.

Каждый генераторъ даетъ въ общемъ токъ силою въ 4000 амперовъ и напряженіемъ въ 50 вольтовъ, т. е. раз-

виваетъ у зажимовъ работоспособность, равную 200 ки-лоуаттамъ.

Токъ для возбужденія доставляется маленькими двух-полюсными динамо съ кольцомъ Грамма, приводимыми въ дѣйствіе особою турбиною. Каждый генераторъ имѣетъ для возбужденія отдѣльную динамо, дающую токъ въ 20 амперовъ при 60 вольтахъ. Работоспособность, расходуе-мая въ обмоткѣ генератора, равна приблизительно 1200 уаттамъ, т. е. составляетъ 0,6% всей работоспособности у зажимовъ. Такой незначительный расходъ на возбужде-ніе показываетъ превосходство принятаго расположенія магнитной цѣпи и индуктора. Промышленная отдача опре-дѣлена строителями въ 96%.

Токъ генератора въ 50 вольтовъ проведенъ посред-ствомъ трехъ толстыхъ кабелей къ распредѣлительной до-скѣ. Эта послѣдняя устроена Allgemeine Elektricitäts Ge-SELLSCHAFT въ Берлинѣ и снабжена вольтметрами, амперо-метрами и прерывателями для двухъ генераторовъ. Глав-ные прерыватели служатъ для быстрого прерыванія въ трехъ цѣпяхъ трехъ токовъ въ 1300 амперовъ приблизи-тельно. Два барабанообразные реостата употребляются для регулированія возбужденія.

Кромѣ того, станція располагаетъ двумя трансформа-торами въ 200 килоуаттовъ каждый, служащими для пре-образованія тока одного генератора 4000 амперовъ и 50 вольтовъ въ токъ приблизительно 40 амперовъ и 5000 вольтовъ. Слѣдовательно, ихъ отношеніе трансформациі равно 100. Обмотки этихъ трансформаторовъ изъ толстой проволоки соединены съ распредѣлительною доскою по-средствомъ шести кабелей діаметромъ въ 29 мм.

Въ настоящее время оказывается достаточною работа одной динамо, другая же служить въ качествѣ запасной. Два трансформатора, увеличивающіе напряженіе въ Лау-фенѣ, работаютъ при половинной нагрузкѣ.

Магнитный остовъ этихъ трансформаторовъ трехфаз-наго тока состоитъ изъ трехъ вертикальных сердечни-

ковъ, составленныхъ изъ полосъ тонкаго листового желѣза; два плоскія кольца изъ желѣзной ленты скрѣпляютъ эти сердечники и магнетически соединяютъ ихъ концами. Каждый трансформаторъ снабженъ шестью зажимами; тремя для первичной обмотки и тремя для вторичной. Проводники высокаго напряженія заключены по выходѣ ихъ изъ трансформатора въ стеклянныя трубки. Сами трансформаторы помѣщены въ металлическій футляръ, наполненный масломъ.

Станція въ Лауфенѣ соединена съ распредѣлительной станціею въ Гейльбронѣ посредствомъ воздушной линіи. Эта послѣдняя состоитъ изъ трехъ мѣдныхъ голыхъ проводниковъ діаметромъ въ 6 мм. и длиною каждый въ общемъ около 11 километровъ. Проводники поддерживаются масляными изоляторами съ простымъ колоколомъ, укрѣпленными на столбахъ, отстоящихъ одинъ отъ другого на разстояніи приблизительно 40 метровъ. Высота этихъ столбовъ измѣняется отъ 8 до 16 метровъ такимъ образомъ, что она всегда превосходитъ наибольшую высоту деревьевъ, встрѣчающихся на протяженіи линіи. Каждый столбъ на верхнемъ своемъ концѣ снабженъ деревянною перекладиною, длина которой рассчитана на установку трехъ линій, т. е. девяти изоляторовъ. До сихъ поръ установлена только одна изъ этихъ линій. Кромѣ того, каждый столбъ имѣетъ три изолятора, поддерживающіе три бронзовыя проволоки діаметромъ 1,5 мм., предназначенныя для взятія напряженія на концѣ линіи, или же для телефоннаго соединенія станціи Лауфена съ распредѣлительною станціею въ Гейльбронѣ. Всѣ столбы снабжены еще громоотводами, соединенными съ землею посредствомъ колючей проволоки, препятствующей взлѣзать на столбъ; наконецъ металлическая проволока, помѣщенная надъ линіею, соединяетъ всѣ громоотводы между собою.

На своемъ пути линія питаетъ нѣсколько трансформаторовъ въ Southheim'ѣ, установленныхъ на чердакахъ до-

мовъ и преобразующихъ непосредственно токъ 5000 вольтъ въ токъ 100 вольтъ.

Вторичная канализація состоитъ изъ трехъ проволокъ.

Главная линия доходитъ до распределительной станціи, расположенной въ предмѣстьѣ Гейльброна. Эта станція помѣщается въ небольшомъ зданіи, гдѣ находится такой же трансформаторъ, какіе употребляются на главной станціи, но работающій почти при полной нагрузкѣ. Этотъ трансформаторъ служитъ для пониженія напряженія первичнаго тока до 1500 вольтъ. Распределительная станція снабжена еще нѣкоторыми вспомогательными приборами какъ то: прерывателями, телефономъ, позволяющимъ переговариваться со станціею въ Лауфенѣ и автоматическимъ предохранителемъ, прерывающимъ токъ въ 5000 вольтъ въ случаѣ разрыва проволоки линіи.

Токъ въ 1500 вольтъ проведенъ отъ этой станціи въ центръ города Гейльброна посредствомъ подземнаго кабеля изъ трехъ проводниковъ. Уменьшеніе напряженія имѣетъ цѣлю не вводить въ городъ токъ слишкомъ высокаго напряженія и облегчить трудность изолированія подземной сѣти, питающей трансформаторы. Изъ центра города токъ распределяется между рядомъ фидеровъ, пробѣгая главныя артеріи и питая трансформаторы, помѣщенные приблизительно на двадцати вторичныхъ станціяхъ. Кабели высокаго напряженія снабжены свинцовымъ покровомъ и желѣзною оправою; они изготовлены фирмою Сименсъ и Гальске въ Берлинѣ. Соединенія произведены посредствомъ чугунныхъ коробокъ.

Станціи, гдѣ помѣщаются трансформаторы, представляютъ собою кіоски съ подвижнымъ наружнымъ покровомъ изъ листового желѣза, устроенныя на улицахъ и площадяхъ. Эти кіоски состоятъ изъ трехъ этажей; въ двухъ верхнихъ помѣщаются трансформаторы, установленные на деревянныхъ платформахъ, поддерживаемыхъ желѣзными перекладинами. Дверь, расположенная на одномъ уровнѣ съ землею, служитъ входомъ въ нижній

этажъ кіоска, гдѣ находится распредѣлительная доска, соединенная съ кабелемъ, проводящимъ токъ въ 1500 вольтовъ; отъ этой доски идутъ кабели, распредѣляющіе токъ въ 100 вольтовъ и на ней же расположены прерыватели, предохранитель и амперометры.

Въ самомъ Гейльбронѣ употребляются трансформаторы въ 5 и 10 килоуаттовъ; они имѣютъ каждый три сердечника и устроены точно также, какъ и трансформаторы въ 200 килоуаттовъ. Эти трансформаторы, соединенные параллельно, питаютъ подземную сѣть, проводящую токъ въ 100 вольтовъ и составленную изъ кабелей съ тремя проводниками подобно тому, какъ фидеры для тока въ 1500 вольтовъ. Внутреннія установки не отличаются замѣтно отъ обыкновенныхъ внутреннихъ установокъ. Канализація каждого обонента управляется прерывателемъ и охраняется предохранителями.

Большая часть трехфазнаго тока употребляется для освѣщенія дуговыми лампами и лампами накаливанія. Если установка заключаетъ не болѣе 15 лампъ накаливанія, то отвѣтвление берутъ отъ одной изъ трехъ секцій, въ противномъ же случаѣ отвѣтвление дѣлается отъ трехъ проволокъ сѣти.

Двигатели слабой работоспособности питаются посредствомъ трехъ проводниковъ тока въ 100 вольтовъ; двигатели же большей работоспособности въ 3 лощ. силы введены въ отвѣтвленія непосредственно отъ проводниковъ тока въ 1500 вольтовъ.

Во избѣжаніе нарушенія правильности освѣщенія введеніе двигателей въ дѣйствіе и ихъ остановка производятся посредствомъ реостатовъ съ жидкостью.

Эти двигатели съ закрытою арматурою, безъ коллектора отличаются весьма простою конструкціею; они приходятъ въ дѣйствіе, будучи уже нагруженными, и могутъ быть остановлены простымъ маневрированіемъ прерывателя. Они требуютъ самаго незначительнаго наблюденія, ограничивающагося почти исключительно только смазываніемъ подшипниковъ каждые восемь или пятнадцать дней.

Въ первый разъ токъ былъ пущенъ въ Гейльбронъ 10-го Января 1892 года. Установка эксплуатируется безпрерывно съ 1-го Апрѣля того же года. Въ настоящее время она питаетъ около 2000 лампъ въ 16 свѣчей, 40 дуговыхъ лампъ и двадцать двигателей, представляющихъ вмѣстѣ работоспособность приблизительно въ 46 лош. силъ.

Измѣняющаяся такса на освѣщеніе тѣмъ ниже, чѣмъ больше ежедневное потребление. Стоимость лампы-часа въ 16 свѣчей, считая 3,3 уатта на свѣчу, колеблется между 0,047 фр. и 0,028 фр., что соотвѣтствуетъ колебанію стоимости килоуатта-часа между 0,93 фр. и 0,52 фр. Употребленная энергія измѣряется счетчикомъ Арона.

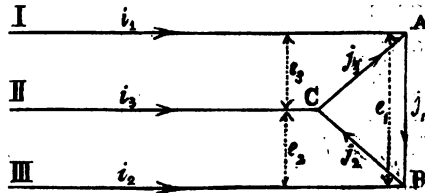
За пользованіе двигателями абоненты рассчитываются согласно показанію счетчика, или же по договору. Цѣна лошади-часа колеблется отъ 0,337 фр. или 0,42 фр., килоуаттъ-часъ до 0,092 фр. или 0,12 фр. килоуаттъ-часъ.

Расходы на первоначальное устройство установки, могущей питать 3200 лампъ въ 16 свѣчей, достигаютъ приблизительно 32500 франковъ, т. е. 100 франк. на лампу. Эта станція дѣйствуетъ вполне правильно и за время ея существованія на ней не было ни несчастныхъ случаевъ, ни порчи приборовъ.

ГЛАВА XI.

Счетчикъ элентрической энергіи для трехфазнаго тона Д-ра Арона.

Разсмотримъ случай, когда пріемники имѣютъ соединеніе треугольникомъ; I, II, III три проводника, по которымъ токъ идетъ къ абоненту; А, В, С представляютъ собою совокупность пріемниковъ, лампъ и двигателей.



фиг. 70.

Пусть будутъ въ какой нибудь моментъ e_1, e_2, e_3 напряженія между тремя проводниками попарно, проводящими токъ къ абоненту; i_1, i_2, i_3 токи въ этихъ трехъ проводникахъ; j_1, j_2, j_3 токи въ трехъ секціяхъ АВ, ВС, СА.

Мгновенная работоспособность въ совокупности цѣней приѣмниковъ будетъ имѣть выраженіемъ.

$$(1) \quad w = e_1 j_1 + e_2 j_2 + e_3 j_3.$$

Но принимая во вниманіе изложенное въ первой части этого труда, будемъ имѣть:

$$(2) \quad \begin{cases} j_1 = \frac{1}{3} (i_1 - i_2) \\ j_2 = \frac{1}{3} (i_2 - i_3) \\ j_3 = \frac{1}{3} (i_3 - i_1) \end{cases}$$

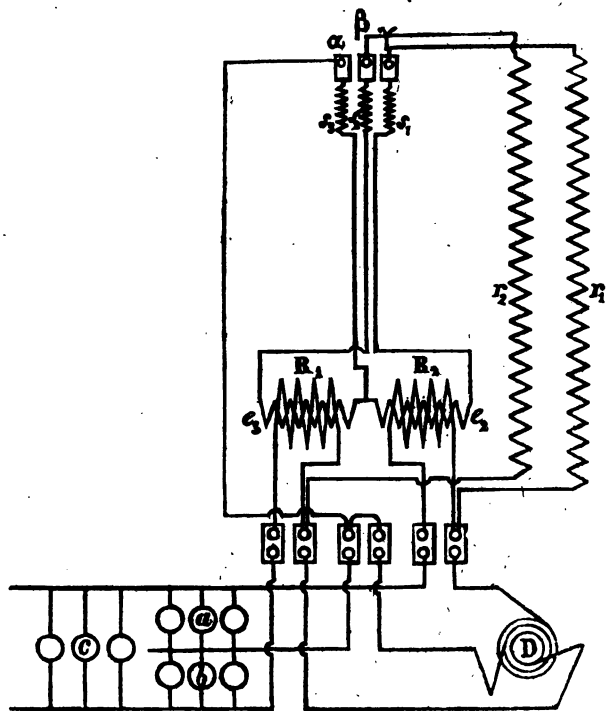
Слѣдовательно уравненіе (1) обратится въ:

$$(3) \quad w = \frac{1}{3} \left[e_1 (i_1 - i_2) + e_2 (i_2 - i_3) + e_3 (i_3 - i_1) \right].$$

Исходя изъ этой формулы счетчикъ долженъ быть снабженъ тремя катушками изъ тонкой и шестью катушками изъ толстой проволоки.

На основаніи этого принципа, Д-ръ Аронъ устроилъ первый свой счетчикъ для многофазныхъ переменныхъ токовъ. Три катушки изъ тонкой проволоки были подвѣшены къ маятнику одна надъ другою. Каждая изъ этихъ катушекъ колебалась внутри двухъ неподвижныхъ катушекъ изъ толстой проволоки. Соединенія были устроены такимъ образомъ, чтобы разность между двумя изъ трехъ токовъ i_1, i_2, i_3 дѣйствовала на разность потенциаловъ между двумя соотвѣствующими проводниками. Но такое

устройство представлять неудобство большою сложностью конструкции счетчика и трудностью его градуировать.



фиг. 71.

Слѣдующее разсужденіе привело д-ра Арона къ болѣе простому устройству счетчика:

Такъ какъ мгновенная работоспособность, поглощаемая тремя секціями приѣмниковъ, дана равенствомъ (1), то, кромѣ того, какъ мы видѣли это раньше, будемъ имѣть:

$$(4) \quad e_1 + e_2 + e_3 = 0$$

и:

$$(5) \quad j_1 - j_3 = i_1$$

$$(6) \quad j_2 - j_1 = i_2$$

Вычтемъ:

$$j_1 (e_1 + e_2 + e_3) = 0$$

изъ втораго члена уравненія (1); получимъ:

$$\begin{aligned} w &= e_1 j_1 + e_2 j_2 + e_3 j_3 - j_1 (e_1 + e_2 + e_3) \\ &= e_2 (j_2 - j_1) - e_3 (j_1 - j_2) \end{aligned}$$

или въ силу (5) и (6):

$$(7) \quad w = e_2 i_2 - e_3 i_1$$

Это равенство вѣрно для какого нибудь момента; оно будетъ также вѣрно, если проинтегрировать его оба члена.

На этой формулѣ, болѣе простой, чѣмъ предшествующая (3), основано устройство послѣдняго счетчика д-ра Арона для трехфазныхъ токовъ.

Рис. 71 представляетъ собою его схему:

D, генераторъ трехфазнаго тока (динамо или трансформаторъ);

a, b, c, проволоки лампъ;

e_1, e_2, e_3 катушки изъ тонкой проволоки, прикрѣпленныя къ маятнику и качающіяся внутри катушекъ R_1 и R_2 ;

R_1, R_2 катушки изъ толстой проволоки, по которымъ проходятъ токи i_1 и i_2 ;

r_1, r_2 сопротивленія, соединенныя послѣдовательно съ катушками e_2 и e_3 ;

s_1, s_2, s_3 пружины изъ тонкой проволоки, соединяющія катушки, прикрѣпленныя къ маятнику, съ тремя зажимами α, β, γ .

Этотъ счетчикъ былъ примѣненъ въ первый разъ при установкѣ Лауфенъ-Гейльбронъ.



ПРИЛОЖЕНИЕ.

Центральная электрическая станція въ Будапестѣ.

Центральная станція въ Будапестѣ установлена Анонимнымъ Обществомъ Электричества, бывш. Шукертъ и К^о, на средства Всеобщей Австрійской Компаніи газоваго освѣщенія. Станція служитъ для распредѣленія электрической энергіи въ большей части города Будапеста.

Центральная установка расположена въ окрестностяхъ города, откуда электрическая энергія, развиваемая тремя динамо, приводимыми въ дѣйствіе паровыми двигателями въ 400 лощ. силъ каждый, передается въ видѣ переменнаго тока на распредѣлительныя станціи. Кромѣ трехъ динамо большихъ размѣровъ въ помѣщеніи, смежномъ съ главнымъ машиннымъ зданіемъ, установлено еще два альтернатора въ 70 килоуаттовъ, приводимые въ дѣйствіе двумя локомотивами въ 100 лошад. силъ каждый. Установка этихъ альтернаторовъ вызвана необходимостью поспѣть открытіемъ станціи, на устройство которой было дано слишкомъ мало времени.

На распредѣлительныхъ станціяхъ, изъ которыхъ одна въ настоящій моментъ уже совершенно окончена, переменный токъ преобразуется въ постоянный посредствомъ четырехъ трансформаторовъ: двухъ въ 120 килоуаттовъ и двухъ въ 240 килоуаттовъ каждый. Часть постоянного тока употребляется непосредственно, другая же его часть

поступаетъ въ отвѣтвленіе и служить для заряженія аккумуляторовъ.

Каждая изъ трехъ динамо центральной станціи производитъ двухфазный токъ; непрерывная обмотка арматуры динамо раздѣлена на четыре секціи въ 90° каждая. Секціи соединены соответственно съ четырьмя кольцами, на которыхъ и собирается токъ, проводимый посредствомъ четырехъ проволокъ къ распредѣлительной станціи. Здѣсь этотъ токъ приводитъ въ дѣйствіе двухфазные двигатели, которые въ свою очередь сообщаютъ движеніе генераторамъ постоянного тока, служащаго для питанія сѣти канализаціи и для заряженія аккумуляторовъ.

Токъ, производимый тремя динамо центральной станціи, пройдя черезъ предохранители, счетчики и амперометры, поступаетъ въ главныя полосы распредѣлительной доски. Предохранители установлены на каждой линіи. Каждый изъ альтернаторовъ имѣетъ для возбужденія отдѣльную машину, питающую непосредственно его индукторы. Кромѣ того, станція располагаетъ полосами общаго возбужденія, представляющими собою какъ бы запасной возбудитель. Эти полосы питаются токомъ отъ распредѣлительной станціи посредствомъ запаснаго фидера. Такимъ образомъ, съ помощью особаго коммутатора можно возбудить альтернаторы, не пользуясь машинами возбудителями. Освѣщеніе станціи обезпечивается токомъ отъ тѣхъ же полосъ, служащихъ запаснымъ возбудителемъ. Кромѣ того, токъ, необходимый для освѣщенія станціи, можетъ доставляться машинами возбудителями или же аккумуляторами станціи распределенія, для чего проложенъ особый запасный кабель.

Совмѣстное употребленіе переменныхъ токовъ и аккумуляторовъ можетъ показаться съ перваго взгляда весьма сложнымъ, между тѣмъ, какъ доказала практика, такая система оказывается весьма простой и удобной. Соединеніе альтернаторовъ производится весьма легко безъ помощи реостатовъ, необходимо обращать вниманіе только на совпаденіе фазъ токовъ.

Для приведенія въ дѣйствіе двухфазныхъ двигателей, служащихъ въ описываемой установкѣ для преобразованія переменнаго тока въ постоянный, въ нихъ пропускаютъ токъ отъ батареи аккумуляторовъ до тѣхъ поръ, пока двигатели не начнутъ вращаться синхронно. Индукторы двигателей возбуждаются также токомъ отъ аккумуляторовъ. Специальные разъединители, вслѣдствіе своего особеннаго расположенія, препятствуютъ экстра току, образующемуся въ моментъ размыканія цѣпи возбужденія, достигнутъ напряженія, могущаго нарушить изоляцію.

Аккумуляторы установлены по системѣ Шукерта, изобрѣтеніе которой принадлежитъ главному инженеру фирмы г. Мюллеру.

Распределительная станція отстоитъ отъ центральной на разстояніи $3\frac{1}{2}$ километровъ.

Площадь, занятая канализаціей, составляетъ около пяти квадратныхъ километровъ; длина проводовъ равна почти ста километрамъ.



НОВАЯ РУССКАЯ ЭЛЕКТРОТЕХНИЧЕСКАЯ ЛИТЕРАТУРА.

Аннэ, Ж. П., практ. руководство къ устройству электрическаго освѣщенія и уходу за нимъ. 260 стр. съ 129 рис. 94	1.50
Блекслей, Т. Г., переменные электрические токи. 224 стр. съ 55 рис. 24.	1.60
Бессонъ, А. Г., технические результаты изъ практики эксплуатаціи одной центральной станиці электрическаго освѣщенія въ Россіи. 4 ^о . 19 стр. съ 3 лист. черт. и 8 рис. 94.	2.—
— счетчикъ электрической энергіи системы Блата для переменныхъ токовъ. 5 стр. съ 15 рис. 94.	—20
Боргманъ И. И. основанія ученія объ электрическихъ и магнитныхъ явленіяхъ. Часть II (и послѣдняя выйдетъ въ Мартѣ около 40 листовъ)	3.—
Боровичъ, Л. А., практическое руководство къ построенію динамо-машинъ 2-е испр. и доп. изд. 392 стр. съ 164 рис. 94.	3.—
Гартманъ, Ч., о примѣненіи электрической передачи силы. 42 стр. съ 3 таблицами 94.	—50
Герцъ, Г., электрическая сила I. Теорія. II. Опыты. съ 6 черт. 94.	—40
Гравированіе, инкрустація, мозаика, металлохромія и остальное при помощи электричества. Сост. М. Д. 25 стр. 94.	—20
Жуковъ, Н., электрометаллургія и обработка металловъ электрическимъ токомъ. 384 стр. съ 110 черт. и табл. 94.	3.—
Кадіа, Е., и Дюбость, Л., практическое руководство къ примѣненію электричества въ промышленности. 3-е изд. 664 стр. съ 257 черт. 94.	5.—
Какъ построить динамо-машину (генераторъ или двигательъ) въ одну лошадиную силу? Переводъ съ измѣненіями соч. Ватсона. How to make one horse power motor or dynamo? А. Л. Гершуна. 23 стр. съ рис. 94.	1.—
Корню, А., взаимное отношеніе явленій статистическаго и динамическаго электричества и опредѣленіе электрическихъ единицъ 94.	—30
Металлическіе снимки при помощи электричества съ художественныхъ античныхъ и другихъ предметовъ. Отдѣлъ гальванопластики: осажденіе металловъ толстымъ слоемъ. Сост. М. Д. 55 стр. съ черт. 94.	—35
Мильвидъ, М., руководство для никелировки. 94.	—75
Ребиновъ, В. И., о примѣненіи электрической тяги къ движенію желѣзнодорожныхъ поездовъ. 15 стр. 94.	—40
Робида, А., 20-е столѣтіе. Электрическая жизнь. Съ рис. 94.	2.—
Розелеръ, А., гальванопластика. Съ подробнымъ описаніемъ золоченія, серебрянія, оксидарованія, гравированія, эмалированія и проч. Съ послѣдняго 5-го французскаго изданія, перевелъ и дополнилъ П. Ф. Симоненко. 454 стр. съ 212 рис. 94.	2.50
Хвольсонъ, О. Д., ученіе о движеніи и силахъ. Лекціи. Издан. 2-е 272 стр. съ 158 стр. 94.	2.—
Шульцъ, построеніе динамо-машинъ, переводъ Вас. Ребикова. Печатается.	
Эльбсъ, К., аккумуляторы. Общедоступное описаніе ихъ дѣйствія, работоспособности и уходъ за ними. Перев. съ нѣм. 32 стр. съ 4 рис. 94.	—50
Эдвинсонъ, Д., какъ сдѣлать маленькую динамо-электрическую машину? 29 стр. съ 25 рис. 94.	—50
— какъ дѣлается маленькій электродвигатель. 22 стр. съ 15 рис. 94.	—40

Заказы на всѣ русскія и иностранныя книги и періодическія изданія исполняютъ немедленно и дешево:

Книжный магазинъ Ф. В. Щепанскаго, Невскій пр., 34. 

YC 69629

M330542

